

**Curs 14**

2023/2024

# **Dispozitive și circuite de microunde pentru radiocomunicații**

# Disciplina 2023/2024

- 2C/1L (+1), **DCMR (CDM)**
- Minim 7 prezente (curs+laborator)
- Curs - **conf. Radu Damian**
  - Miercuri 08(:**15**)-17, ~~Online~~/**Video (istoric)**, P5
  - E – **50%** din nota
  - **probleme** + (2p prez. curs) + (3 teste) + (bonus activitate)
    - primul test L1: 04.10.2023 (t2 si t3 neanuntate la **curs**)
    - 3pz (C) ≈ +0.5p (**2p** max)
  - **toate materialele permise**

# Disciplina 2023/2024

- 2C/1L, **DCMR (CDM)**
- Laborator – **conf. Radu Damian**
  - Miercuri/Joi/Vineri, par/impar, **II.13**
  - L – **25%** din nota
    - ADS, 4 sedinte aplicatii
    - prezenta + **rezultate personale!**
  - P – **25%** din nota
    - ADS, 3 sedinte aplicatii (-1? 21-22.12.2022)
    - tema personala

# Cuprins

- Linii de transmisie
- Adaptarea de impedanță
- Cuploare direcționale
- Divizoare de putere
- Amplificatoare de microunde
- Filtre de microunde
- Oscilatoare de microunde ?

# Bibliografie

- <http://rf-opto.eti.tuiasi.ro>
- Irinel Casian-Botez: "Microunde vol. 1: Proiectarea de circuit", Ed. TEHNOPRES, 2008
- **David Pozar, Microwave Engineering, Wiley; 4th edition , 2011, ISBN : 978-1-118-29813-8 (E), ISBN : 978-0-470-63155-3 (P)**

# Examen: Reprezentare logaritmică

$$\text{dB} = 10 \cdot \log_{10} (P_2 / P_1)$$

$$0 \text{ dB} = 1$$

$$+0.1 \text{ dB} = 1.023 (+2.3\%)$$

$$+3 \text{ dB} = 2$$

$$+5 \text{ dB} = 3$$

$$+10 \text{ dB} = 10$$

$$-3 \text{ dB} = 0.5$$

$$-10 \text{ dB} = 0.1$$

$$-20 \text{ dB} = 0.01$$

$$-30 \text{ dB} = 0.001$$

$$\text{dBm} = 10 \cdot \log_{10} (P / 1 \text{ mW})$$

$$0 \text{ dBm} = 1 \text{ mW}$$

$$3 \text{ dBm} = 2 \text{ mW}$$

$$5 \text{ dBm} = 3 \text{ mW}$$

$$10 \text{ dBm} = 10 \text{ mW}$$

$$20 \text{ dBm} = 100 \text{ mW}$$

$$-3 \text{ dBm} = 0.5 \text{ mW}$$

$$-10 \text{ dBm} = 100 \mu\text{W}$$

$$-20 \text{ dBm} = 1 \mu\text{W}$$

$$-30 \text{ dBm} = 1 \text{ nW}$$

$$[\text{dBm}] + [\text{dB}] = [\text{dBm}]$$

$$[\text{dBm}/\text{Hz}] + [\text{dB}] = [\text{dBm}/\text{Hz}]$$

$$[x] + [\text{dB}] = [x]$$

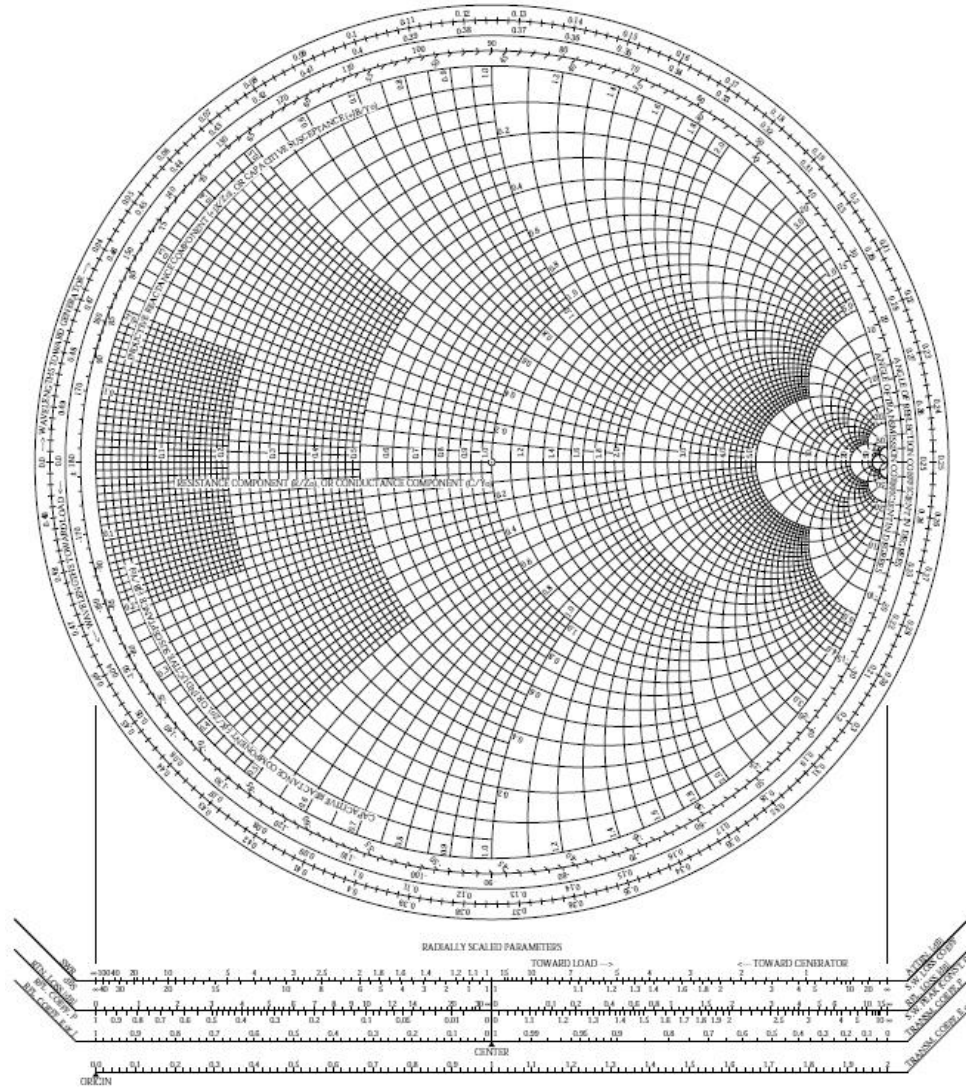
Adaptarea de impedanță

# Diagrama Smith

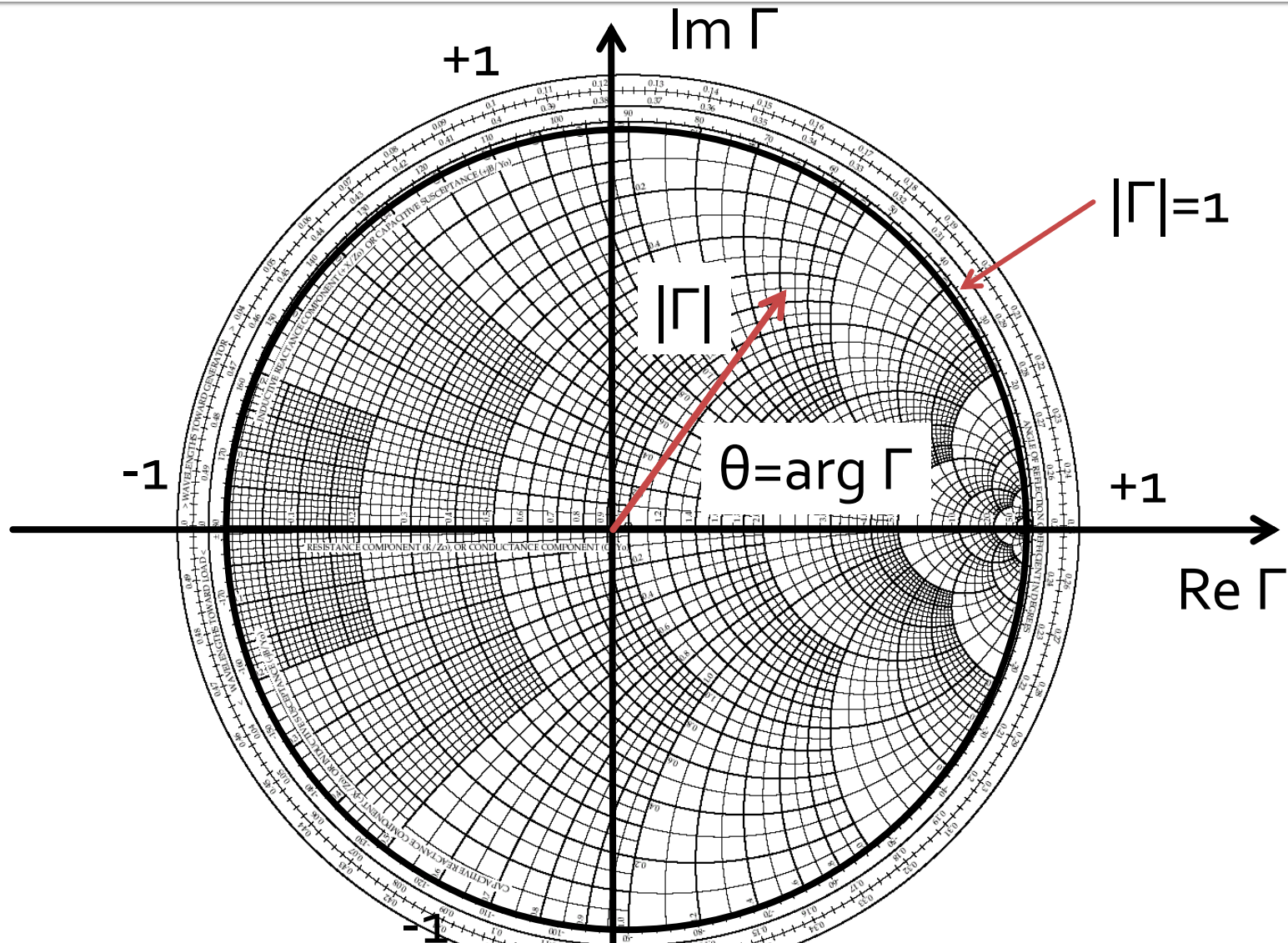
# Cuprins

- Linii de transmisie
- **Adaptarea de impedanță**
- Cuploare direcționale
- Divizoare de putere
- Amplificatoare de microunde
- Filtre de microunde
- Oscilatoare de microunde ?

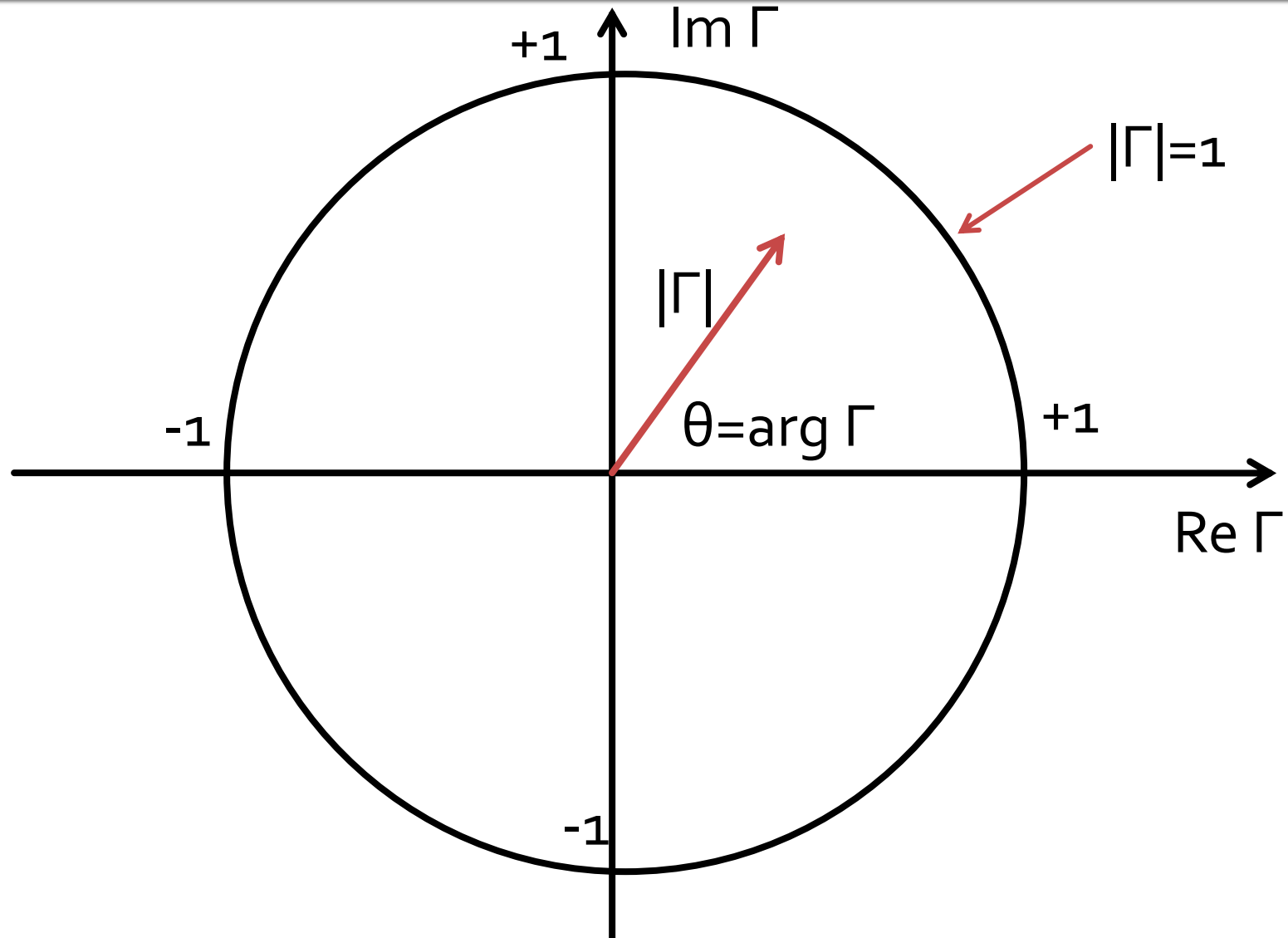
# Diagrama Smith



# Diagrama Smith



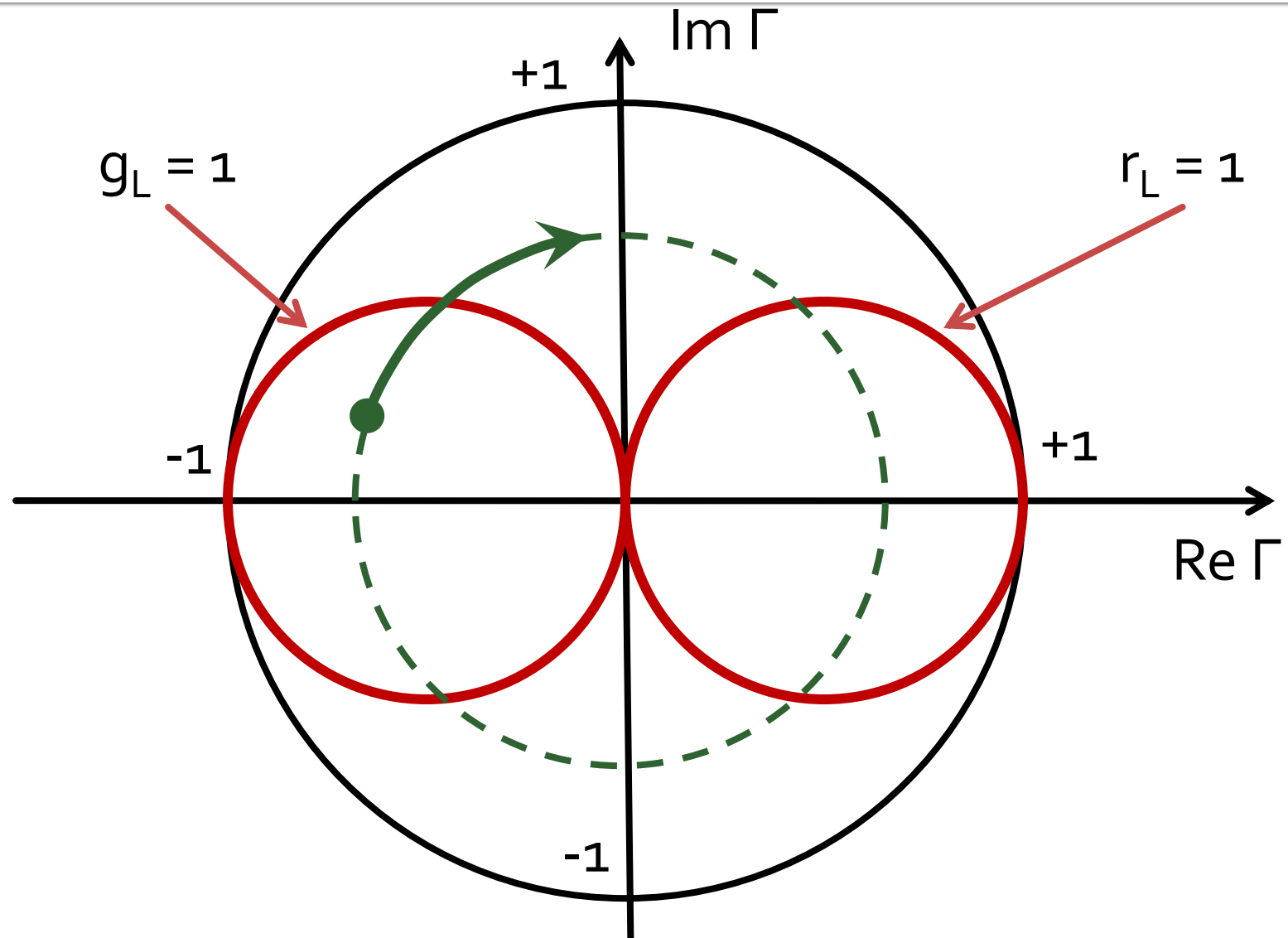
# Diagrama Smith



Adaptarea cu sectiuni de linii (stub)

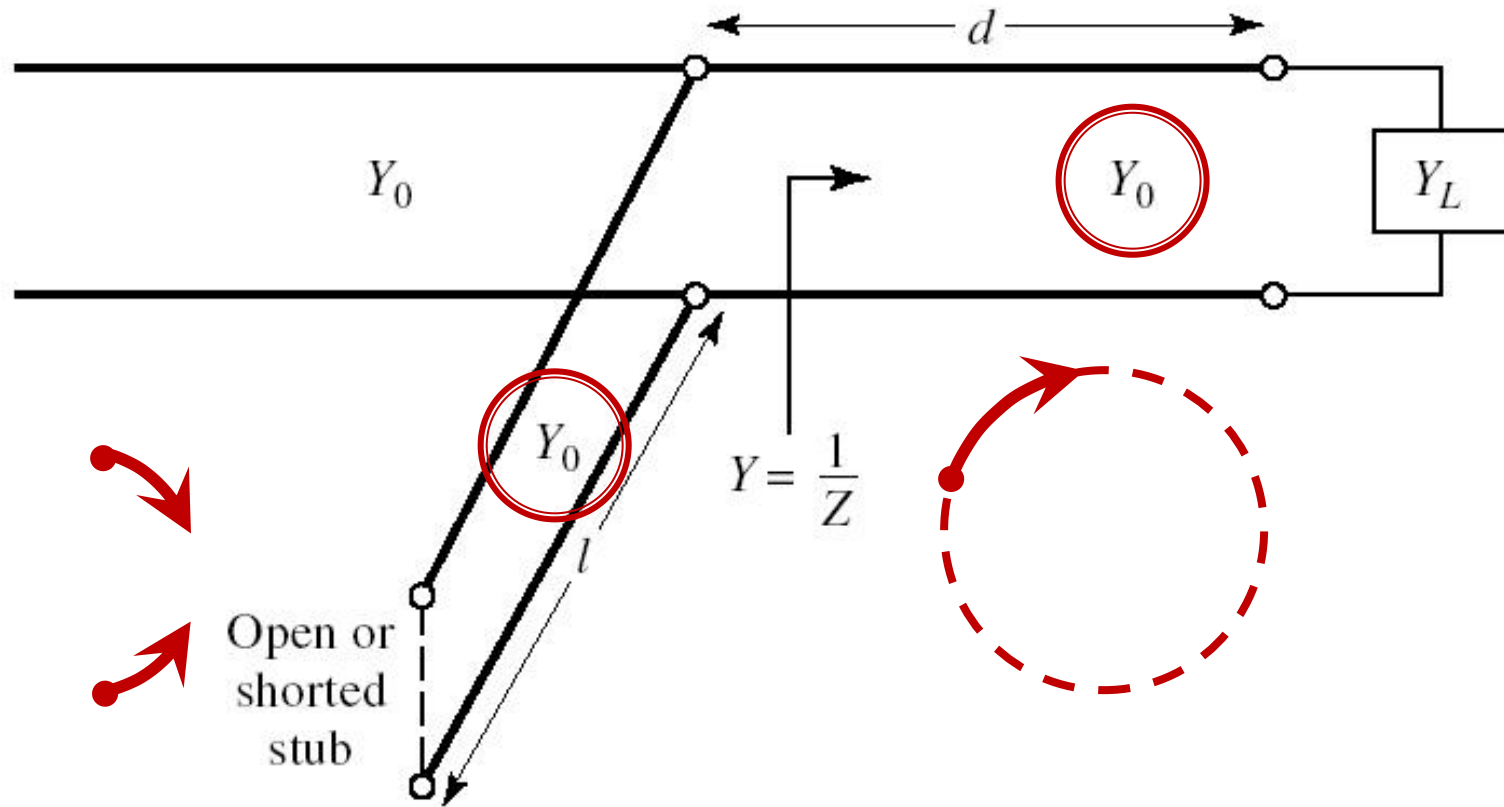
# **Adaptarea de impedanță**

# Diagrama Smith, $r=1$ si $g=1$



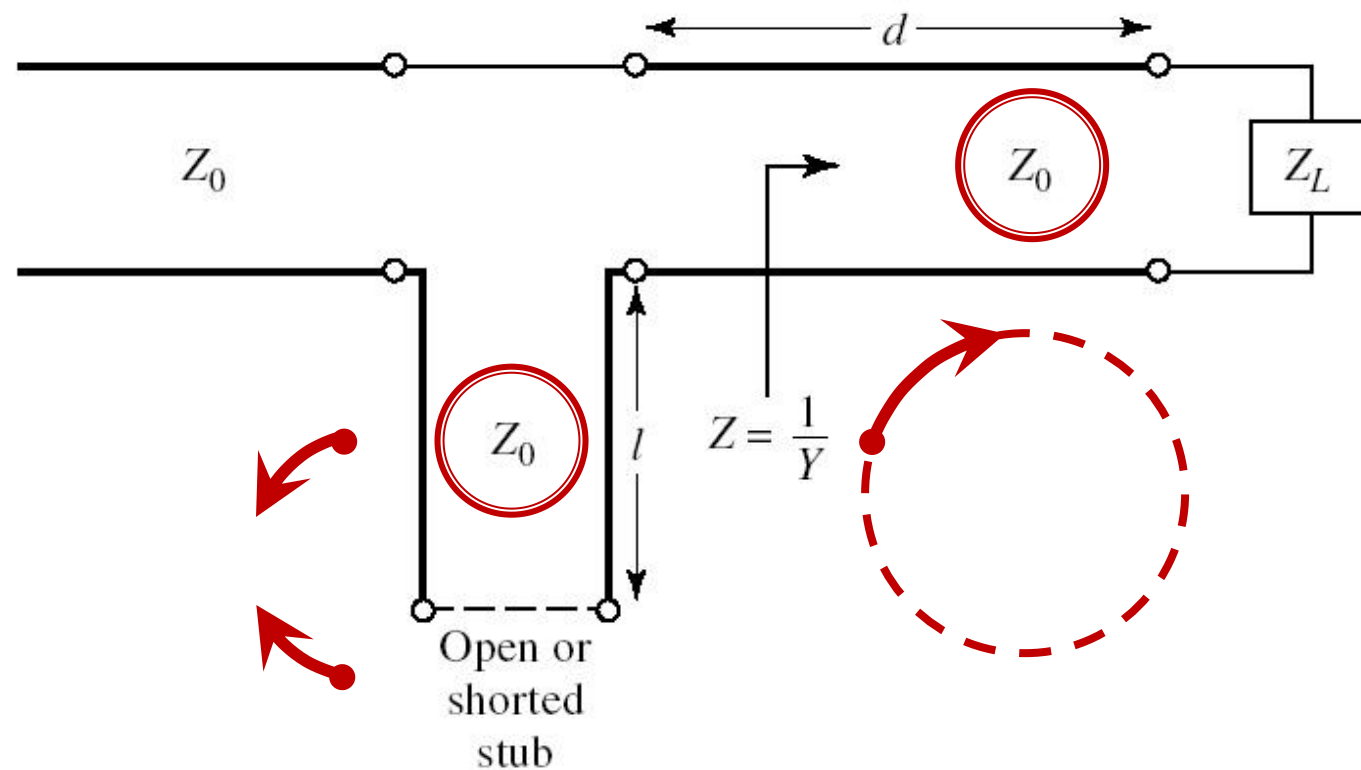
# Single stub tuning

- Shunt Stub (secțiune de linie în paralel)



# Single stub tuning

- Series Stub (secțiune de linie în serie)
- tehnologic mai dificil de realizat la liniile monofilare (microstrip)

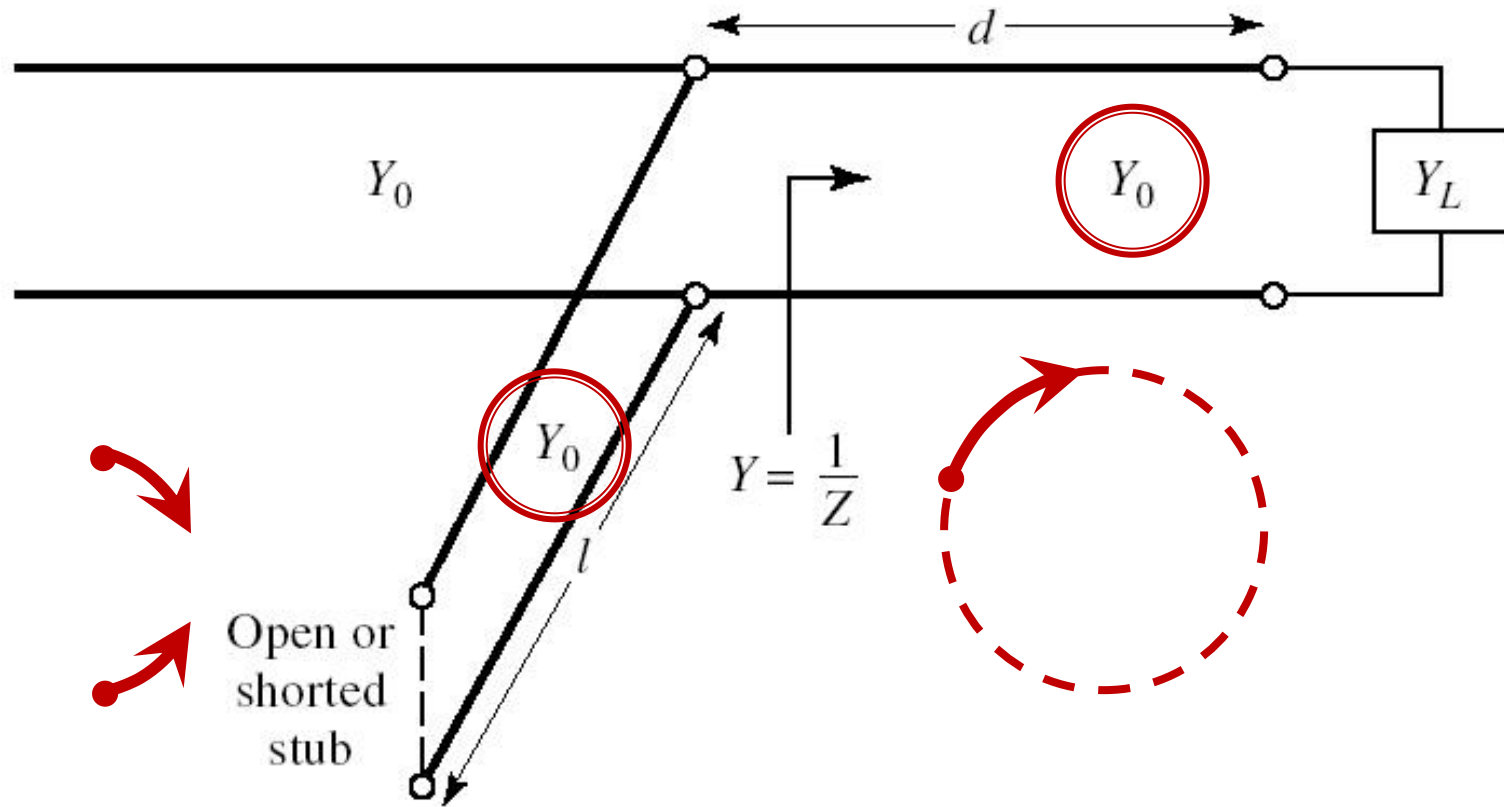


# **Solutii analitice**

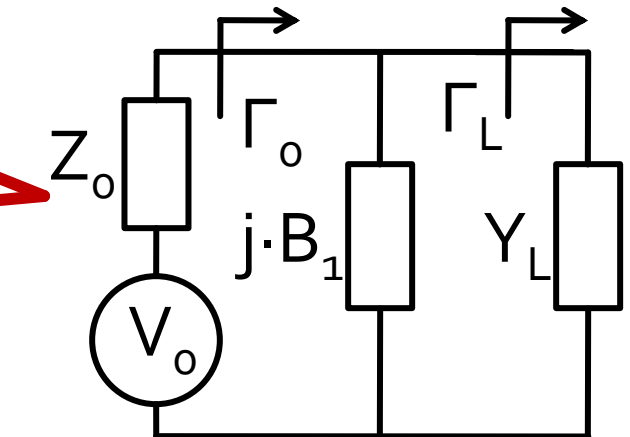
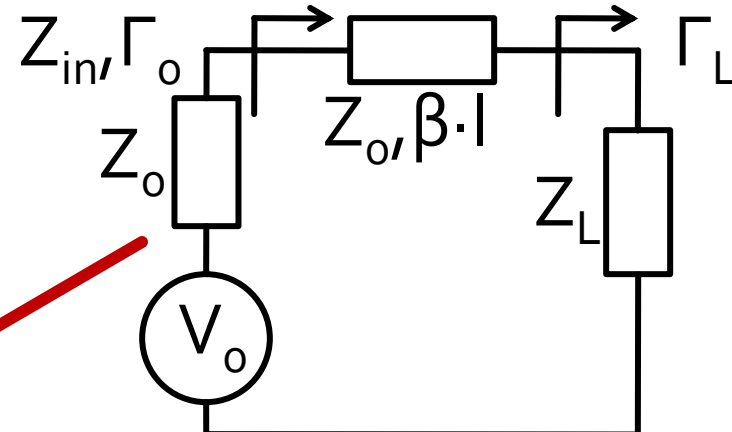
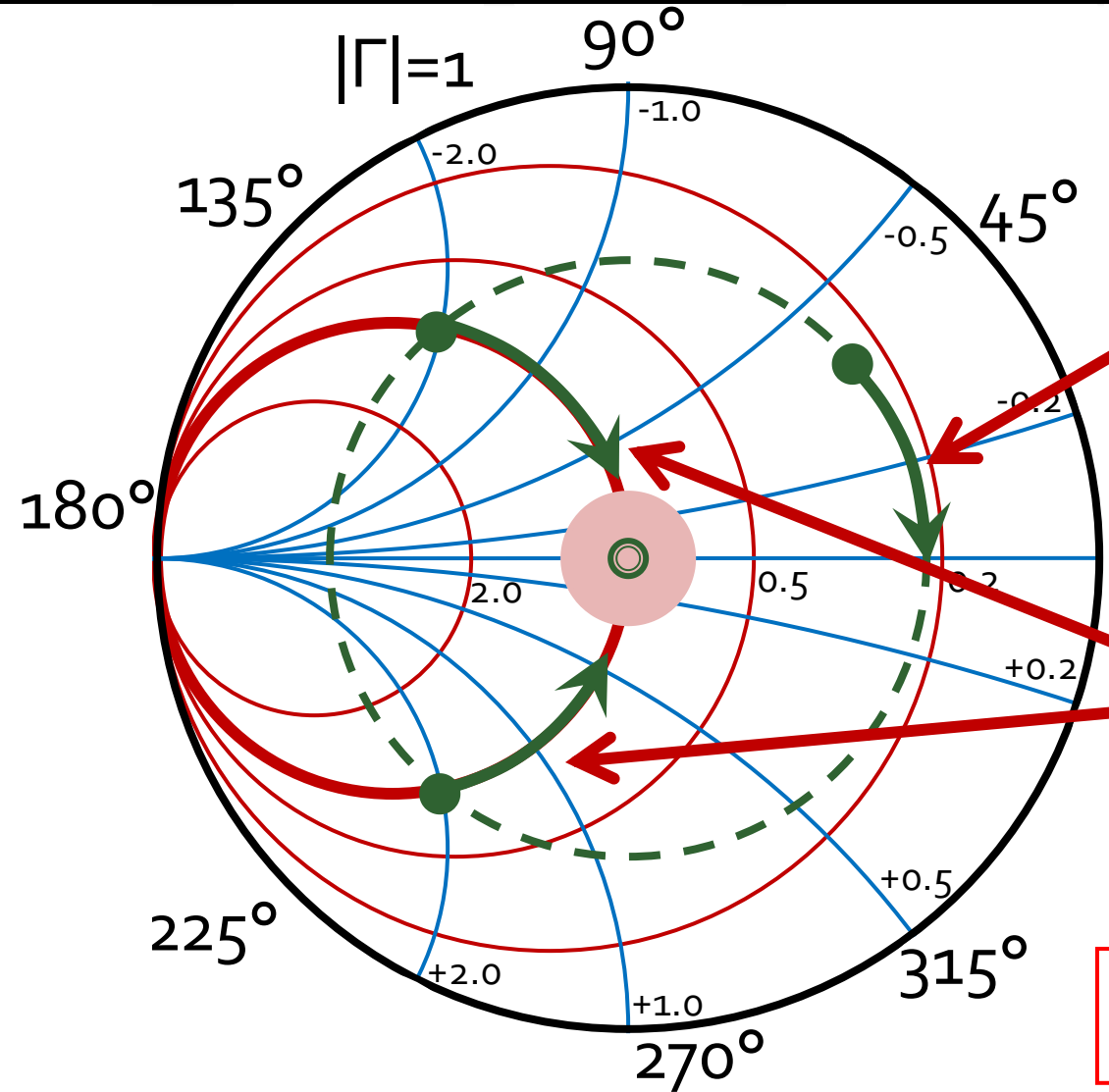
Examen / Proiect

# Caz 1, Shunt Stub

- Shunt Stub (secțiune de linie în paralel)



# Adaptare, linie serie + susceptanta in paralel



$$|\Gamma_{in}| = |\Gamma_L|$$

$$g_{in} = 1$$

# Calcul analitic (calcul efectiv)

$$\cos(\varphi + 2\theta) = -|\Gamma_s|$$

$$|\Gamma_s| = 0.593 \angle 46.85^\circ$$

$$\theta_{sp} = \beta \cdot l = \tan^{-1} \frac{\mp 2 \cdot |\Gamma_s|}{\sqrt{1 - |\Gamma_s|^2}}$$

$$|\Gamma_s| = 0.593; \quad \varphi = 46.85^\circ \quad \cos(\varphi + 2\theta) = -0.593 \Rightarrow (\varphi + 2\theta) = \pm 126.35^\circ$$

- **Semnul (+/-) solutiei alese la ecuatia liniei serie impune semnul solutiei utilizate la ecuatia stub-ului paralel**

- **solutia "cu +"** 

$$(46.85^\circ + 2\theta) = +126.35^\circ \quad \theta = +39.7^\circ \quad \text{Im } y_s = \frac{-2 \cdot |\Gamma_s|}{\sqrt{1 - |\Gamma_s|^2}} = -1.472$$
$$\theta_{sp} = \tan^{-1}(\text{Im } y_s) = -55.8^\circ \underline{(+180^\circ)} \rightarrow \theta_{sp} = 124.2^\circ$$

- **solutia "cu -"** 

$$(46.85^\circ + 2\theta) = -126.35^\circ \quad \theta = -86.6^\circ \underline{(+180^\circ)} \rightarrow \theta = 93.4^\circ$$

$$\text{Im } y_s = \frac{+2 \cdot |\Gamma_s|}{\sqrt{1 - |\Gamma_s|^2}} = +1.472 \quad \theta_{sp} = \tan^{-1}(\text{Im } y_s) = 55.8^\circ$$

# Calcul analitic (calcul efectiv)

$$(\varphi + 2\theta) = \begin{cases} +126.35^\circ \\ -126.35^\circ \end{cases} \quad \theta = \begin{cases} 39.7^\circ \\ 93.4^\circ \end{cases} \quad \text{Im}[y_s(\theta)] = \begin{cases} -1.472 \\ +1.472 \end{cases} \quad \theta_{sp} = \begin{cases} -55.8^\circ + 180^\circ = 124.2^\circ \\ +55.8^\circ \end{cases}$$

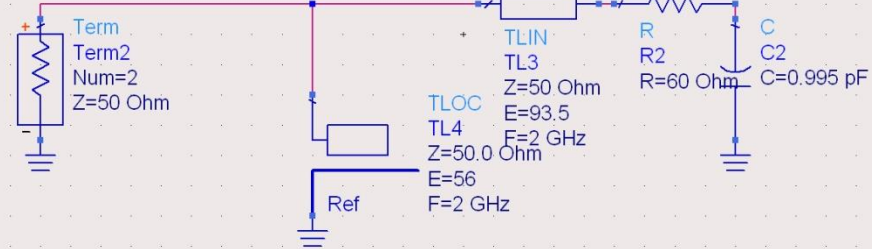
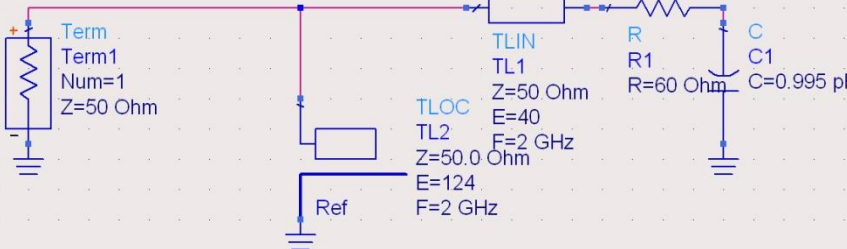
- Se alege **una** din cele doua solutii posibile
- **Semnul (+/-)** solutiei alese la **prima** ecuatie impune **semnul** solutiei utilizate la a **doua** ecuatie

$$l_1 = \frac{39.7^\circ}{360^\circ} \cdot \lambda = 0.110 \cdot \lambda$$

$$l_2 = \frac{124.2^\circ}{360^\circ} \cdot \lambda = 0.345 \cdot \lambda$$

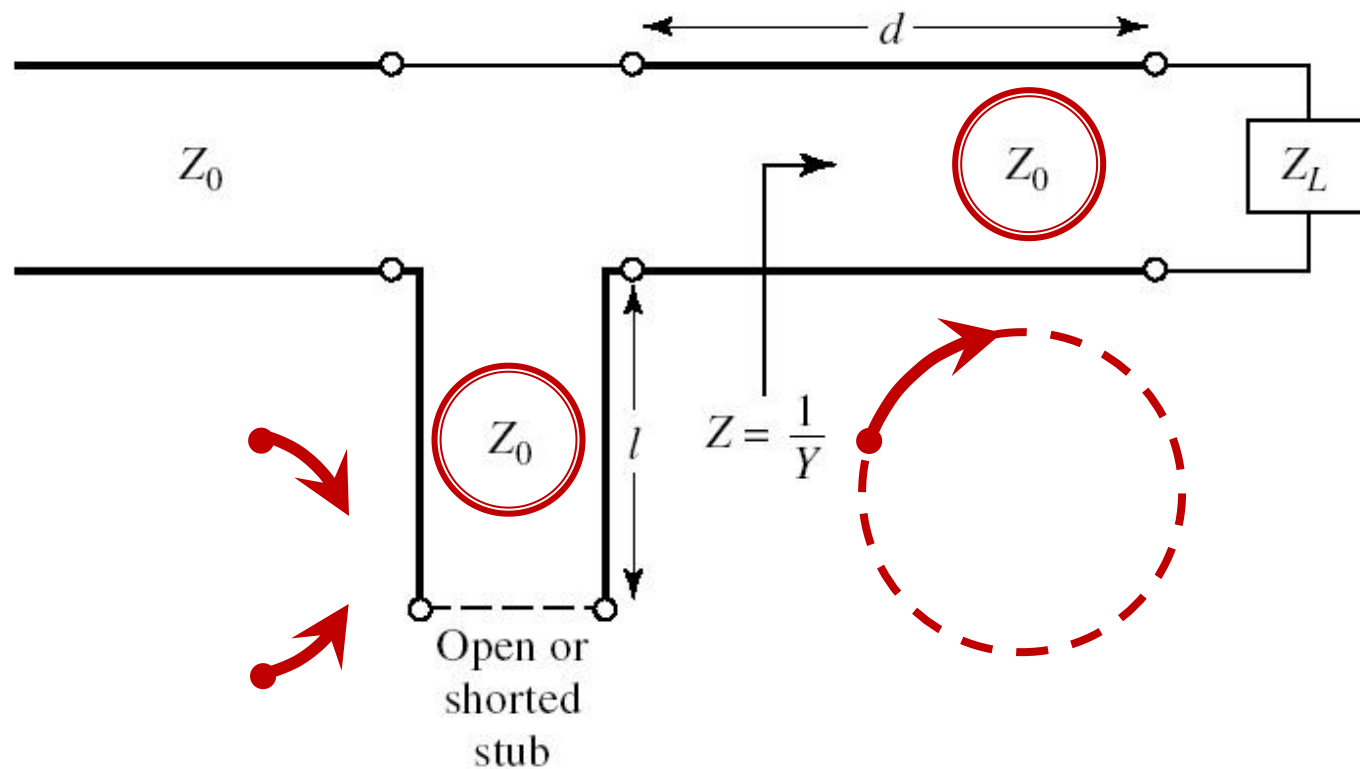
$$l_1 = \frac{93.4^\circ}{360^\circ} \cdot \lambda = 0.259 \cdot \lambda$$

$$l_2 = \frac{55.8^\circ}{360^\circ} \cdot \lambda = 0.155 \cdot \lambda$$

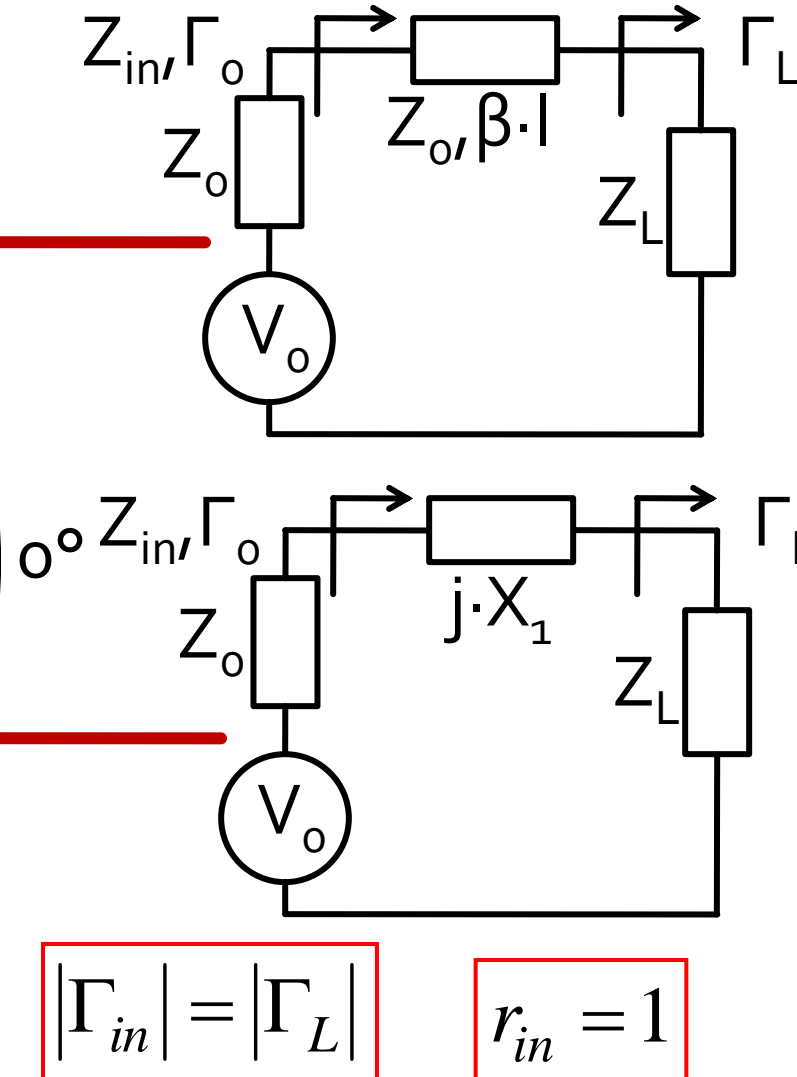
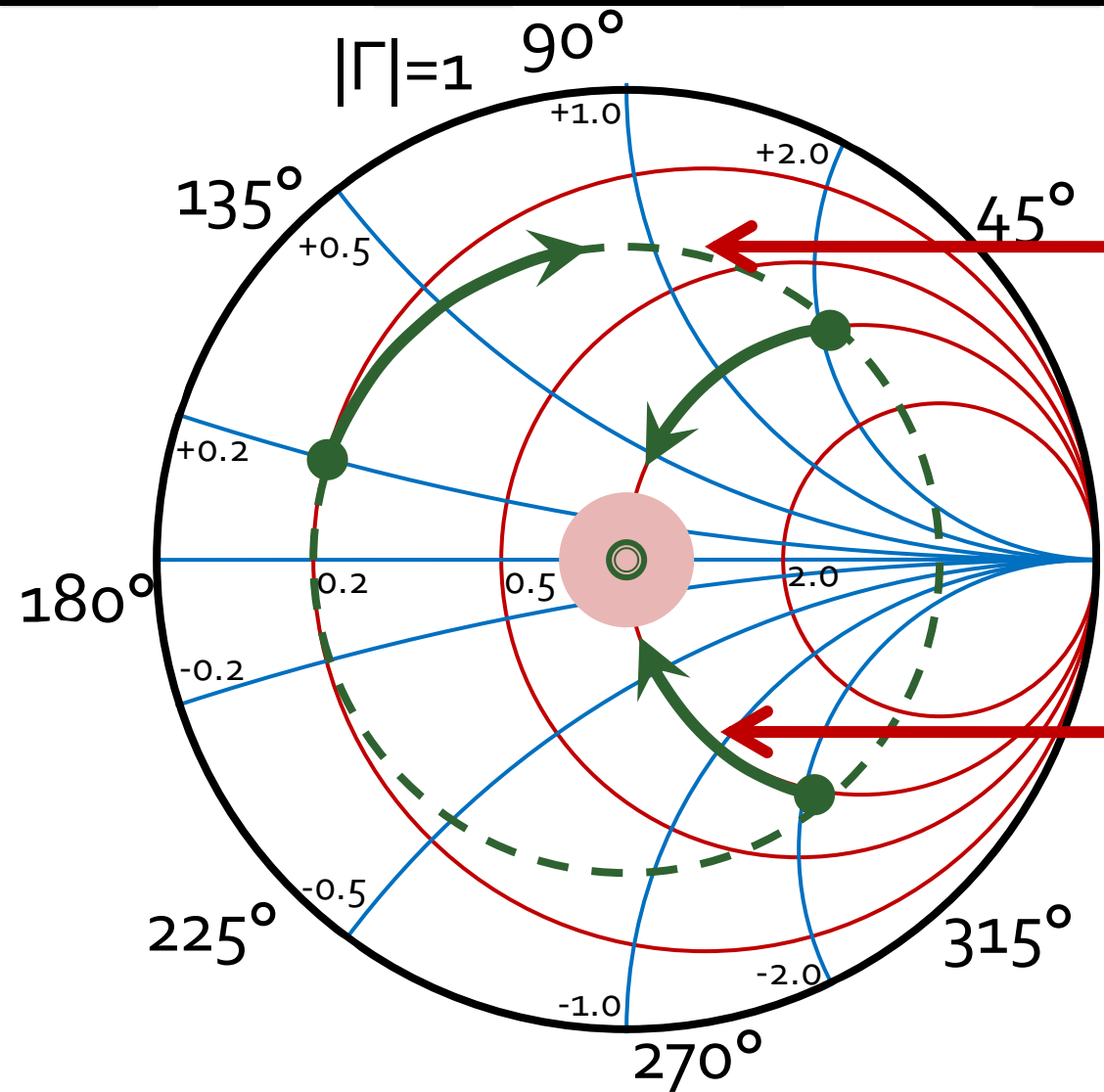


# Caz 2, Series Stub

- Series Stub (secțiune de linie în serie)
- tehnologic mai dificil de realizat la liniile monofilare (microstrip)



# Adaptare, linie serie + reactanta in serie



# Calcul analitic (calcul efectiv)

$$\cos(\varphi + 2\theta) = |\Gamma_s|$$

$$\theta_{ss} = \beta \cdot l = \cot^{-1} \frac{\mp 2 \cdot |\Gamma_s|}{\sqrt{1 - |\Gamma_s|^2}}$$

$$|\Gamma_s| = 0.555 \angle -29.92^\circ$$

$$|\Gamma_s| = 0.555; \quad \varphi = -29.92^\circ \quad \cos(\varphi + 2\theta) = 0.555 \Rightarrow (\varphi + 2\theta) = \pm 56.28^\circ$$

- **Semnul (+/-) solutiei alese la ecuatia liniei serie impune semnul solutiei utilizate la ecuatia stub-ului serie**

- **solutia "cu +"**

$$(-29.92^\circ + 2\theta) = +56.28^\circ \quad \theta = 43.1^\circ \quad \text{Im } z_s = \frac{+2 \cdot |\Gamma_s|}{\sqrt{1 - |\Gamma_s|^2}} = +1.335$$

$$\theta_{ss} = -\cot^{-1}(\text{Im } z_s) = -36.8^\circ (+180^\circ) \rightarrow \theta_{ss} = 143.2^\circ$$

- **solutia "cu -"**

$$(-29.92^\circ + 2\theta) = -56.28^\circ \quad \theta = -13.2^\circ (+180^\circ) \rightarrow \theta = 166.8^\circ$$

$$\text{Im } z_s = \frac{-2 \cdot |\Gamma_s|}{\sqrt{1 - |\Gamma_s|^2}} = -1.335$$

$$\theta_{ss} = -\cot^{-1}(\text{Im } z_s) = 36.8^\circ$$

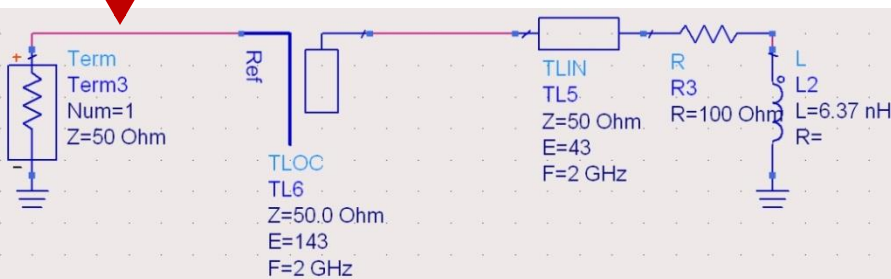
# Calcul analitic (calcul efectiv)

$$(\varphi + 2\theta) = \begin{cases} +56.28^\circ \\ -56.28^\circ \end{cases} \quad \theta = \begin{cases} 43.1^\circ \\ 166.8^\circ \end{cases} \quad \text{Im}[z_s(\theta)] = \begin{cases} +1.335 \\ -1.335 \end{cases} \quad \theta_{ss} = \begin{cases} -36.8^\circ + 180^\circ = 143.2^\circ \\ +36.8^\circ \end{cases}$$

- Se alege **una** din cele doua solutii posibile
- **Semnul (+/-)** solutiei alese la **prima** ecuatie impune **semnul** solutiei utilizate la a **doua** ecuatie

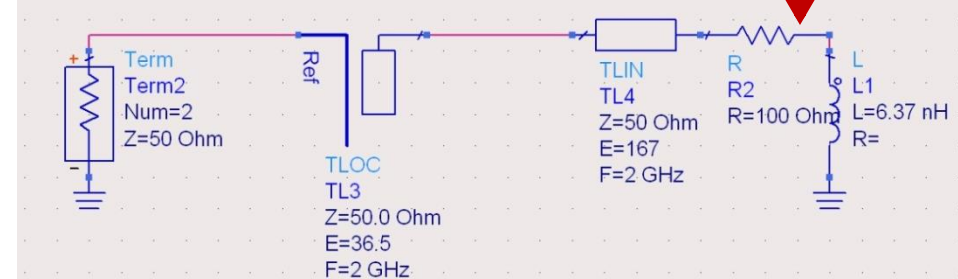
$$l_1 = \frac{43.1^\circ}{360^\circ} \cdot \lambda = 0.120 \cdot \lambda$$

$$l_2 = \frac{143.2^\circ}{360^\circ} \cdot \lambda = 0.398 \cdot \lambda$$



$$l_1 = \frac{166.8^\circ}{360^\circ} \cdot \lambda = 0.463 \cdot \lambda$$

$$l_2 = \frac{36.8^\circ}{360^\circ} \cdot \lambda = 0.102 \cdot \lambda$$



# Stub, observatii

- adunarea si scadere de **180°** ( $\lambda/2$ ) nu schimba rezultatul (rotatie completa in jurul diagramei)

$$E = \beta \cdot l = \pi = 180^\circ \quad l = k \cdot \frac{\lambda}{2}, \forall k \in \mathbf{N}$$

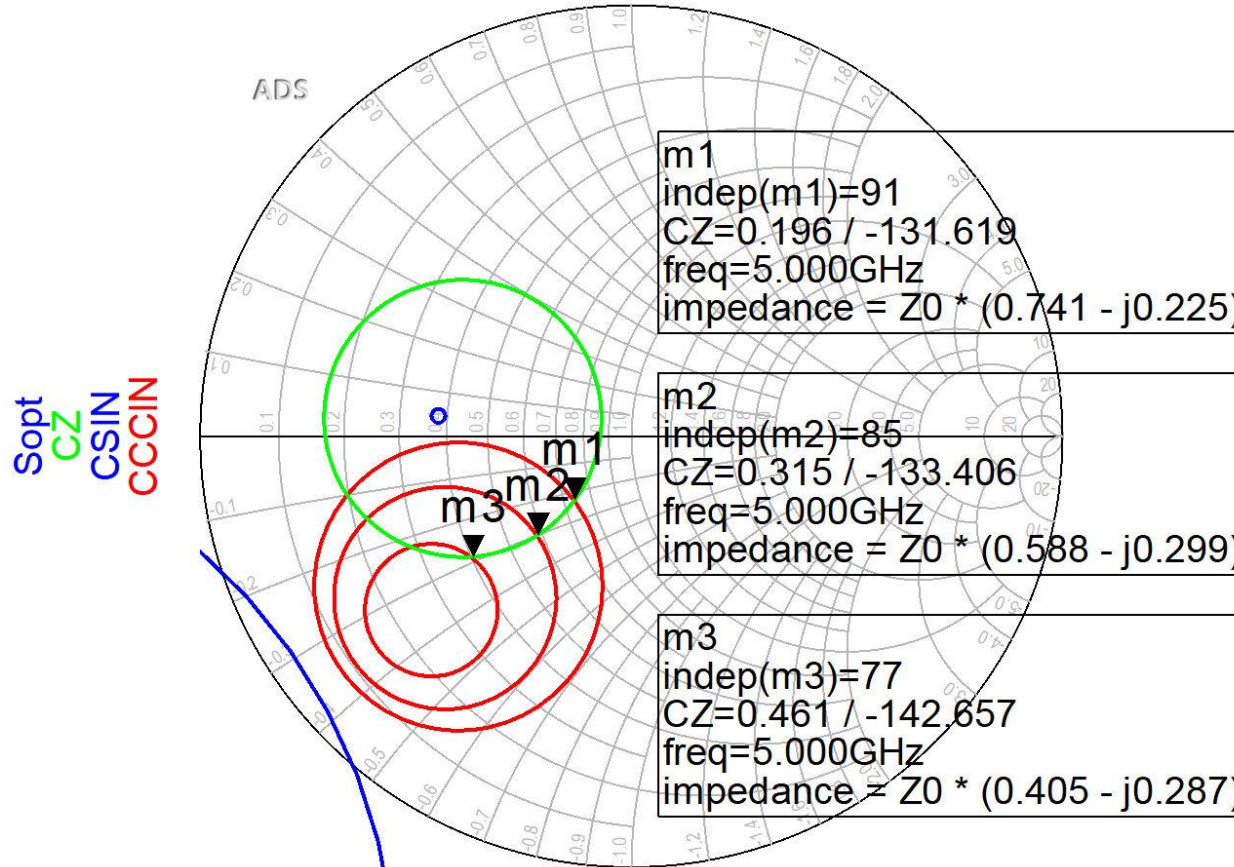
- pentru linii de “lungime” / “lungime electrica” **negative** se adauga  $\lambda/2$  /  $180^\circ$  pentru a avea valoare pozitiva (realizabila fizic)
- o adaugare sau scadere de **90°** ( $\lambda/4$ ) transforma impedanta stub-ului:

$$Z_{in,sc} = j \cdot Z_0 \cdot \tan \beta \cdot l \iff Z_{in,g} = -j \cdot Z_0 \cdot \cot \beta \cdot l$$

- pentru stub se poate adauga/scadea  $90^\circ$  ( $\lambda/4$ ) simultan cu schimbare **gol**  $\Leftrightarrow$  **scurtcircuit**

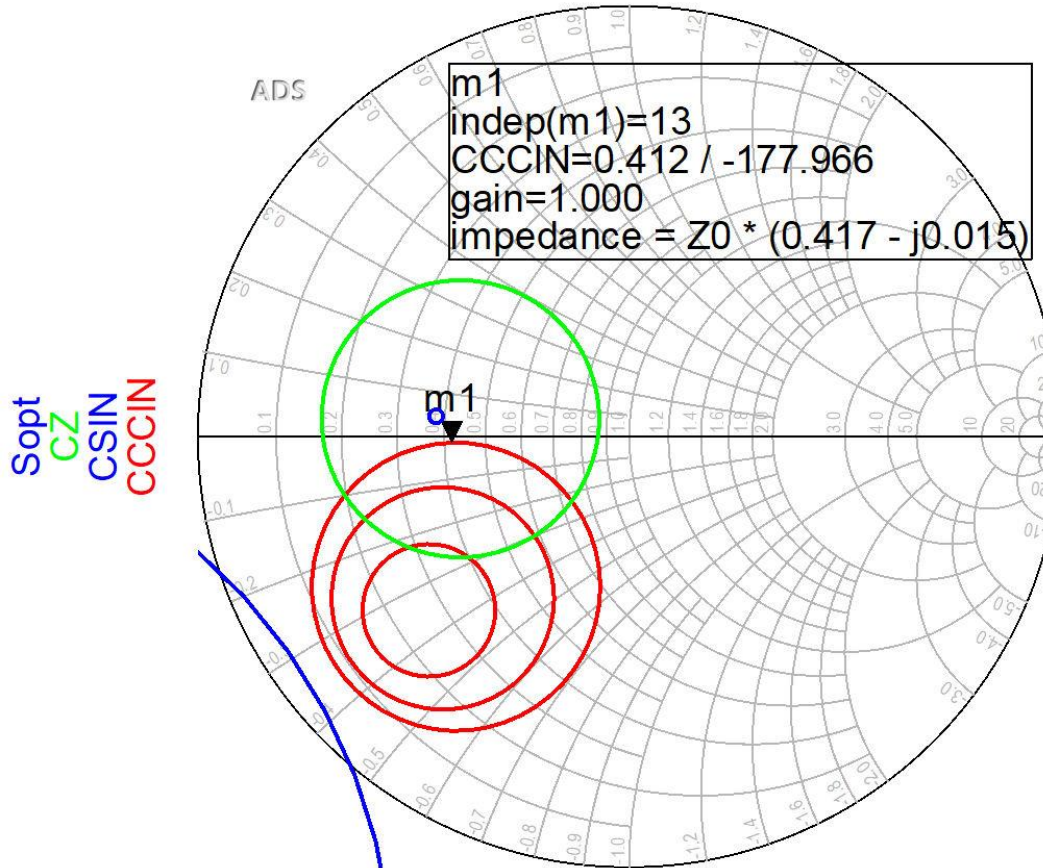
# **Amplificatoare de microunde**

# Adaptare la intrare



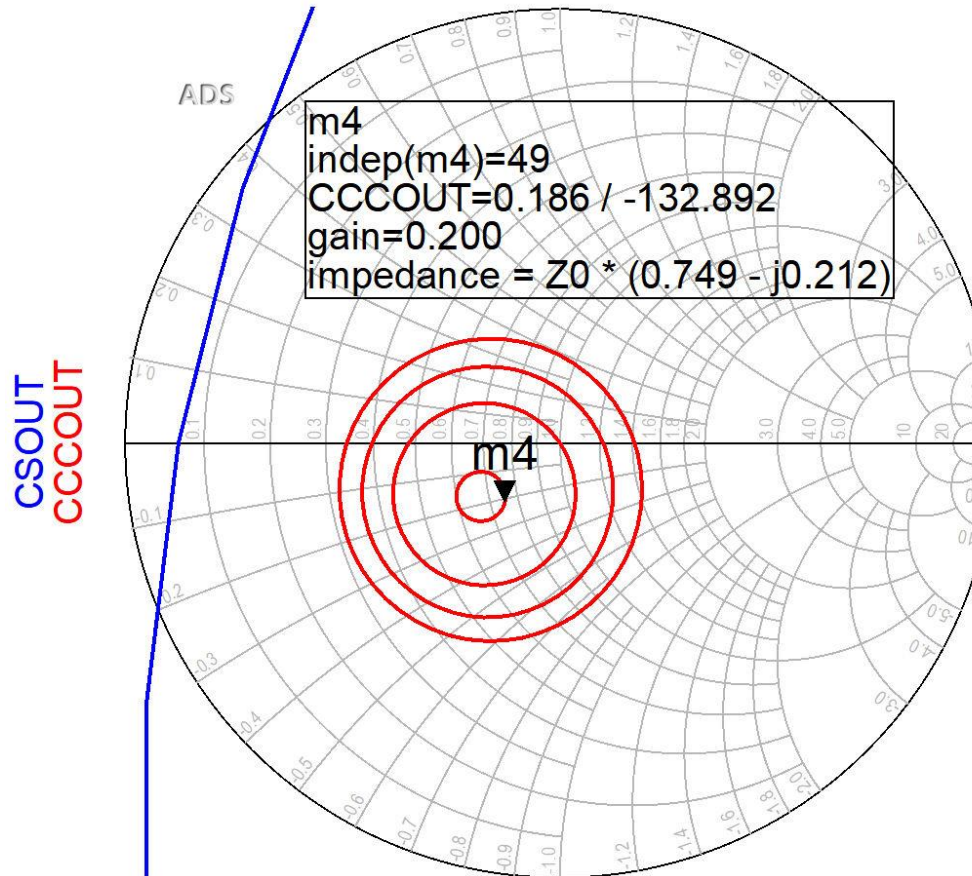
- Pentru reteaua de adaptare la intrare
  - CZ: 0.75dB
  - CCCIN: 1dB, 1.5dB, 2 dB
- Aleg (Q mic → banda largă) pozitia m1

# Adaptare la intrare



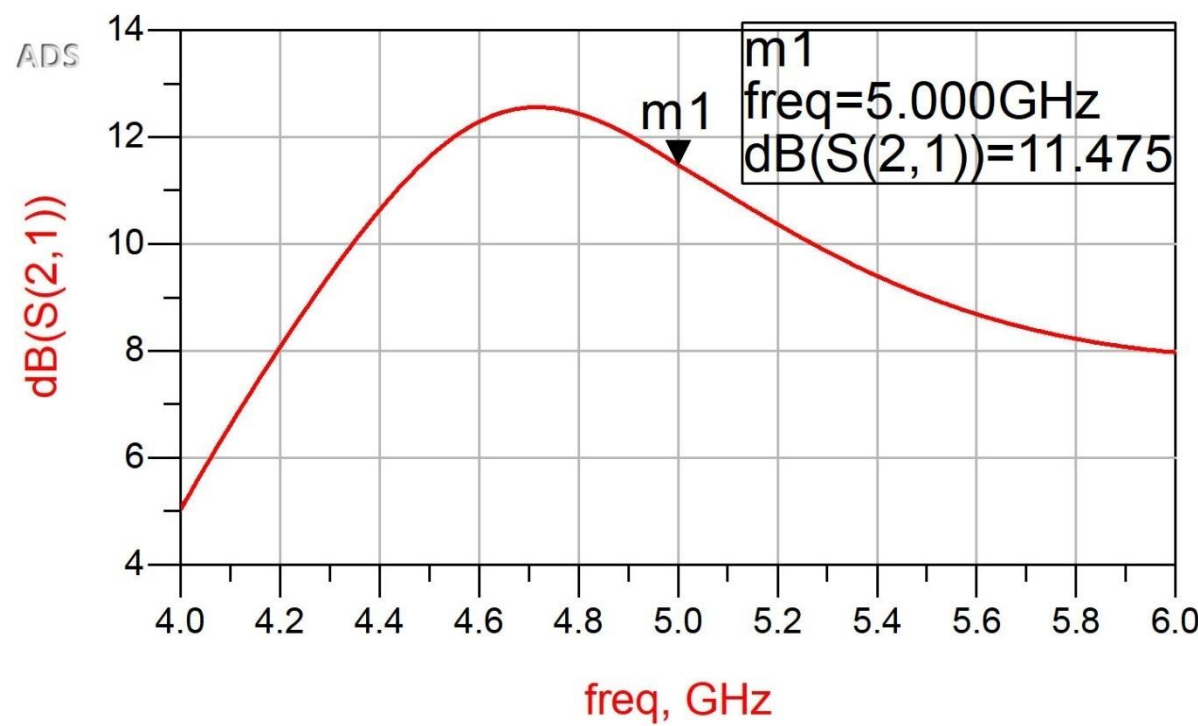
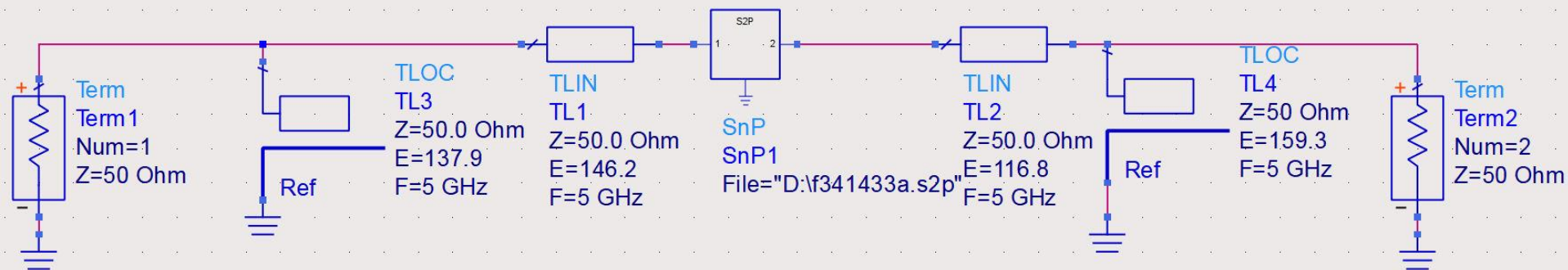
- Daca se sacrifică 1.2dB castig la intrare pentru conditii convenabile F,Q (Gs = 1 dB)
- Se prefera obtinerea unui zgomot mai mic

# Adaptare la ieșire

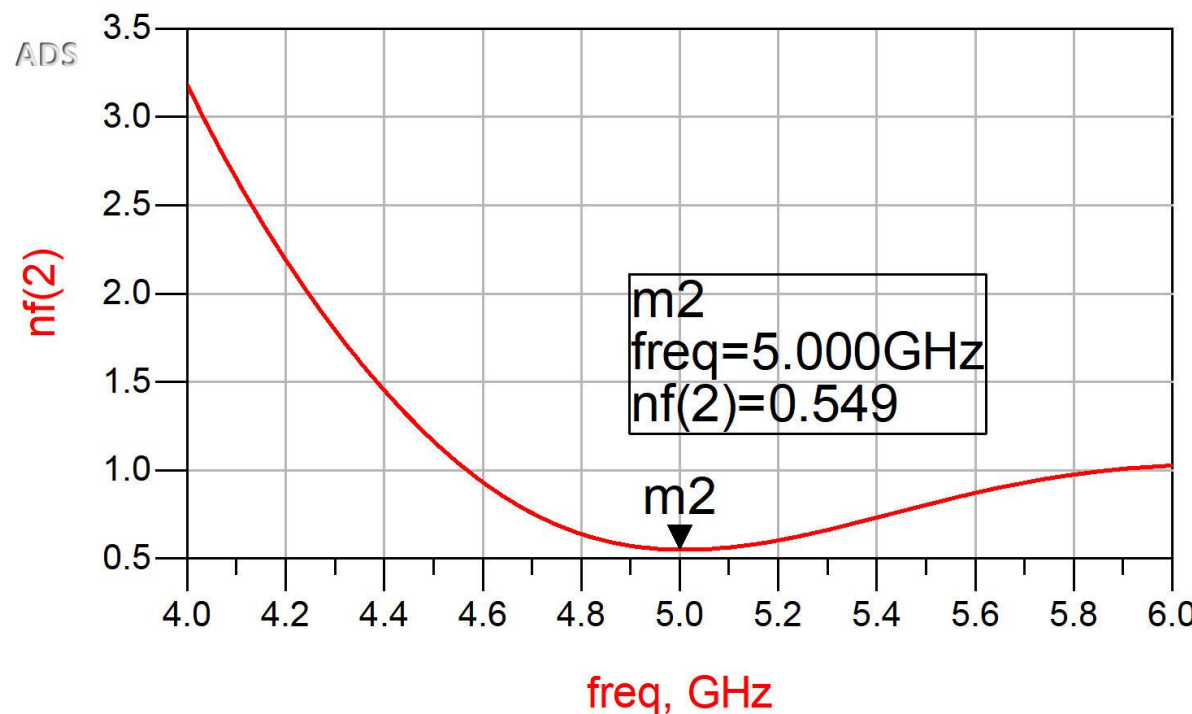
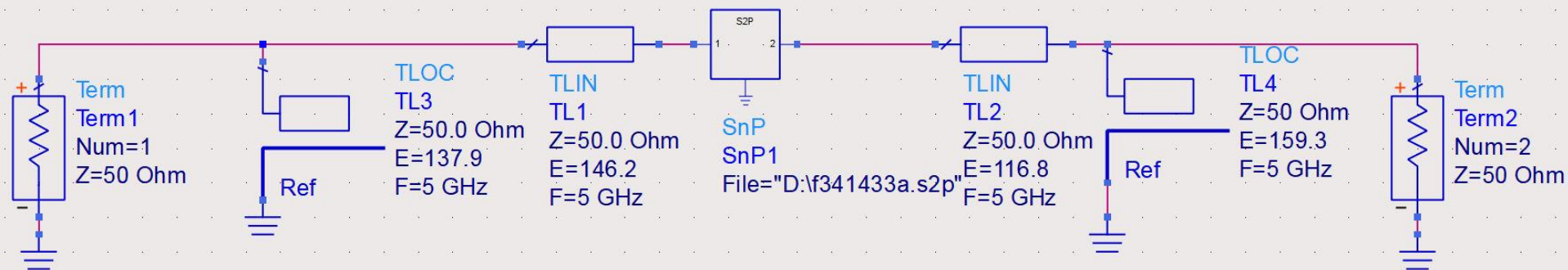


- CCCOUT: -0.4dB, -0.2dB, 0dB, +0.2dB
- Lipsa conditiilor privitoare la zgomot ofera posibilitatea obtinerii unui castig mai mare (spre maxim)

# ADS

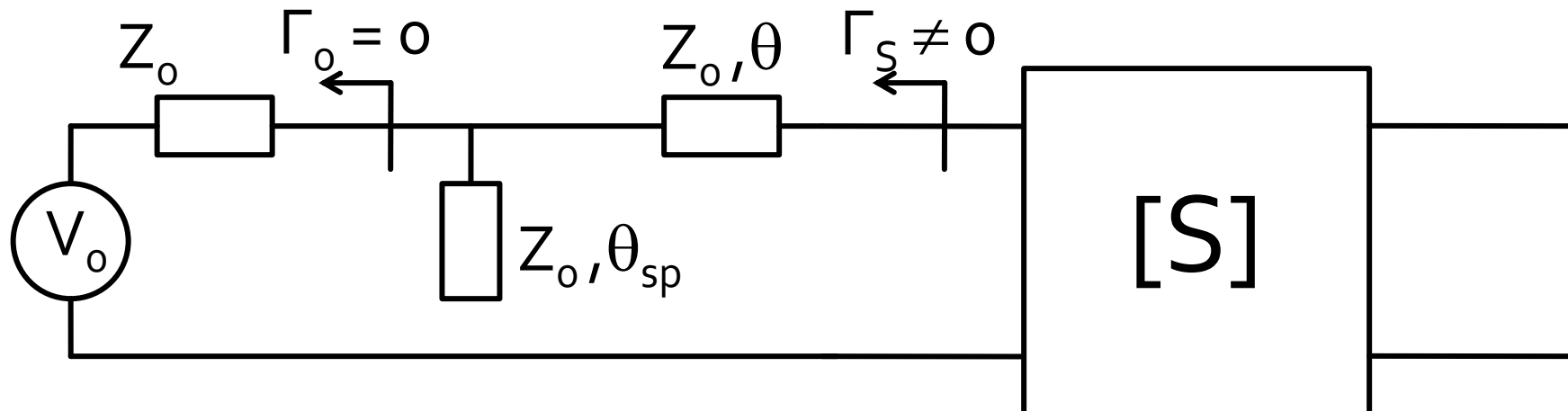


# ADS

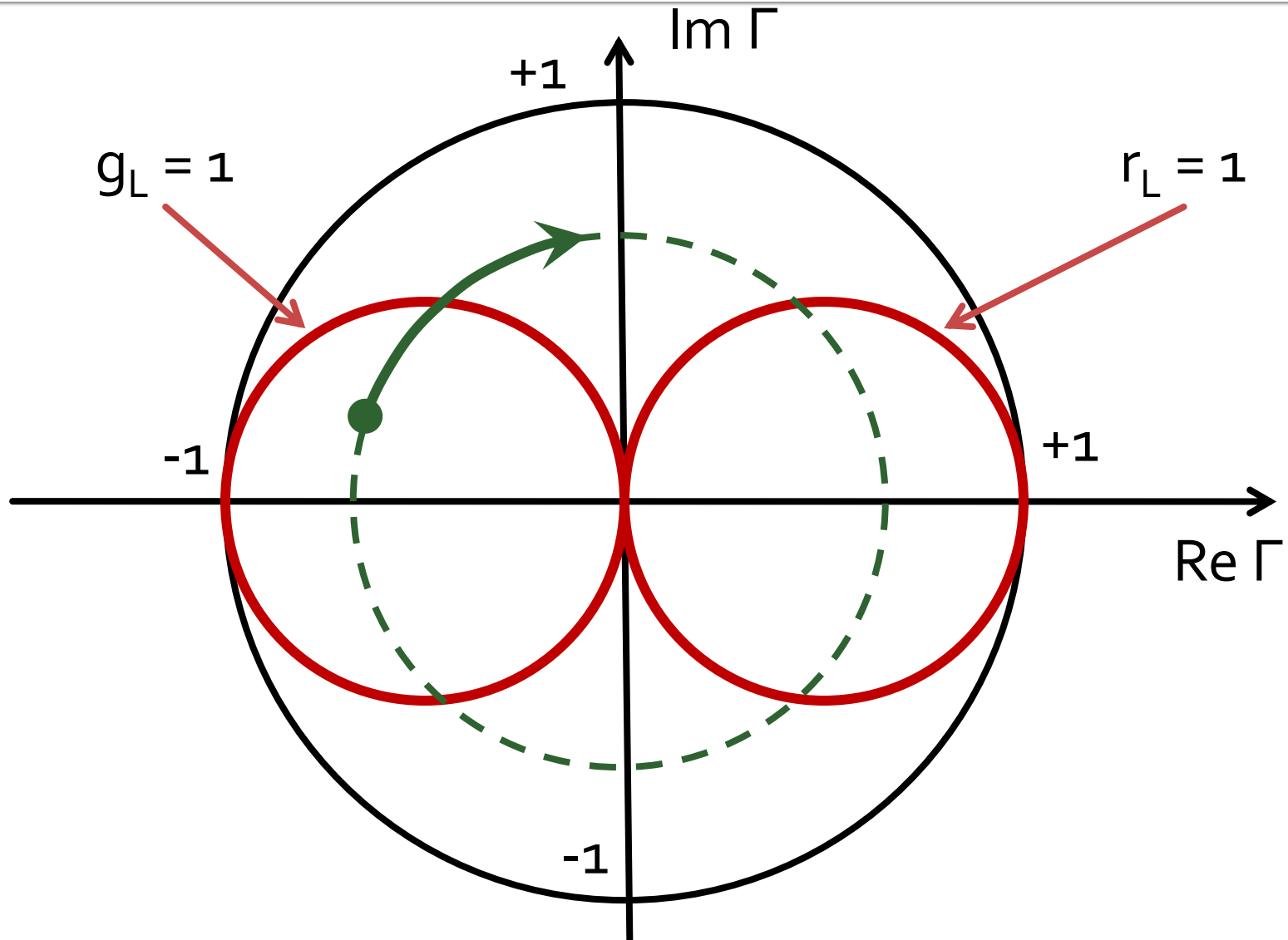


# Adaptare – 4

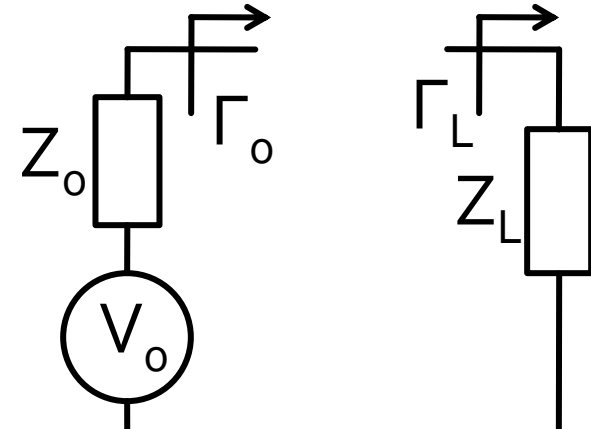
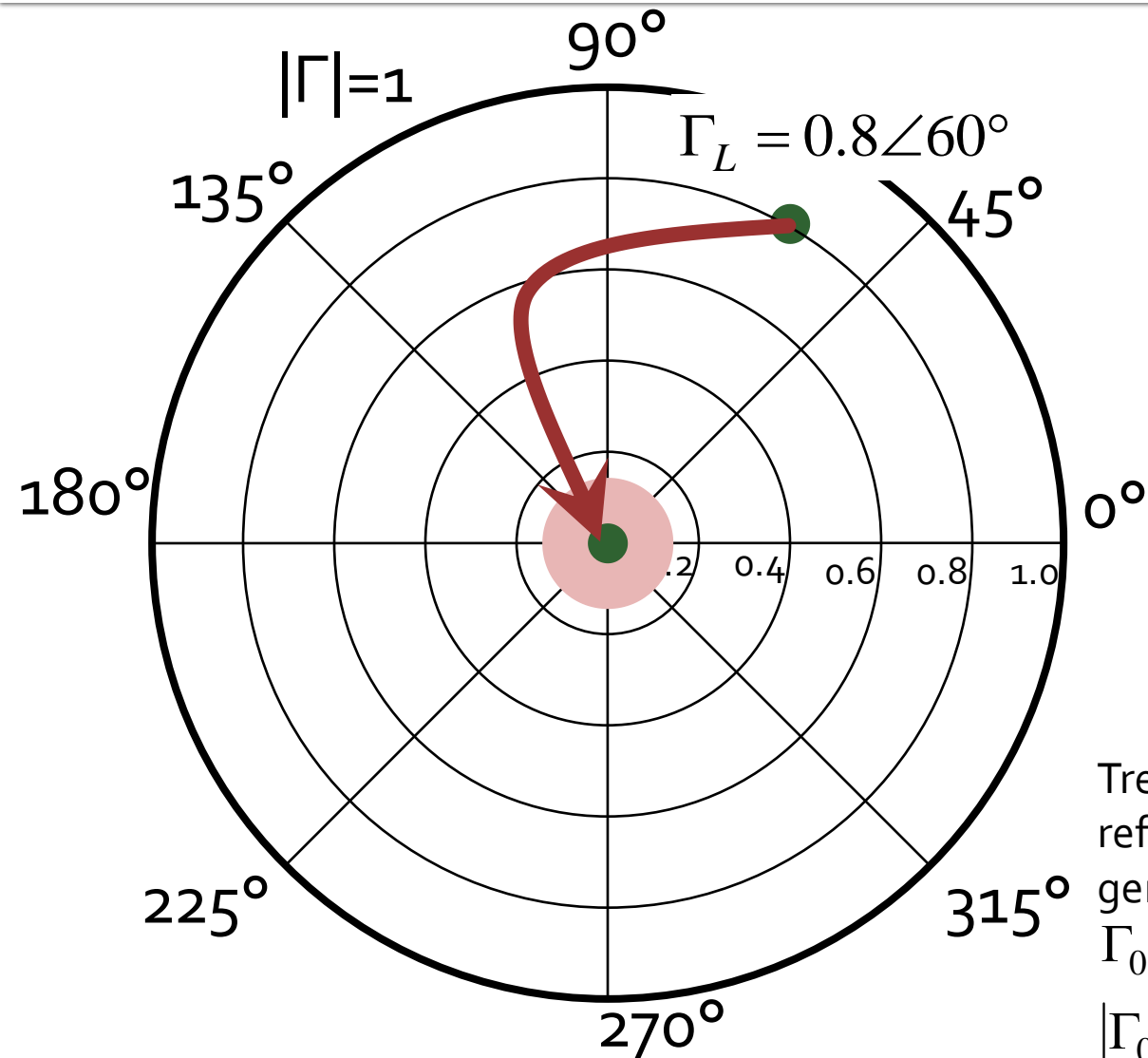
- Varianta cea mai simplă de implementare, și pentru care există relații analitice de calcul constă în introducerea (în ordine, de la tranzistor spre sursă  $Z_0$ ):
  - o secțiune de linie serie, cu impedanța caracteristică  $Z_0$  și lungime electrică  $\theta$
  - un **stub paralel**, lasat în gol la capăt, realizat dintr-o linie cu impedanța caracteristică  $Z_0$  și lungime electrică  $\theta_{sp}$



# Diagrama Smith, $r=1$ si $g=1$



# Diagrama Smith, adaptare, $Z_L \neq Z_o$



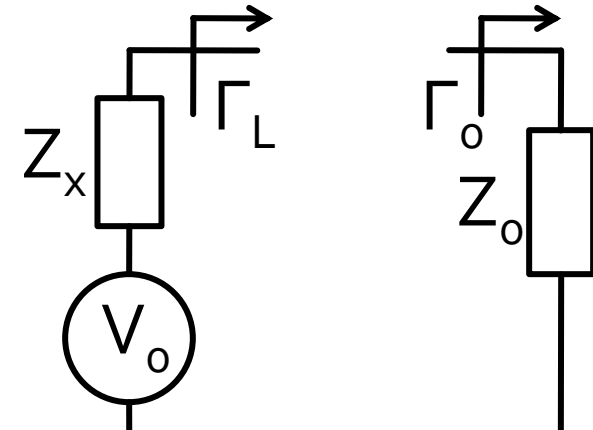
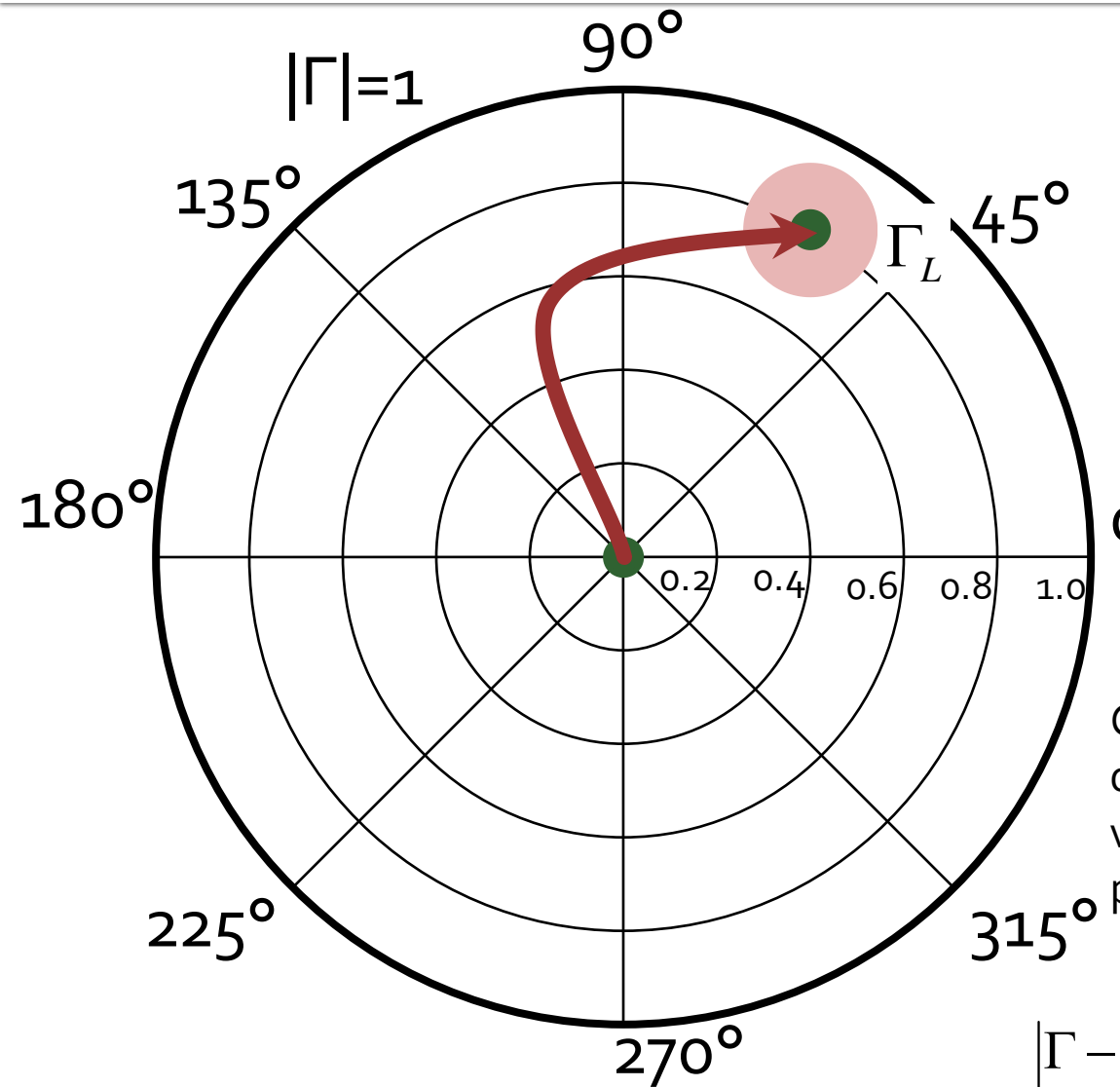
Adaptare  $Z_L$  la  $Z_o$ . Se raporteaza  $Z_L$  la  $Z_o$   
 $Z_L = 21.429\Omega + j \cdot 82.479\Omega$   
 $z_L = 0.429 + j \cdot 1.65$   
 $\Gamma_L = 0.8\angle 60^\circ$

Trebuie sa deplasez coeficientul de reflexie in zona in care pentru generator cu  $Z_o$  am:

$\Gamma_0 = 0$  adaptare perfecta

$|\Gamma_0| \leq \Gamma_m$  adaptare "suficienta"

# Diagrama Smith, adaptare, $Z_L = Z_o$



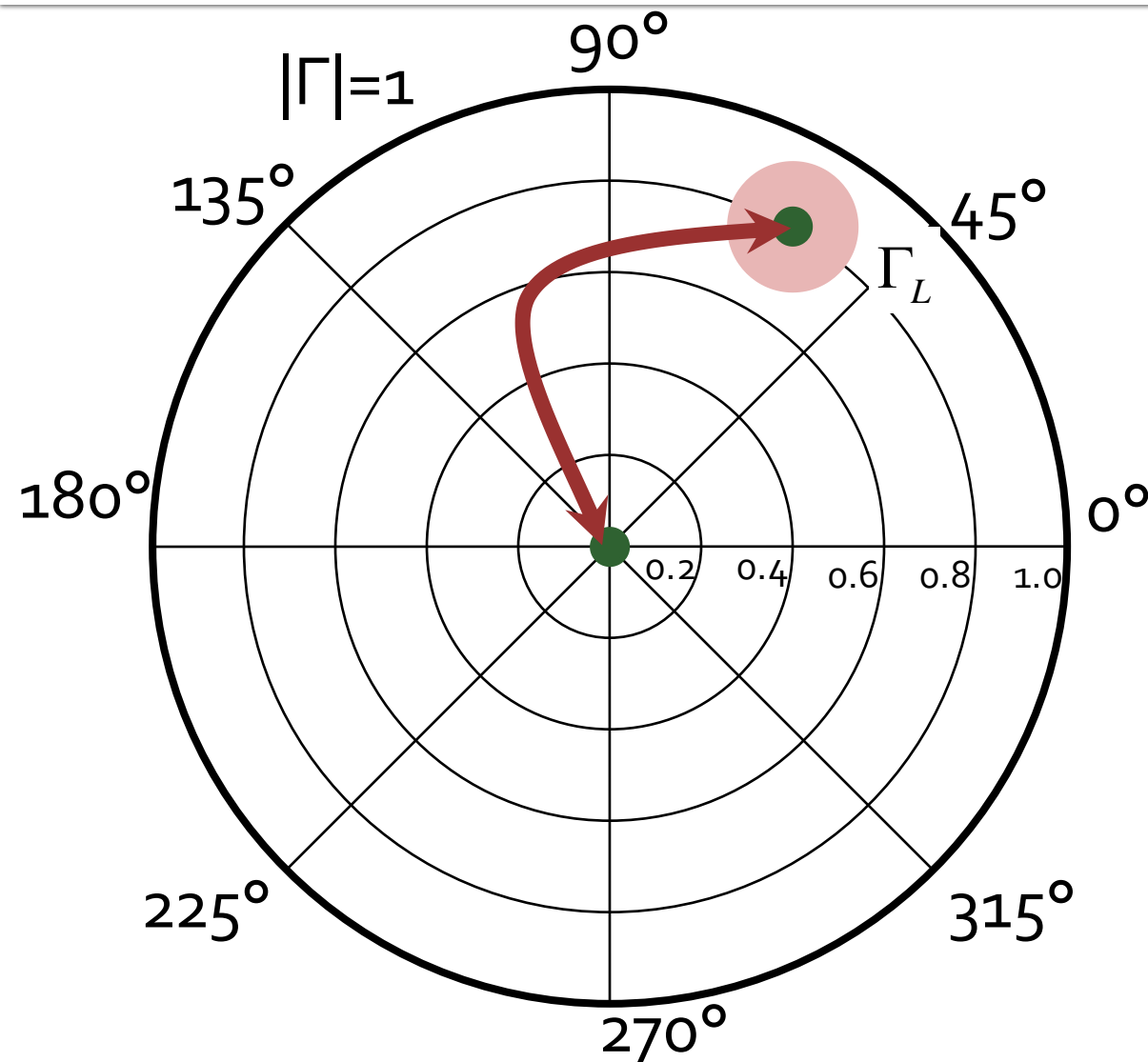
Sursa (de ex. tranzistorul) cu  $Z_x$  are nevoie de un anumit coeficient de reflexie  $\Gamma_L$  pentru a functiona corect

Circuitul de adaptare trebuie sa deplaseze coeficientul de reflexie vazut spre sarcina in zona in care pentru sarcina  $Z_o$  ( $\Gamma_o=0$ ) am:

$\Gamma = \Gamma_L$  adaptare perfecta

$|\Gamma - \Gamma_L| \leq \Gamma_m$  adaptare "suficientă"

# Diagrama Smith, adaptare, $Z_L = Z_o$



- Circuitele de adaptare care mută
  - $\Gamma_L$  în  $\Gamma_o$
  - $\Gamma_o$  în  $\Gamma_L$
- sunt **identice** ca realizare. Difera doar prin **ordinea** în care se introduc elementele în circuitul de adaptare
- Ca urmare se pot folosi în proiectarea circuitelor de adaptare aceleasi:
  - **metode**
  - **relatii**

# Supliment Mini Project

# Alege tranzistor

## ■ Ghid de selectie



# Alegere tranzistor

- Ghid de selectie
  - Low noise / LNA
  - Frecventa de lucru

Ultra-low-noise SiGe:C transistors up to 12 GHz



Product name	SP No	OPN	Electrical characteristics								Package
			$V_{CEO}$ (max) [V]	$I_c$ (max) [mA]	$NF_{min}$ (typ) [dB]	$G_{max}$ (typ) [dB]	OIP3 [dBm]	OP1dB [dBm]	$f_T$ (typ) [GHz]	$P_{tot}$ (max) [mW]	
BFP640ESD	SP000785482	BFP640ESDH6327XTSA1	4.1	50.0	0.65	25.0	27.0	12.0	46.0	200.0	SOT343
BFP640FESD	SP000890034	BFP640FESDH6327XTSA1	4.1	50.0	0.55	26.5	26.0	11.5	46.0	200.0	TSFP-4-1
BFP620	SP000745302	BFP620H7764XTSA1	2.3	80.0	0.7	21.5	25.5	14.5	65.0	185.0	SOT343
BFP620F	SP000745304	BFP620FH7764XTSA1	2.3	80.0	0.7	21.0	25.0	14.0	65.0	185.0	TSFP-4-1
BFP640	SP000745306	BFP640H6327XTSA1	4.0	50.0	0.65	24.0	26.5	13.0	40.0	200.0	SOT343
BFP640F	SP000750404	BFP640FH6327XTSA1	4.0	50.0	0.65	23.0	27.5	13.5	40.0	200.0	TSFP-4-1

# Alege tranzistor

- Selectare candidat
  - Ex: BFP620F

Ultra-low-noise SiGe:C transistors up to 12 GHz



Product name	SP No	OPN	Electrical characteristics								Package
			V <sub>CEO</sub> (max) [V]	I <sub>c</sub> (max) [mA]	NF <sub>min</sub> (typ) [dB]	G <sub>max</sub> (typ) [dB]	OIP3 [dBm]	OP1dB [dBm]	f <sub>T</sub> (typ) [GHz]	P <sub>tot</sub> (max) [mW]	
BFP640ESD	SP000785482	BFP640ESDH6327XTSA1	4.1	50.0	0.65	25.0	27.0	12.0	46.0	200.0	SOT343
BFP640FESD	SP000890034	BFP640FESDH6327XTSA1	4.1	50.0	0.55	26.5	26.0	11.5	46.0	200.0	TSFP-4-1
BFP620	SP000745302	BFP620H7764XTSA1	2.3	80.0	0.7	21.5	25.5	14.5	65.0	185.0	SOT343
<b>BFP620F</b>	<b>SP000745304</b>	<b>BFP620FH7764XTSA1</b>	<b>2.3</b>	<b>80.0</b>	<b>0.7</b>	<b>21.0</b>	<b>25.0</b>	<b>14.0</b>	<b>65.0</b>	<b>185.0</b>	<b>TSFP-4-1</b>
BFP640	SP000745306	BFP640H6327XTSA1	4.0	50.0	0.65	24.0	26.5	13.0	40.0	200.0	SOT343
BFP640F	SP000750404	BFP640FH6327XTSA1	4.0	50.0	0.65	23.0	27.5	13.5	40.0	200.0	TSFP-4-1

- Cautare model
  - verificare zip rf-opto
  - Google BFP620F s2p

# Alegere transistor, model

- zip: 8064 fisiere
- BFP620F: 281 fisiere
  - diverse polarizari
  - necesar w\_noise !!
    - **with noise**

	BFP620F_VCE_2.3V_IC_53mA.s2p	6 853	2 802	2016-0	
	BFP620F_VCE_2.3V_IC_55mA.s2p	6 853	2 779	2016-0	
	BFP620F_VCE_2.3V_IC_60mA.s2p	6 853	2 788	2016-0	
	BFP620F_VCE_2.3V_IC_65mA.s2p	6 853	2 778	2016-0	
	BFP620F_VCE_2.3V_IC_70mA.s2p	6 853	2 778	2016-0	
	BFP620F_VCE_2.3V_IC_75mA.s2p	6 853	2 782	2016-0	
	BFP620F_VCE_2.3V_IC_80mA.s2p	6 853	2 775	2016-0	
	BFP620F_w_noise_VCE_0.3V_IC_1.0mA....	7 105	2 775	2016-0	
	BFP620F_w_noise_VCE_0.3V_IC_3.0mA....	7 105	2 810	2016-0	
	BFP620F_w_noise_VCE_0.3V_IC_5.0mA....	7 105	2 804	2016-0	
	BFP620F_w_noise_VCE_0.3V_IC_7.0mA....	7 105	2 810	2016-0	
	BFP620F_w_noise_VCE_0.3V_IC_8.0mA....	7 105	2 797	2016-0	
617	BFP620F_w_noise_VCE_0.3V_IC_10mA.s...	7 104	2 768	2016-0	
38,065	BFP620F_w_noise_VCE_0.3V_IC_12mA.s...	7 104	2 771	2016-0	
36,432	BFP620F_w_noise_VCE_0.3V_IC_13mA.s...	7 104	2 779	2016-0	
39,977	BFP620F_w_noise_VCE_0.3V_IC_15mA.s...	7 104	2 770	2016-0	
	BFP620F_w_noise_VCE_0.3V_IC_17mA.s...	7 104	2 753	2016-0	

ro	2/12/2021 10:51 AM	File folder	
test D	10/16/2020 3:45 AM	File folder	
5G.pdf	9/30/2019 2:18 PM	Adobe Acrobat Docu...	
infineon_rft.zip	1/14/2020 9:46 AM	zip Archive	
Infineon-RFTransistor-AWR_MWO_Design_Kit-S...	1/14/2020 9:43 AM	zip Archive	
Infineon-RFTransistor-Keysight_ADS_Design_Kit...	1/14/2020 9:43 AM	zip Archive	

# Alege un transistor, catalog

- Cautare Google BFP620F datasheet
- Preferabil de pe site-ul oficial (daca mai exista)



## BFP620F

Low profile high gain silicon NPN RF bipolar transistor



Order now



Technical documents



Simulation



Support

### Product description

The BFP620F is a RF bipolar transistor based on SiGe:C technology that is part of Infineon's established sixth generation transistor family. Its high gain and low noise characteristics make the device suitable for frequencies as high as 6 GHz. It remains cost competitive without compromising on ease of use.



# Alegere transistor, catalog

- Parametrii variaza cu frecventa si polarizarea

**Table 6** AC characteristics,  $V_{CE} = 1.5$  V,  $f = 1.8$  GHz

**Table 7** AC characteristics,  $V_{CE} = 1.5$  V,  $f = 6$  GHz

Parameter	Symbol	Values			Unit	Note or test condition
		Min.	Typ.	Max.		
Power gain	<ul style="list-style-type: none"> <li>Maximum power gain</li> <li>Transducer gain</li> </ul>	$G_{ma}$ $ S_{21} ^2$	-	10	dB	$I_C = 50 \text{ mA}$
Noise figure			9.5			
Minimum noise figure	$NF_{min}$		1.3			$I_C = 5 \text{ mA}$

# Alegere transistor, catalog

- Grafice cu variația în frecvență
  - NF (f)

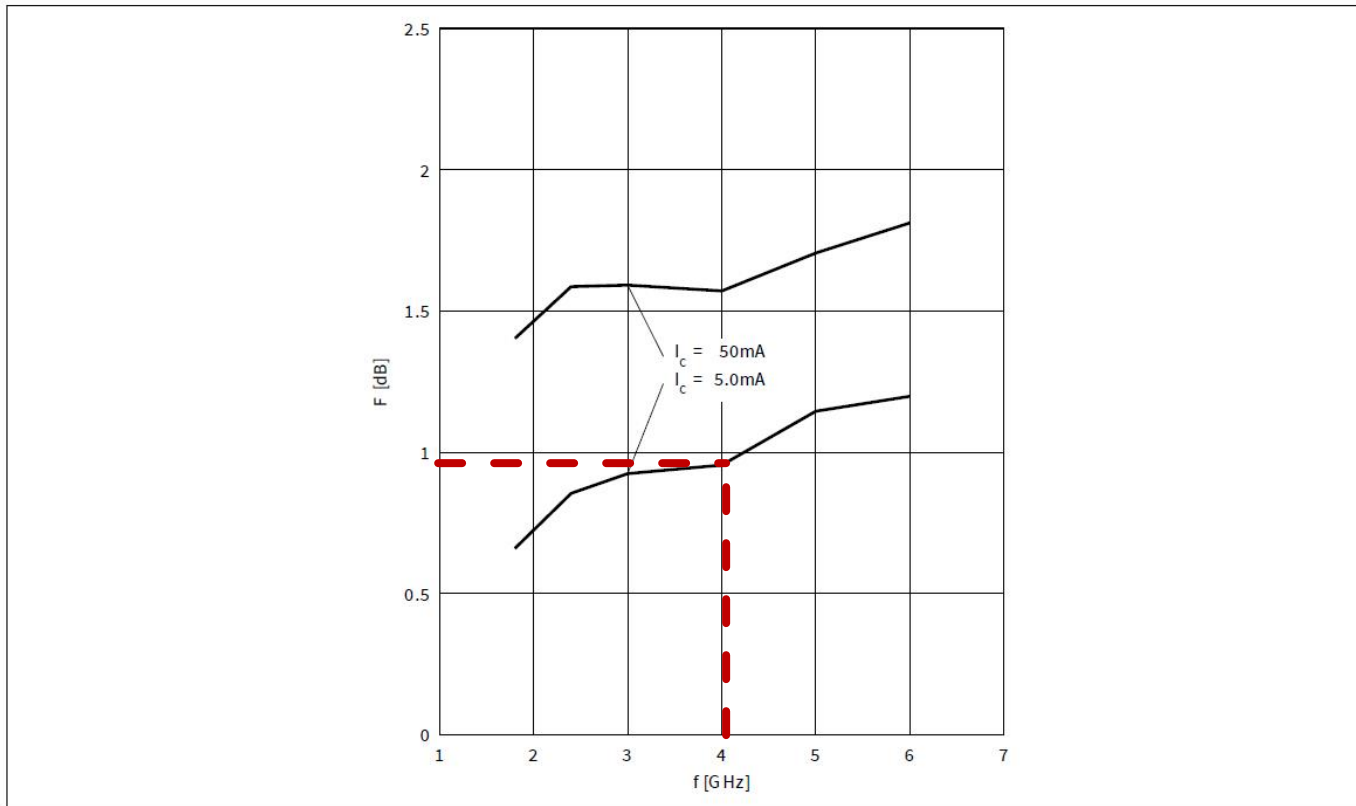


Figure 12

Noise figure  $NF_{\min} = f(f)$ ,  $Z_S = Z_{S,\text{opt}}$ ,  $V_{CE} = 1.5\text{ V}$ ,  $I_C = 5 / 50\text{ mA}$

# Alegere transistor, catalog

- Grafice cu variația în frecvență
  - $G(f)$

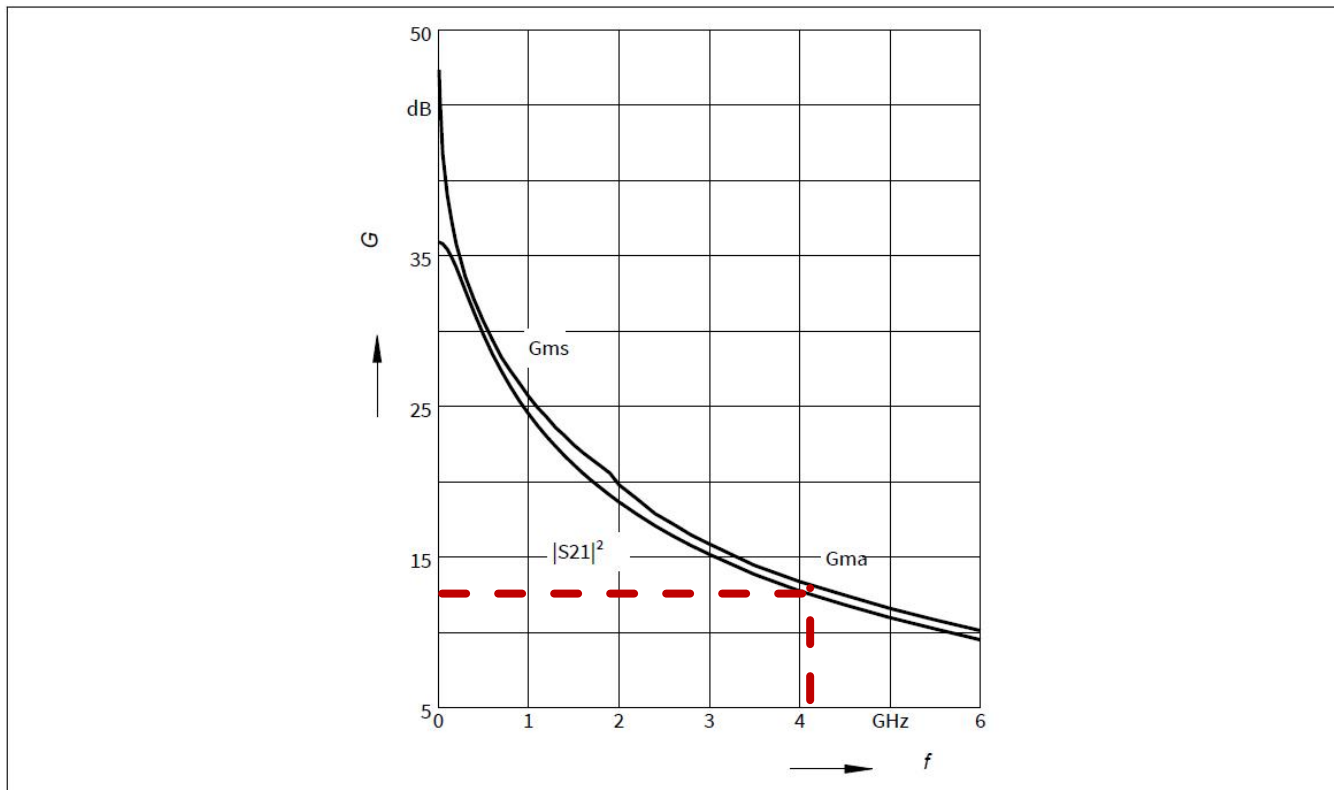


Figure 8

Gain  $G_{ma}$ ,  $G_{ms}$ ,  $|S_{21}|^2 = f(f)$ ,  $V_{CE} = 1.5$  V,  $I_C = 50$  mA

# Alegere transistor, catalog

- Grafice care ghideaza in alegerea polarizarii
  - NF ( $I_C$ )

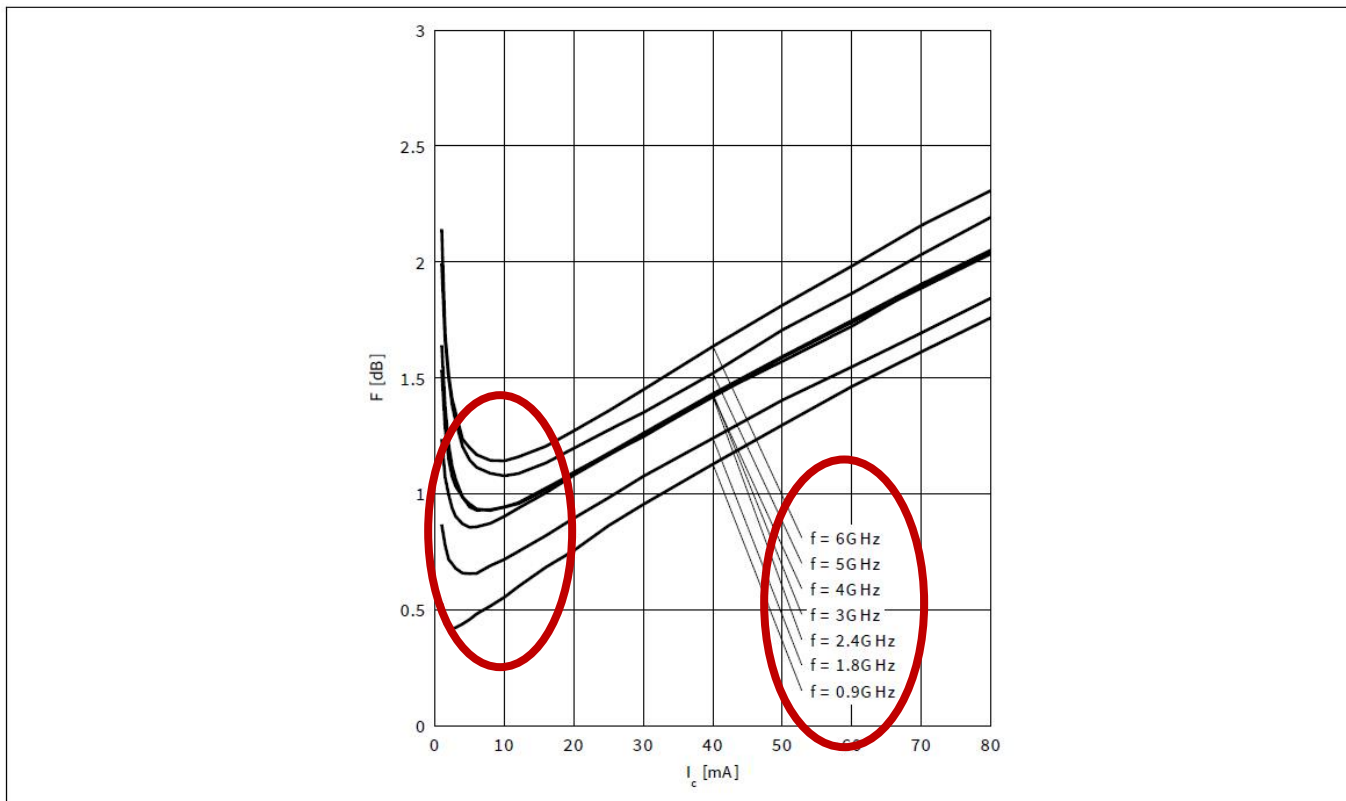


Figure 13

Noise figure  $NF_{\min} = f(I_C)$ ,  $Z_S = Z_{S,\text{opt}}$ ,  $V_{CE} = 1.5\text{ V}$ ,  $f = \text{parameter in GHz}$

# Alegere transistor, catalog

- Grafice care ghideaza in alegerea polarizarii
  - $G(I_C)$

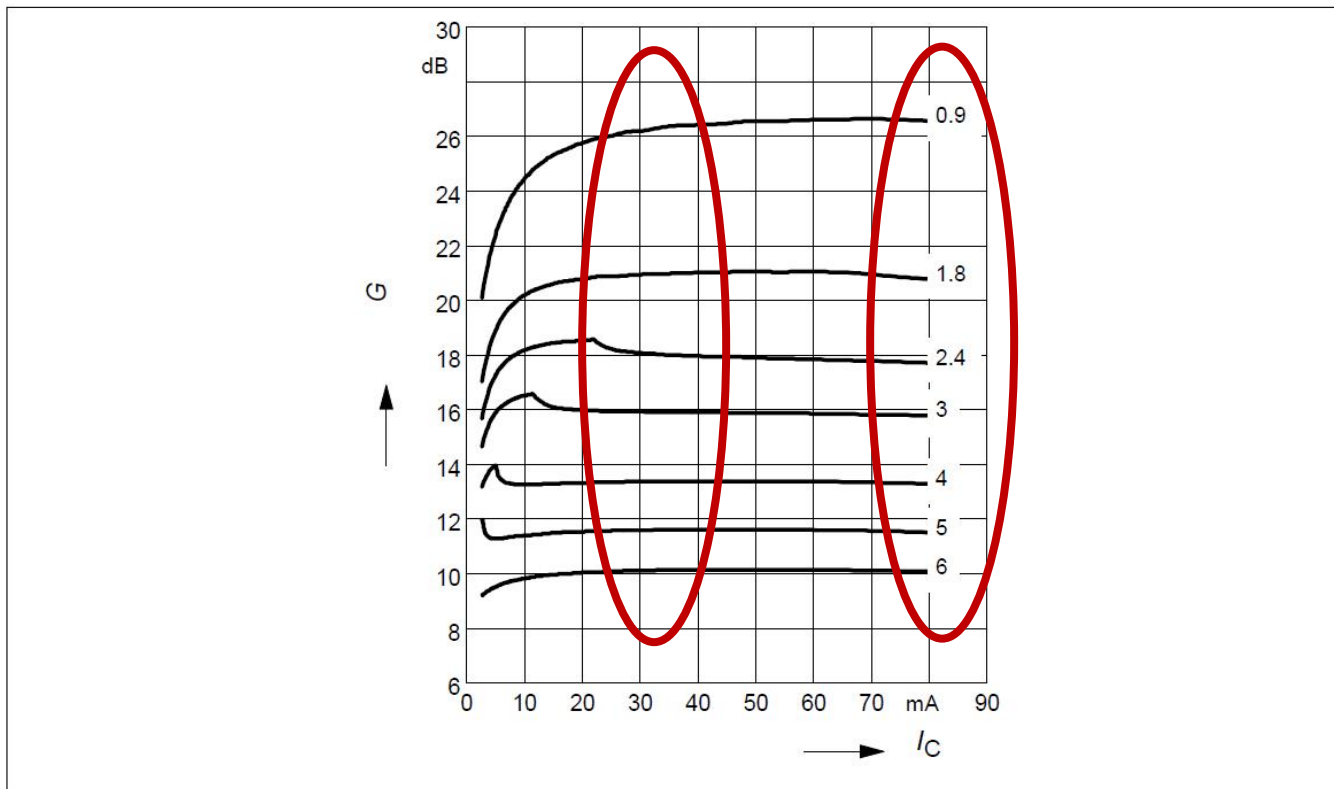


Figure 9

Maximum power gain  $G_{max} = f(I_C)$ ,  $V_{CE} = 1.5$  V,  $f$  = parameter in GHz

# Alegere transistor, catalog

- Grafice care ghideaza in alegerea polarizarii
  - $G(V_{CE})$

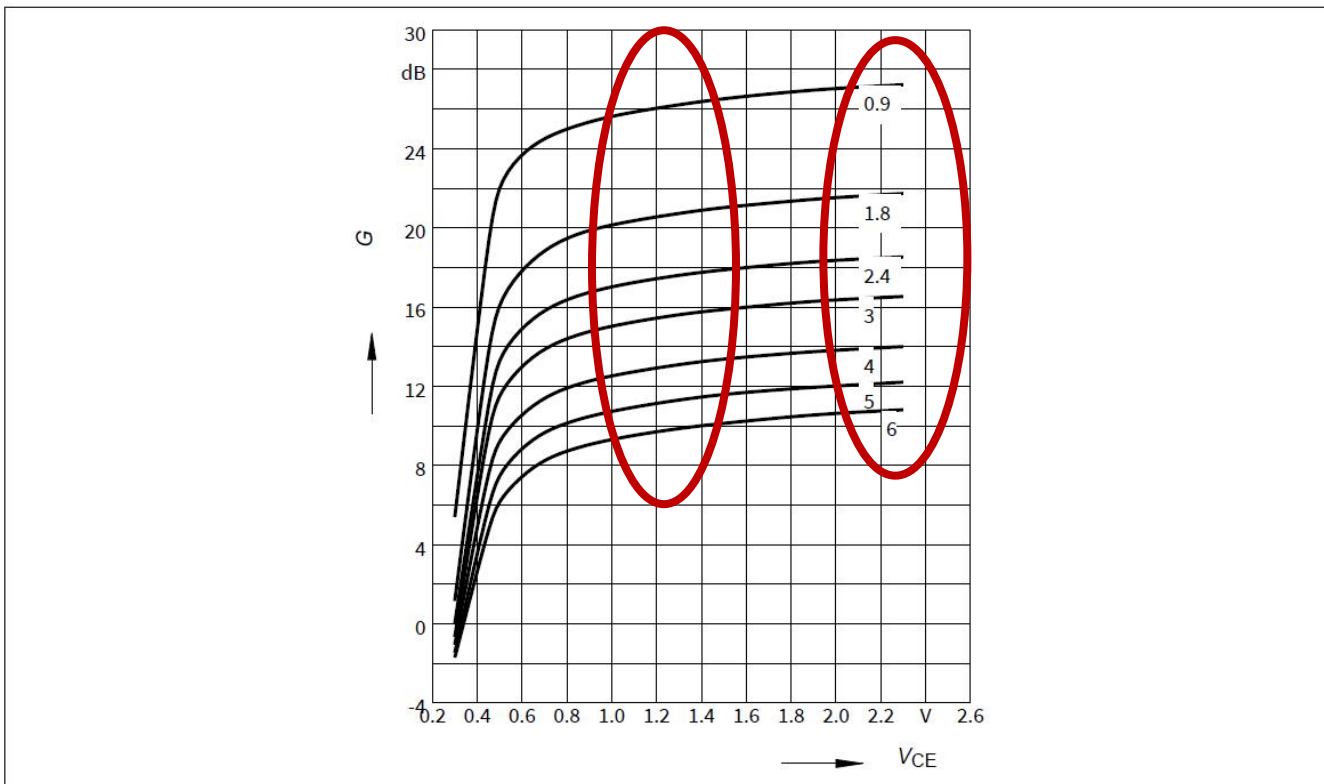


Figure 10

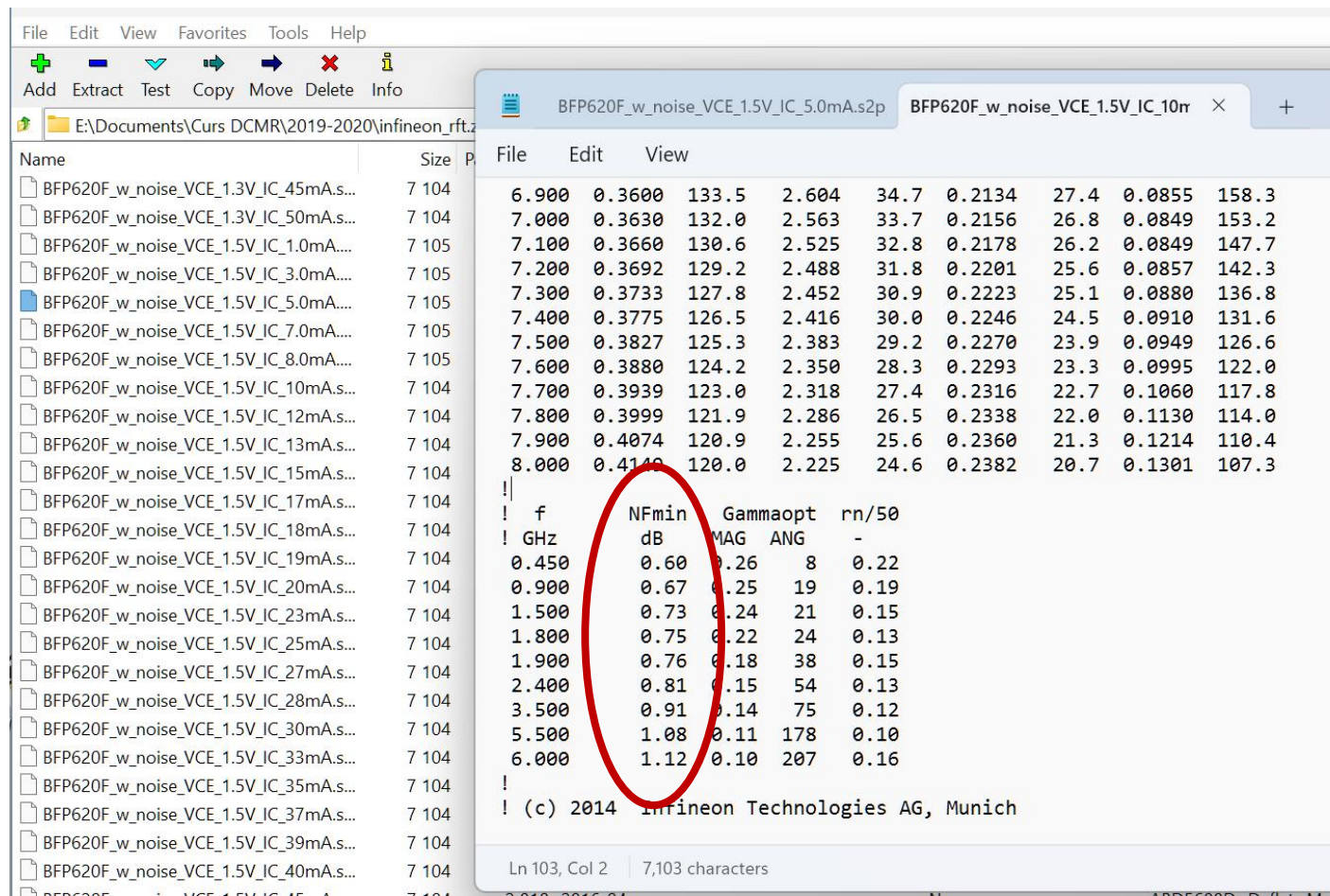
Maximum power gain  $G_{max} = f(V_{CE})$ ,  $I_C = 50$  mA,  $f$  = parameter in GHz

# Alegere transistor, catalog

- De obicei:
  - polarizarile cu valori reduse (ex. BFP620F:  $1.5\text{V}$   $V_{CE}$ ,  $5 \div 10\text{mA}$   $I_C$ ) ofera zgomot mai mic, iar polarizarile cu valori ridicate  $V_{CE}$ ,  $I_C$  ofera castig mai mare

# Alegere transistor, catalog

- Fisierele s2p sunt text si pot fi direct vizualizate



The screenshot shows a Windows-style file explorer window with a toolbar at the top. The menu bar includes File, Edit, View, Favorites, Tools, and Help. Below the menu is a toolbar with icons for Add, Extract, Test, Copy, Move, Delete, and Info. The main area displays a list of files under the path E:\Documents\Curs DCMR\2019-2020\infineon\_rftz. Two files are open in tabs: BFP620F\_w\_noise\_VCE\_1.5V\_IC\_5.0mA.s2p and BFP620F\_w\_noise\_VCE\_1.5V\_IC\_10n. The left tab shows a list of noise measurement files, while the right tab displays noise parameters versus frequency.

Name	Size
BFP620F_w_noise_VCE_1.3V_IC_45mA.s...	7 104
BFP620F_w_noise_VCE_1.3V_IC_50mA.s...	7 104
BFP620F_w_noise_VCE_1.5V_IC_1.0mA....	7 105
BFP620F_w_noise_VCE_1.5V_IC_3.0mA....	7 105
BFP620F_w_noise_VCE_1.5V_IC_5.0mA....	7 105
BFP620F_w_noise_VCE_1.5V_IC_7.0mA....	7 105
BFP620F_w_noise_VCE_1.5V_IC_8.0mA....	7 105
BFP620F_w_noise_VCE_1.5V_IC_10mA....	7 104
BFP620F_w_noise_VCE_1.5V_IC_12mA....	7 104
BFP620F_w_noise_VCE_1.5V_IC_13mA....	7 104
BFP620F_w_noise_VCE_1.5V_IC_15mA....	7 104
BFP620F_w_noise_VCE_1.5V_IC_17mA....	7 104
BFP620F_w_noise_VCE_1.5V_IC_18mA....	7 104
BFP620F_w_noise_VCE_1.5V_IC_19mA....	7 104
BFP620F_w_noise_VCE_1.5V_IC_20mA....	7 104
BFP620F_w_noise_VCE_1.5V_IC_23mA....	7 104
BFP620F_w_noise_VCE_1.5V_IC_25mA....	7 104
BFP620F_w_noise_VCE_1.5V_IC_27mA....	7 104
BFP620F_w_noise_VCE_1.5V_IC_28mA....	7 104
BFP620F_w_noise_VCE_1.5V_IC_30mA....	7 104
BFP620F_w_noise_VCE_1.5V_IC_33mA....	7 104
BFP620F_w_noise_VCE_1.5V_IC_35mA....	7 104
BFP620F_w_noise_VCE_1.5V_IC_37mA....	7 104
BFP620F_w_noise_VCE_1.5V_IC_39mA....	7 104
BFP620F_w_noise_VCE_1.5V_IC_40mA....	7 104

**BFP620F\_w\_noise\_VCE\_1.5V\_IC\_5.0mA.s2p**

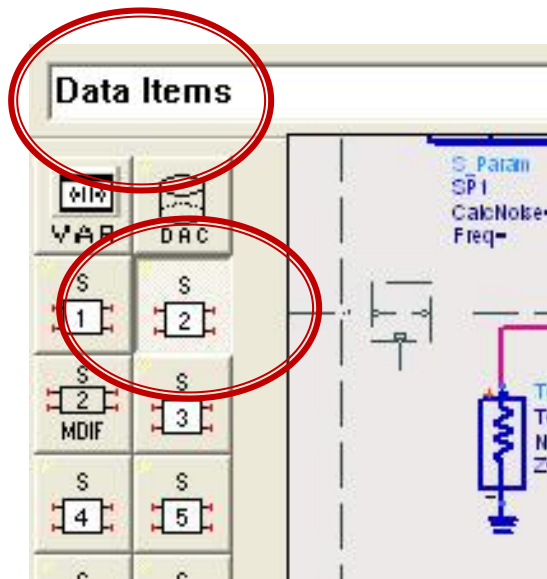
f	NFmin	Gammaopt	rn/50
0.450	0.60	0.26	8 0.22
0.900	0.67	0.25	19 0.19
1.500	0.73	0.24	21 0.15
1.800	0.75	0.22	24 0.13
1.900	0.76	0.18	38 0.15
2.400	0.81	0.15	54 0.13
3.500	0.91	0.14	75 0.12
5.500	1.08	0.11	178 0.10
6.000	1.12	0.10	207 0.16

**BFP620F\_w\_noise\_VCE\_1.5V\_IC\_10n**

(c) 2014 Infineon Technologies AG, Munich
Ln 103, Col 2   7,103 characters

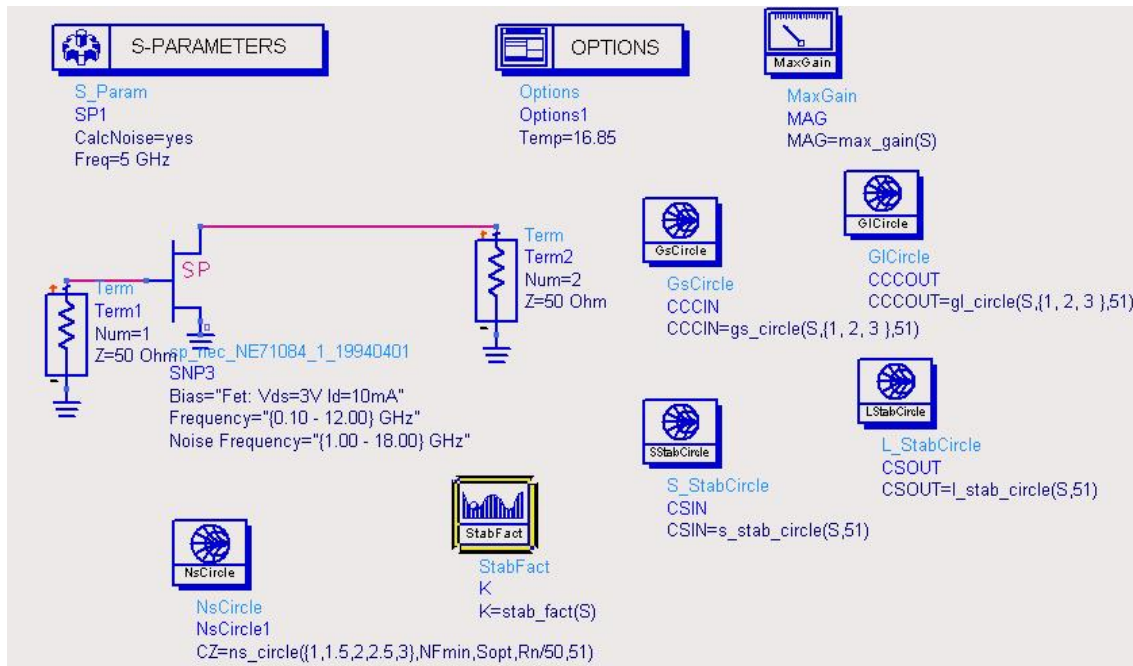
# Alegere transistor, ADS

- Tranzistoare se introduc cu componente tip diport
  - se bazeaza pe un fisier s2p pe care il incarca de pe disc
  - paleta Data Items > diport (2)



# Alegere transistor, ADS

- schema 1/lab 3-4
- se introduce un fisier cu parametri S si se verifica rapid prin simulare (**repetata**)

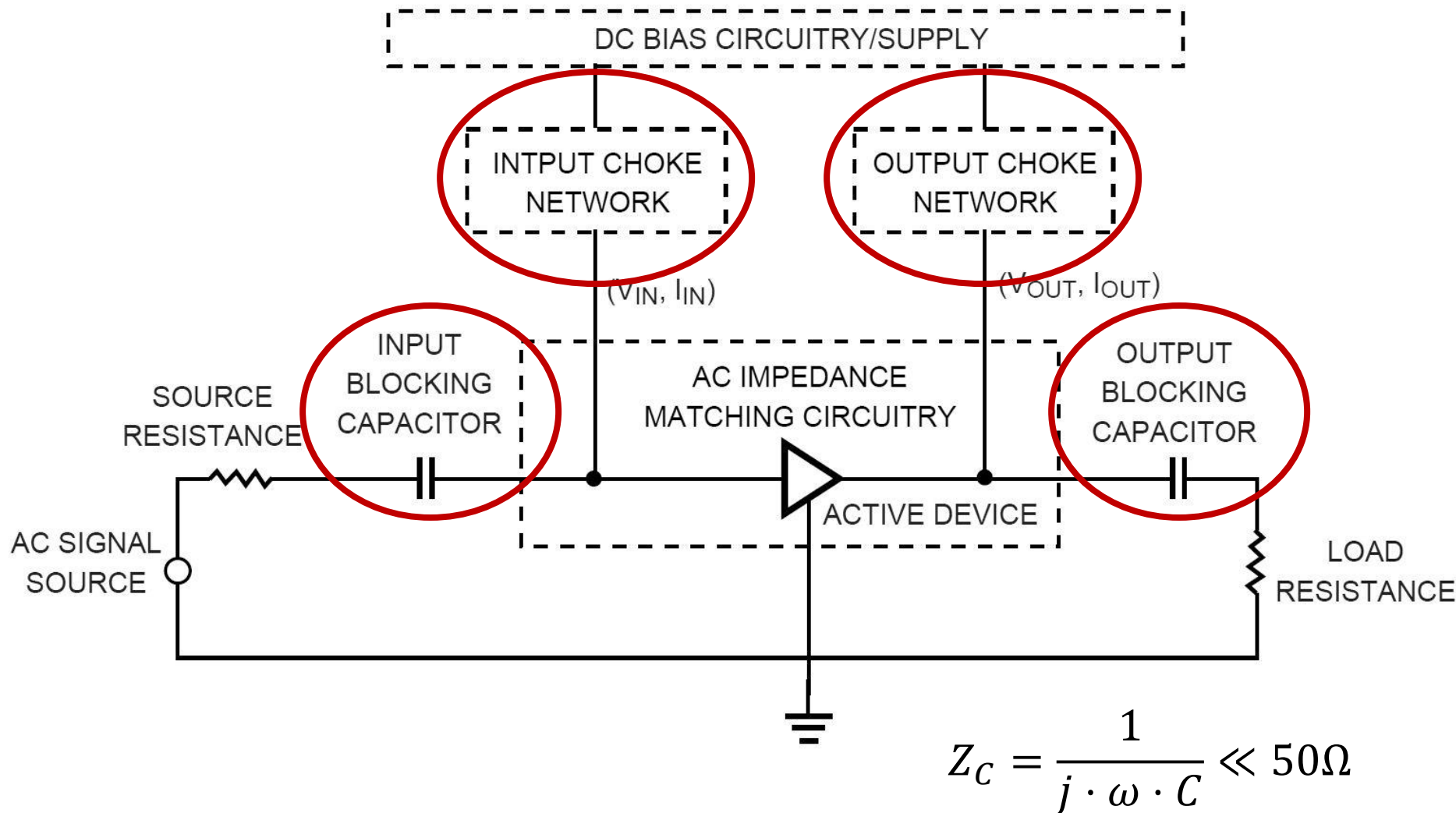


freq	K	MAG	NFmin	Sopt	Rn	G0	GLmax	GSmax
5.000 GHz	0.533	15.288	0.700	0.60 / 106....	19.500	8.974	1.634	4.249

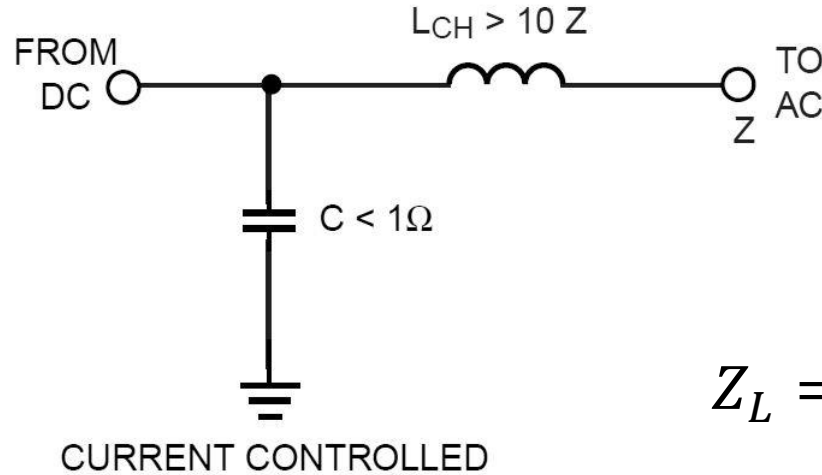
# Polarizare

- <http://rf-opto.etti.tuiasi.ro>
- note de aplicatii importante Agilent
  - decuplarea circuit de semnal/circuit de polarizare
  - detalii de implementare a circuitelor de polarizare pentru tranzistoarele cu microunde
- Appcad contine instrumente pentru calculul schemelor de polarizare

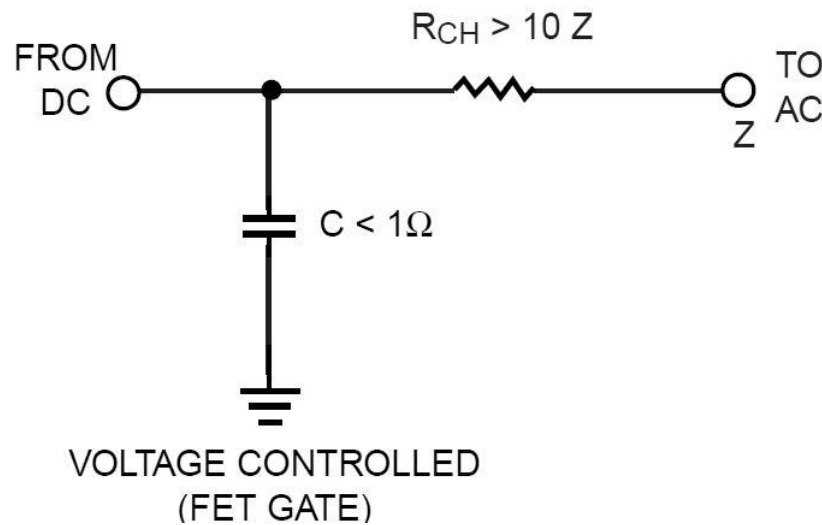
# Polarizzare



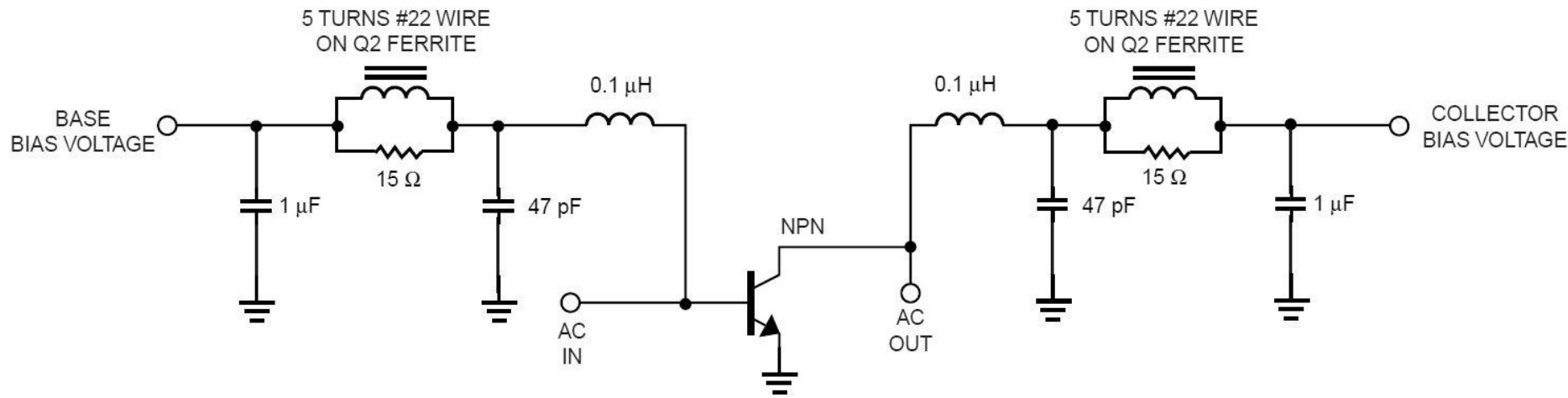
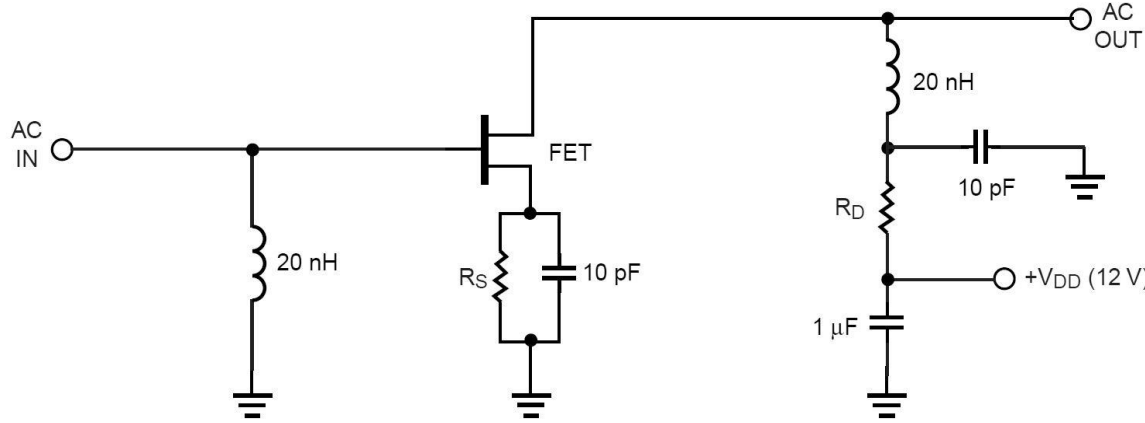
# Polarizare, soc tipic



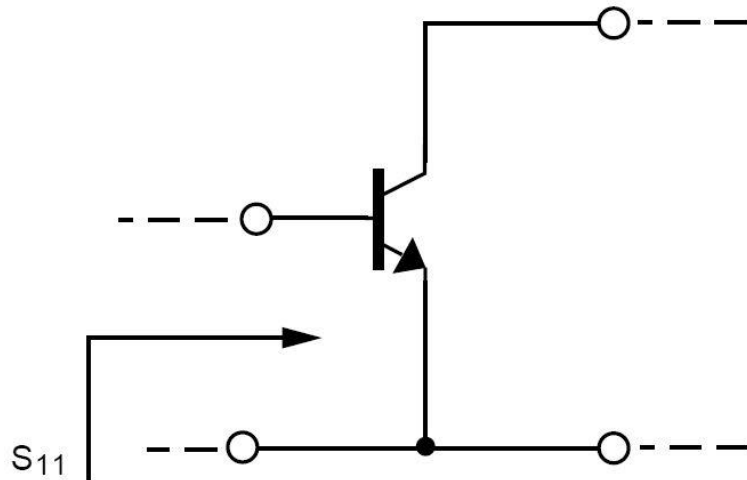
$$Z_L = j \cdot \omega \cdot L \gg 50\Omega$$



# Polarizzare, scheme/valori tipici

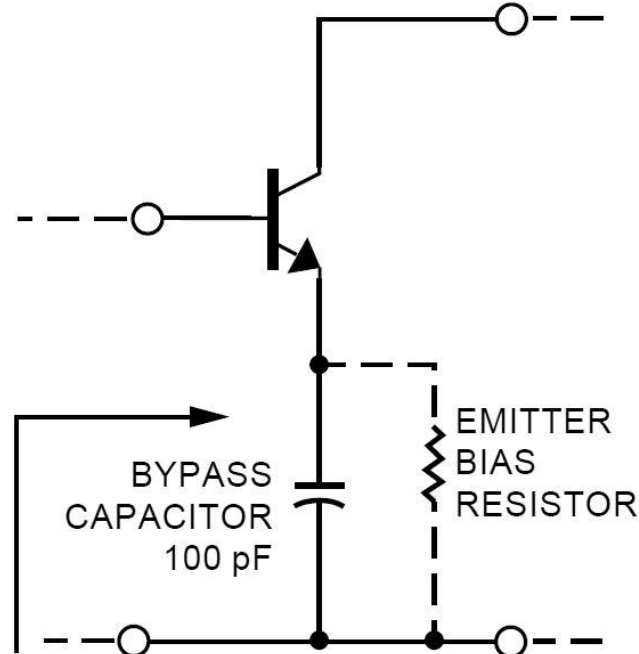


# Polarizare, problema elementelor conectate în E/S



$$S_{11} (\text{AT } 4 \text{ GHz}) = 0.52 \angle 154^\circ$$

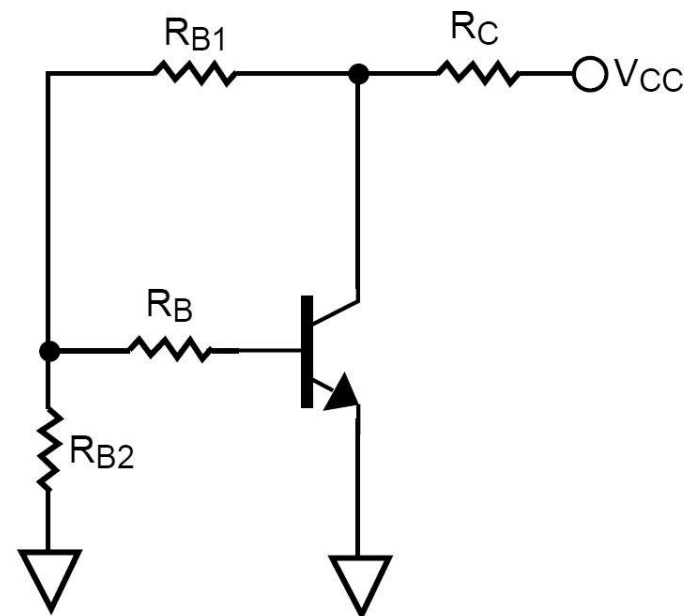
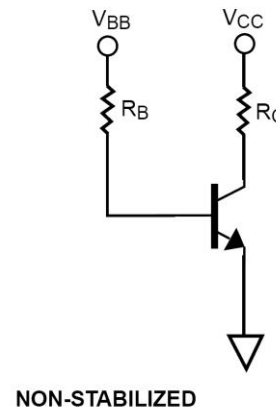
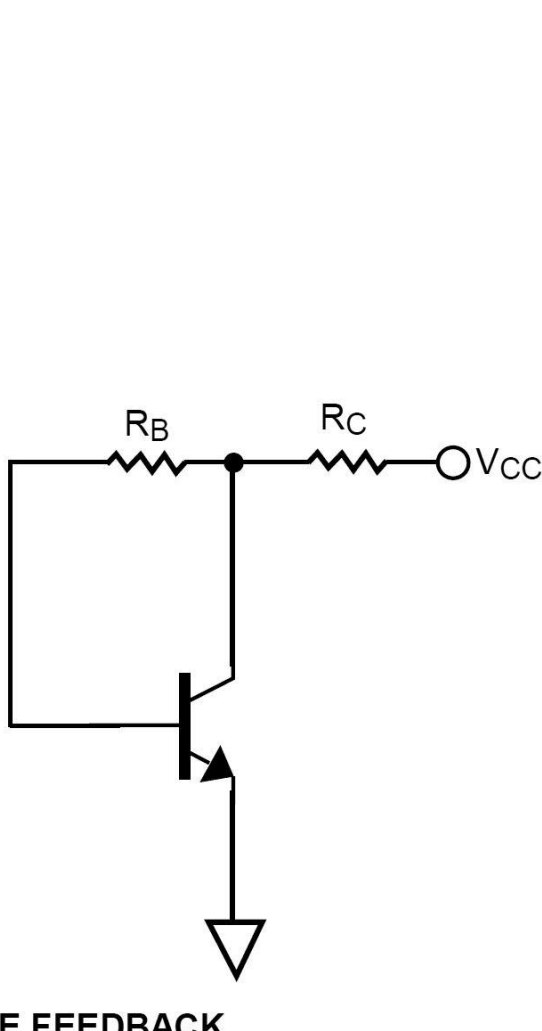
$$S_{11} (\text{AT } 0.1 \text{ GHz}) = 0.901 \angle -14.9^\circ$$



$$S'_{11} (\text{AT } 4 \text{ GHz}) = 0.52 \angle 154^\circ \text{ UNCHANGED AT } 4 \text{ GHz}$$

$$S'_{11} (\text{AT } 0.1 \text{ GHz}) = 1.066 \angle -8.5^\circ \quad |S_{11}| > 1 \text{ AT } 0.1 \text{ GHz}$$

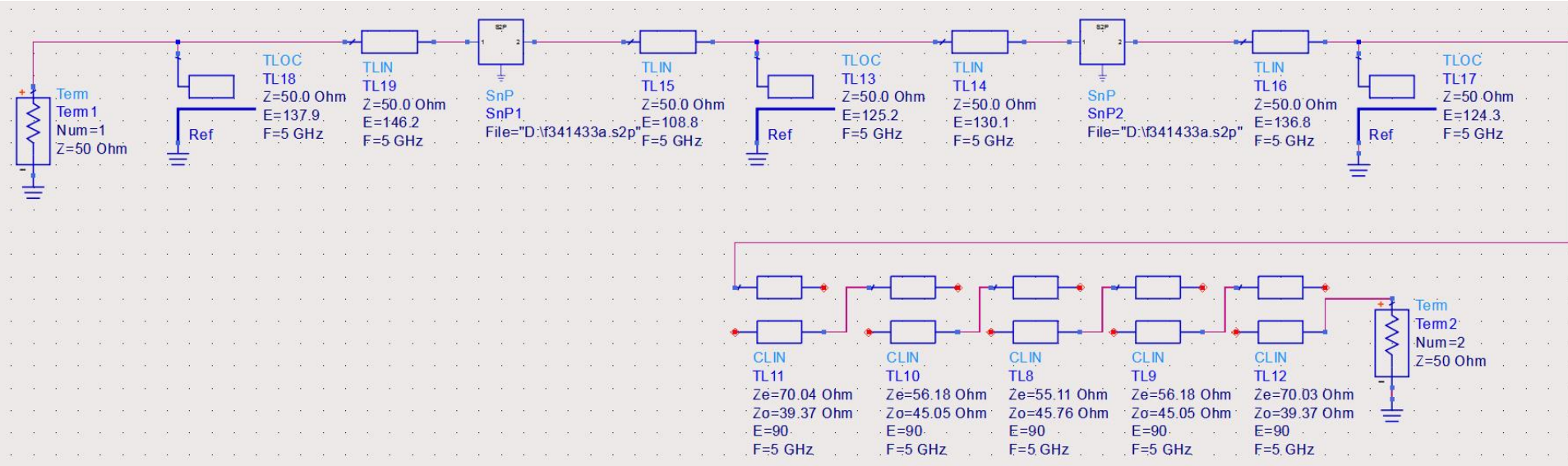
# Polarizare TB scheme de polarizare



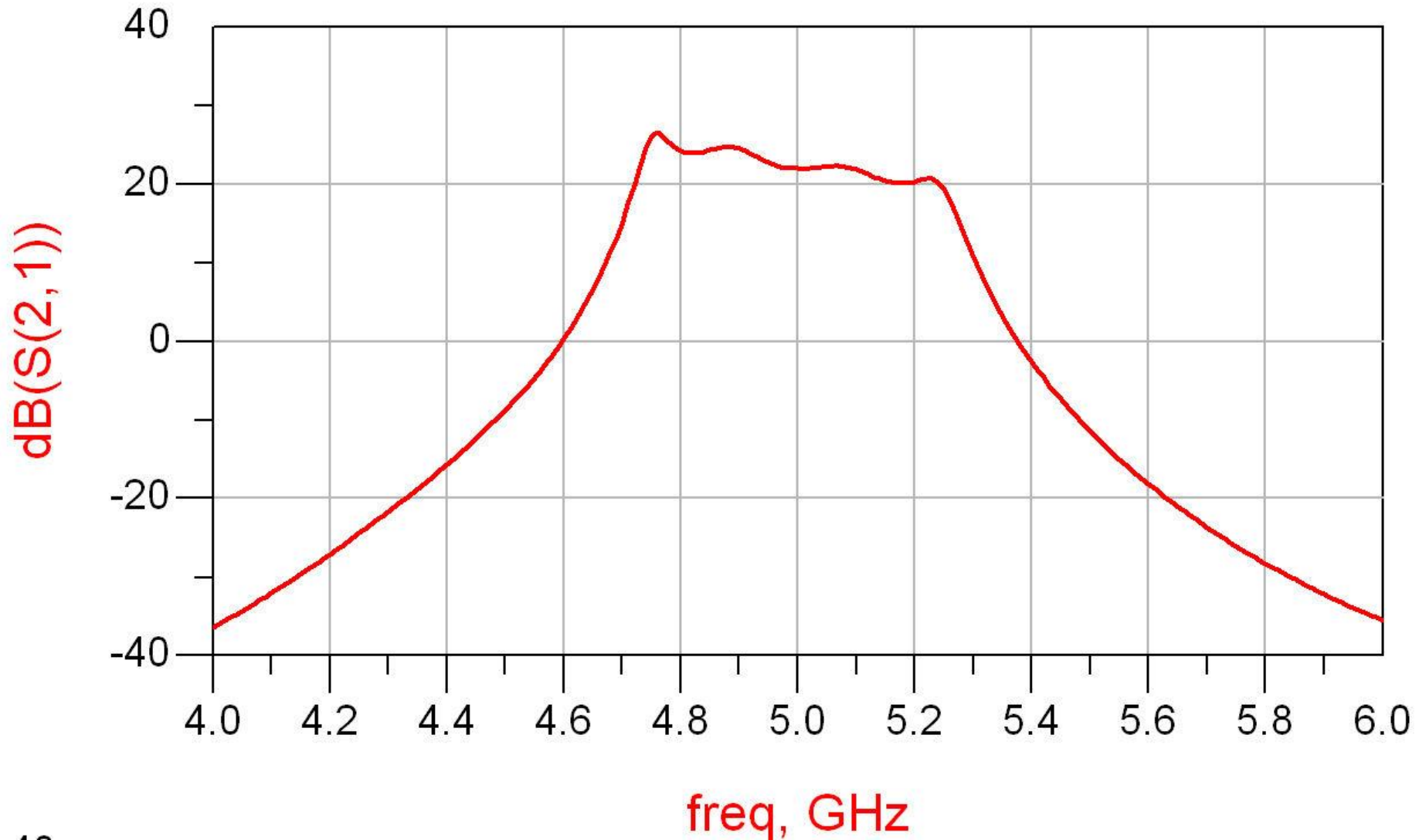
VOLTAGE FEEDBACK AND CONSTANT  
BASE CURRENT SOURCE

# Exemplu proiect

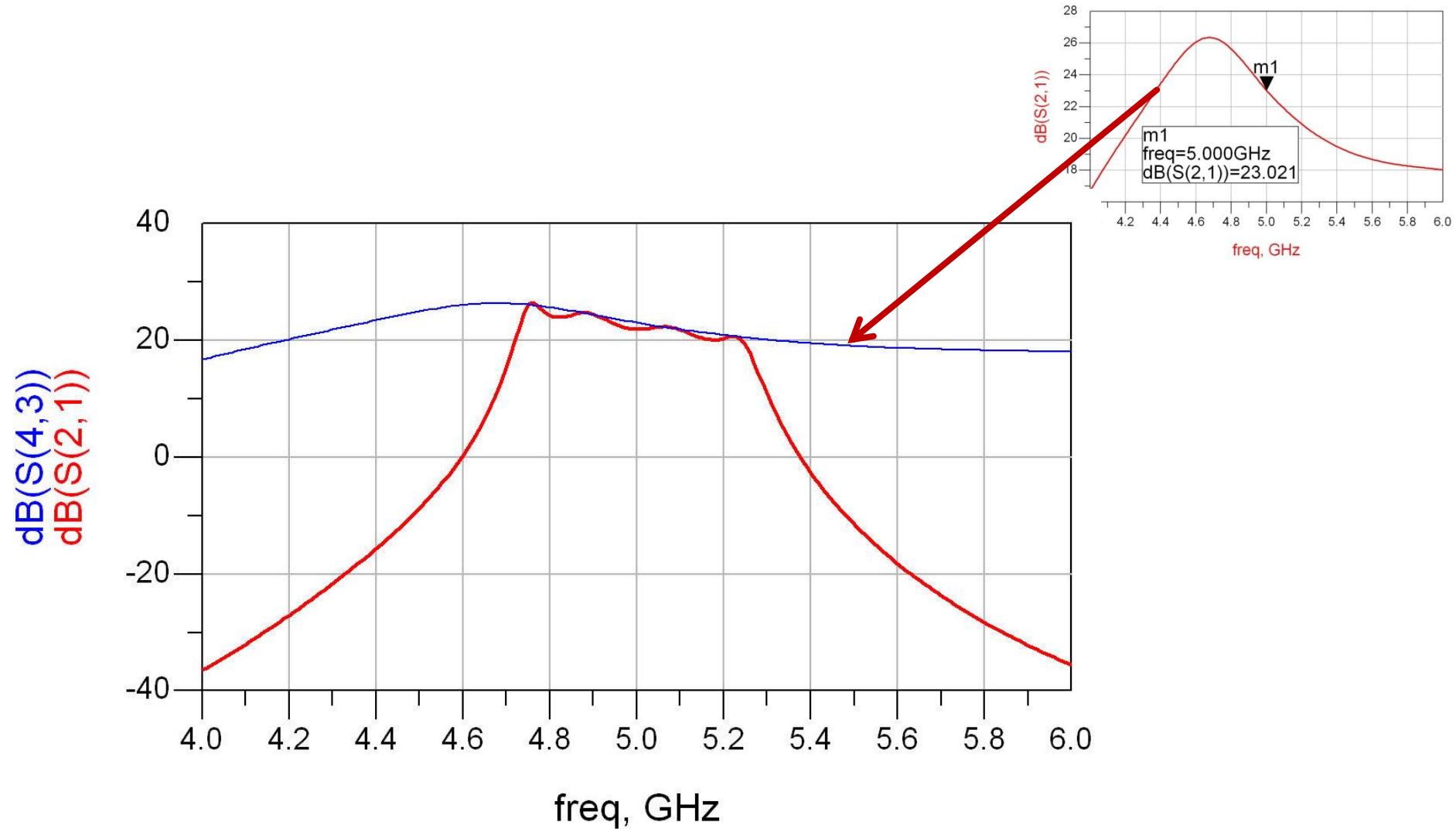
- Unirea celor două scheme
  - C<sub>12</sub> – amplificator
  - C<sub>13</sub> – filtru



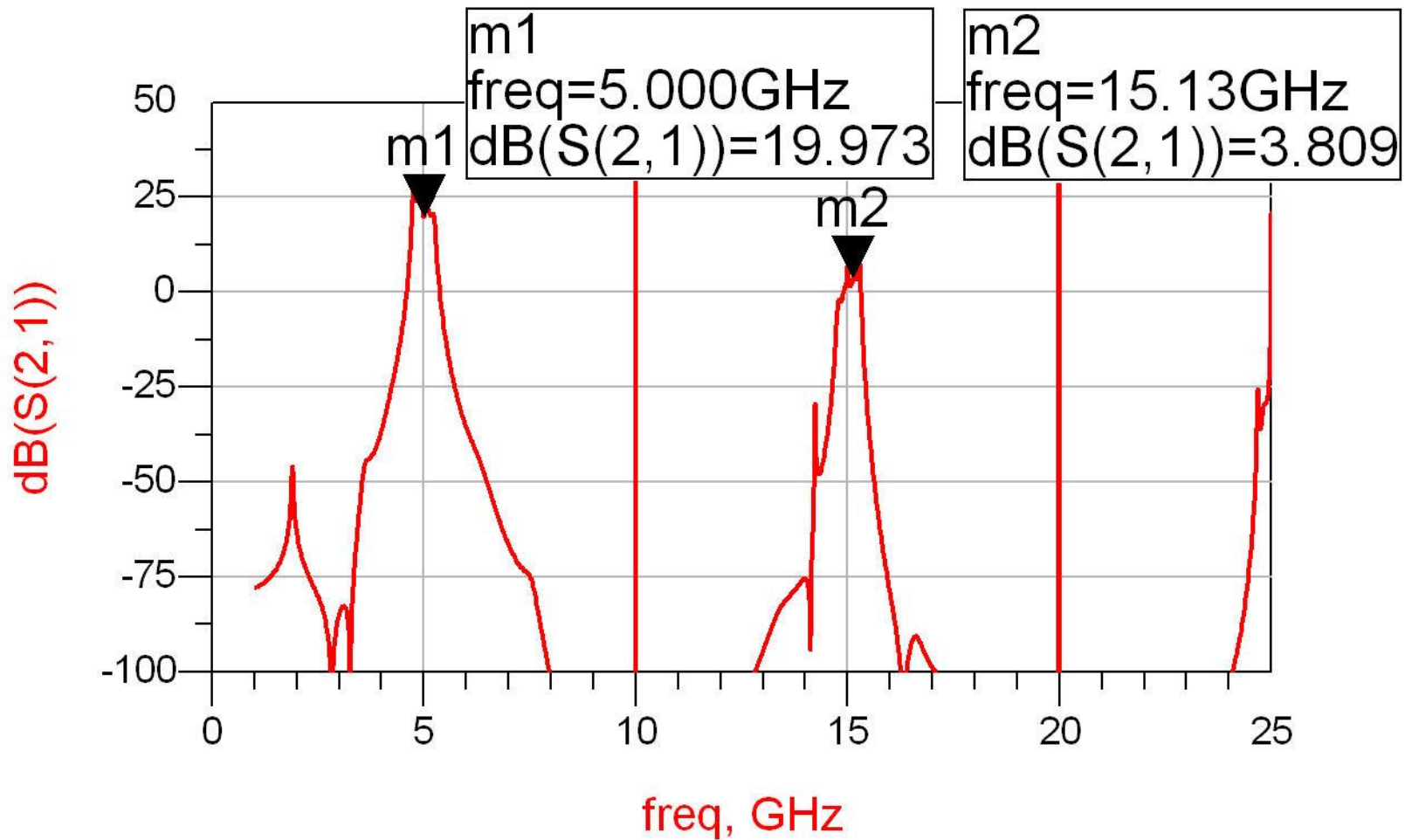
# Rezultat (dezechilibrat)



# Rezultat (dezechilibrat)

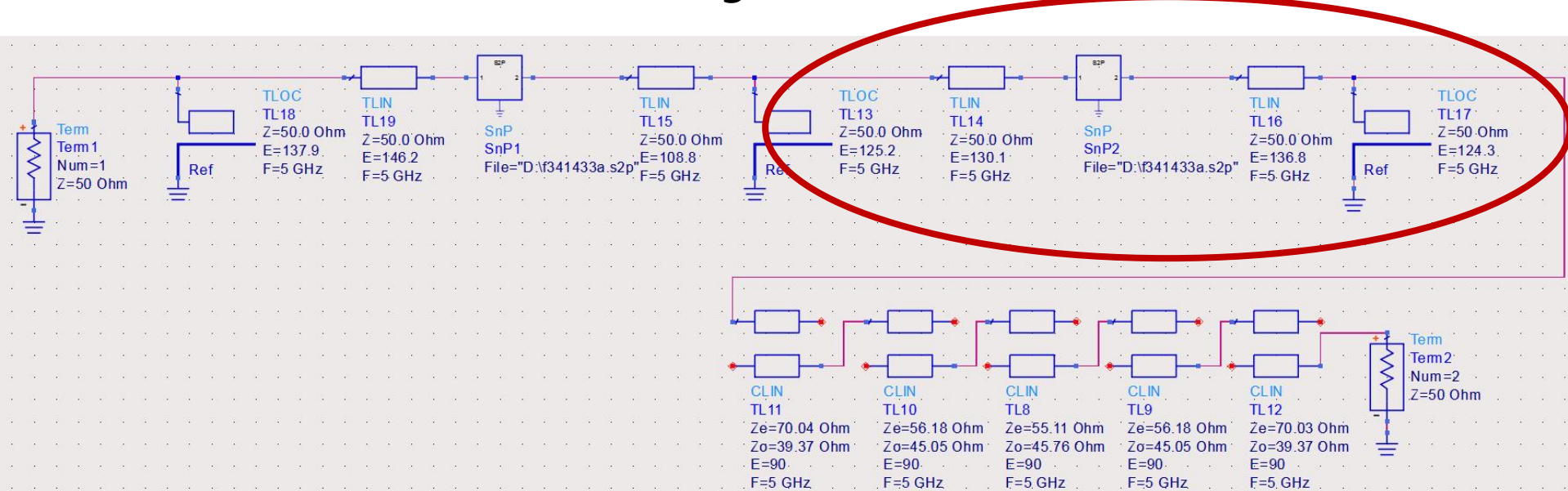


# Rezultat (periodic in frecventa)

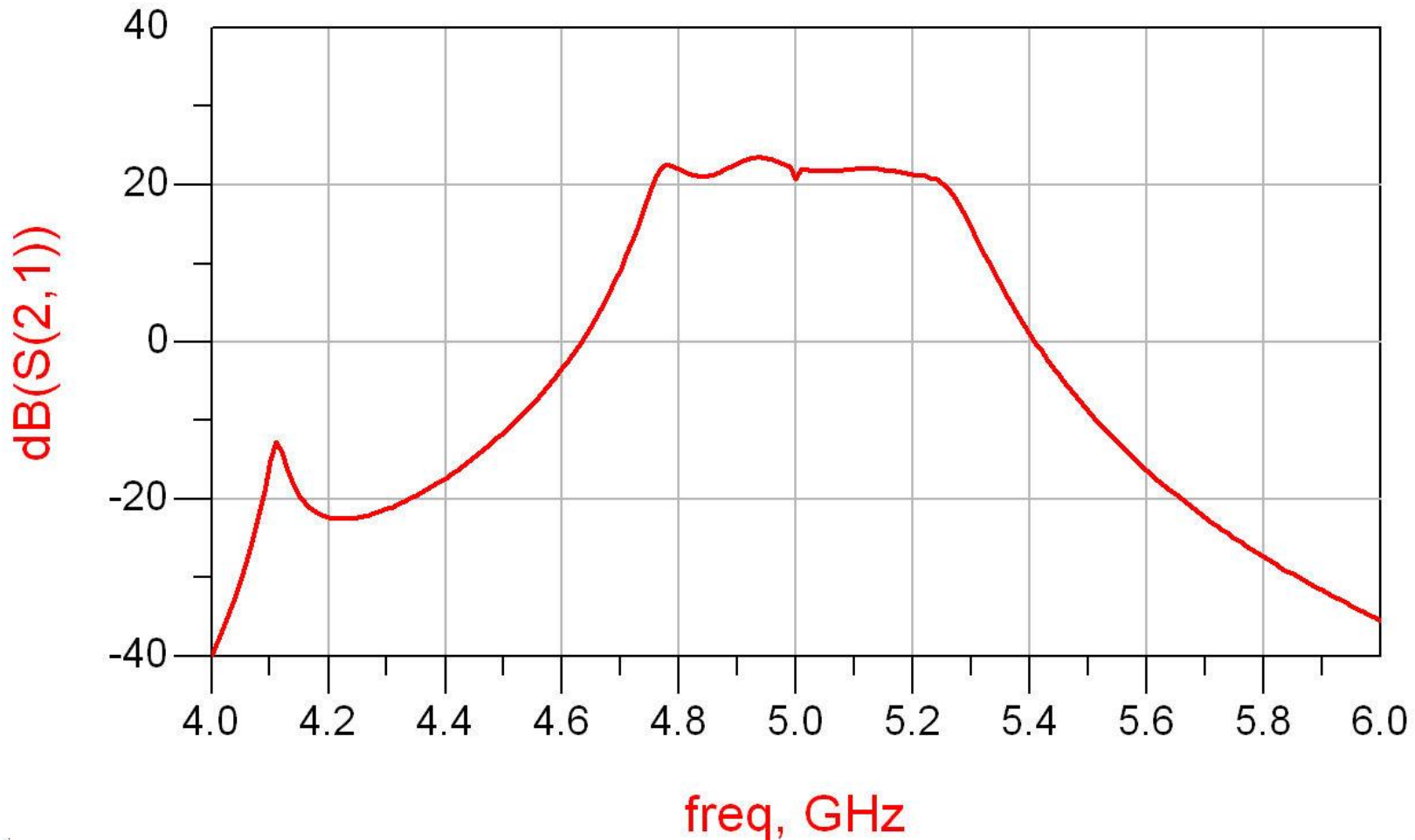


# Reglaj -> echilibrare

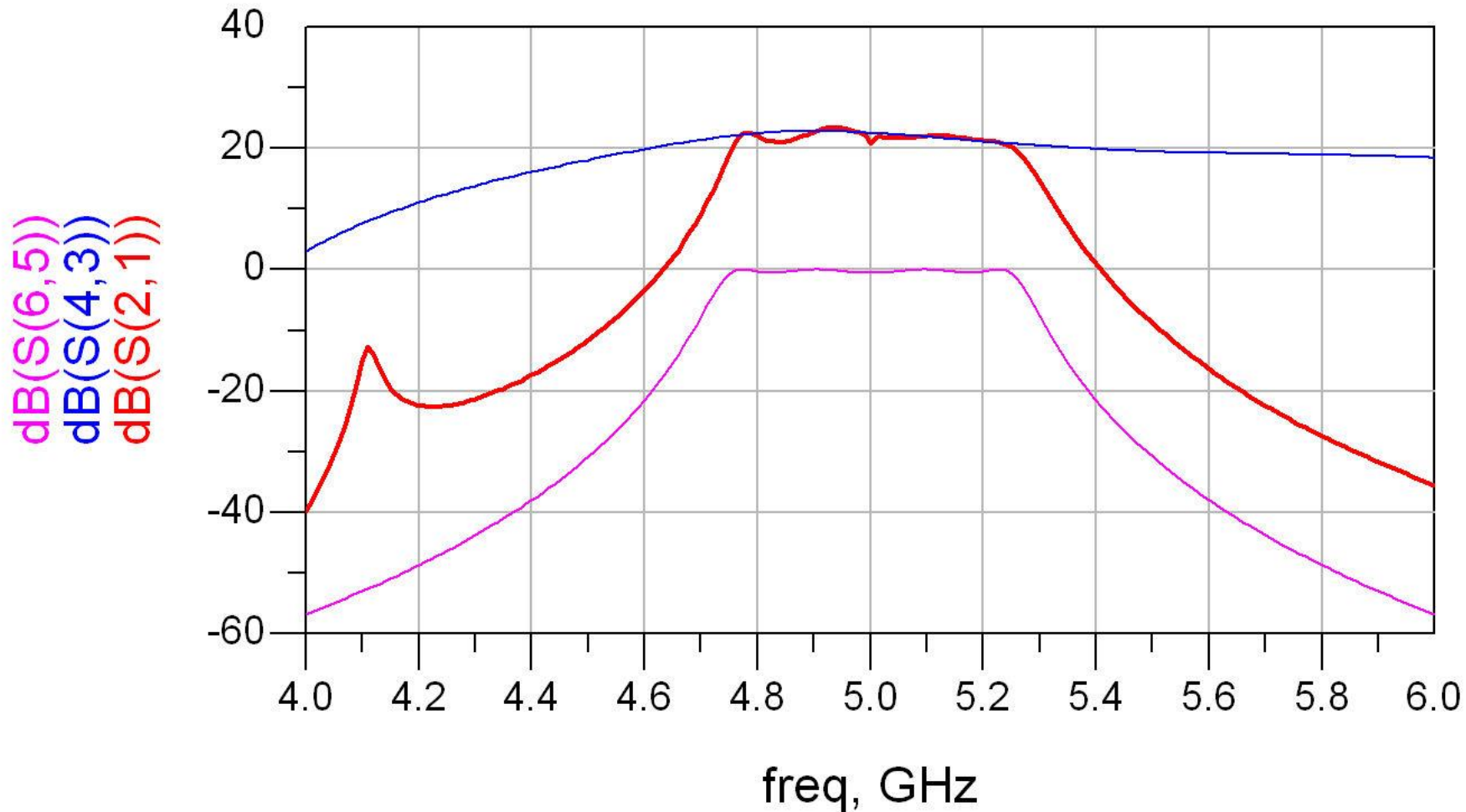
- scopul: echilibrarea caracteristicii amplificatorului (maxim la frecventa centrala)
  - se prefera reglarea lungimii liniilor de la iesirea amplificatorului
    - micsorarea afectarii zgomotului



# Reglaj -> echilibrate, efect



# Amplifier, Filtru, Total



# Implementare cu linii microstrip

- linii microstrip
  - strat dielectric
  - metalizare totala (plan de masa)
  - trasee care fixeaza
    - impedanta caracteristica
    - lungime fizica/electrica

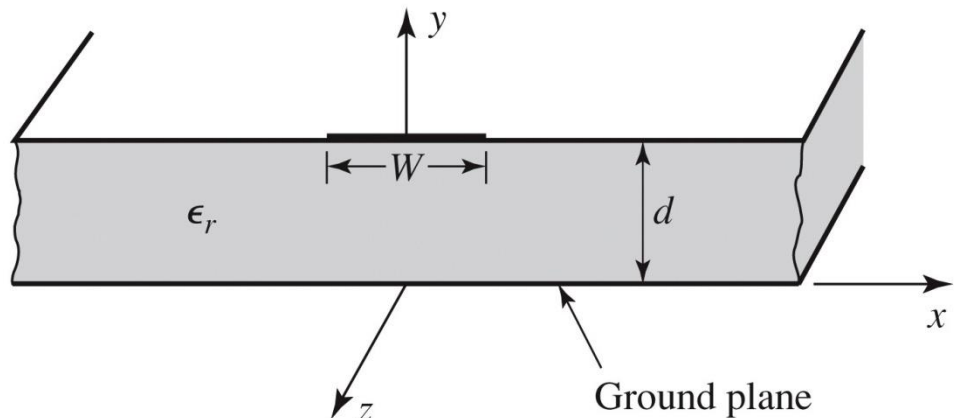


Figure 3.25a  
© John Wiley & Sons, Inc. All rights reserved.

# Implementare cu linii microstrip

- Linie quasi TEM

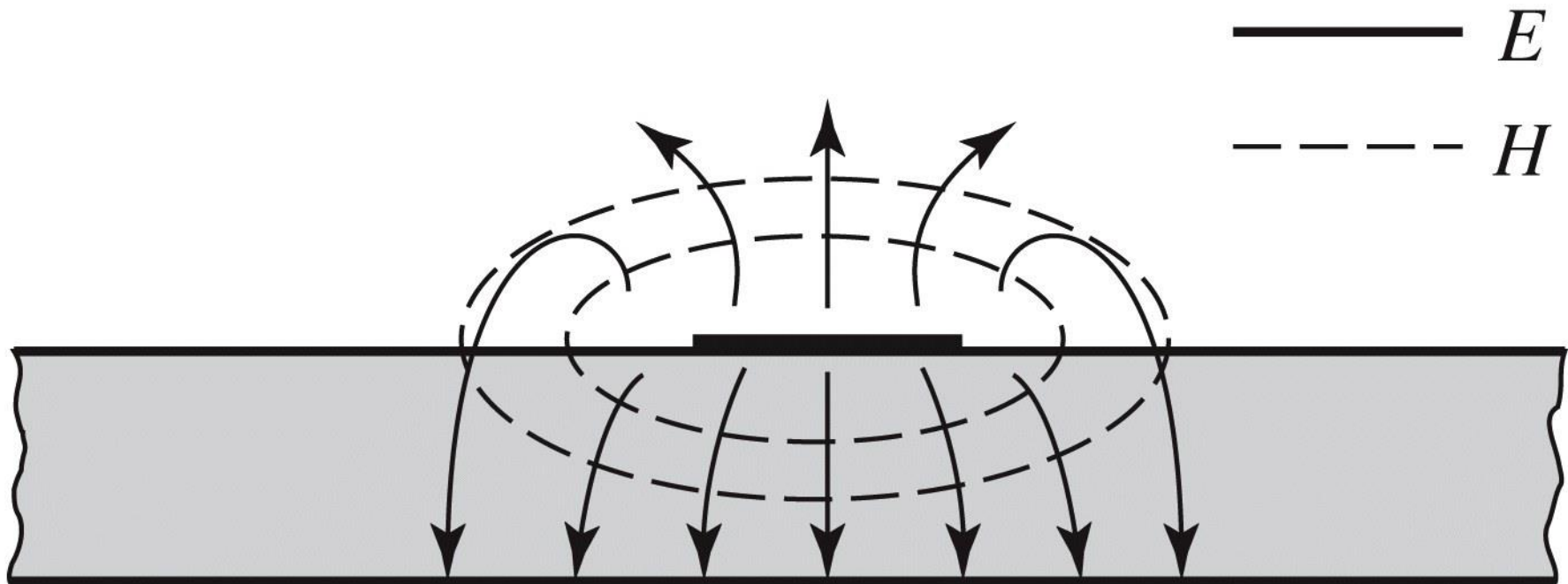
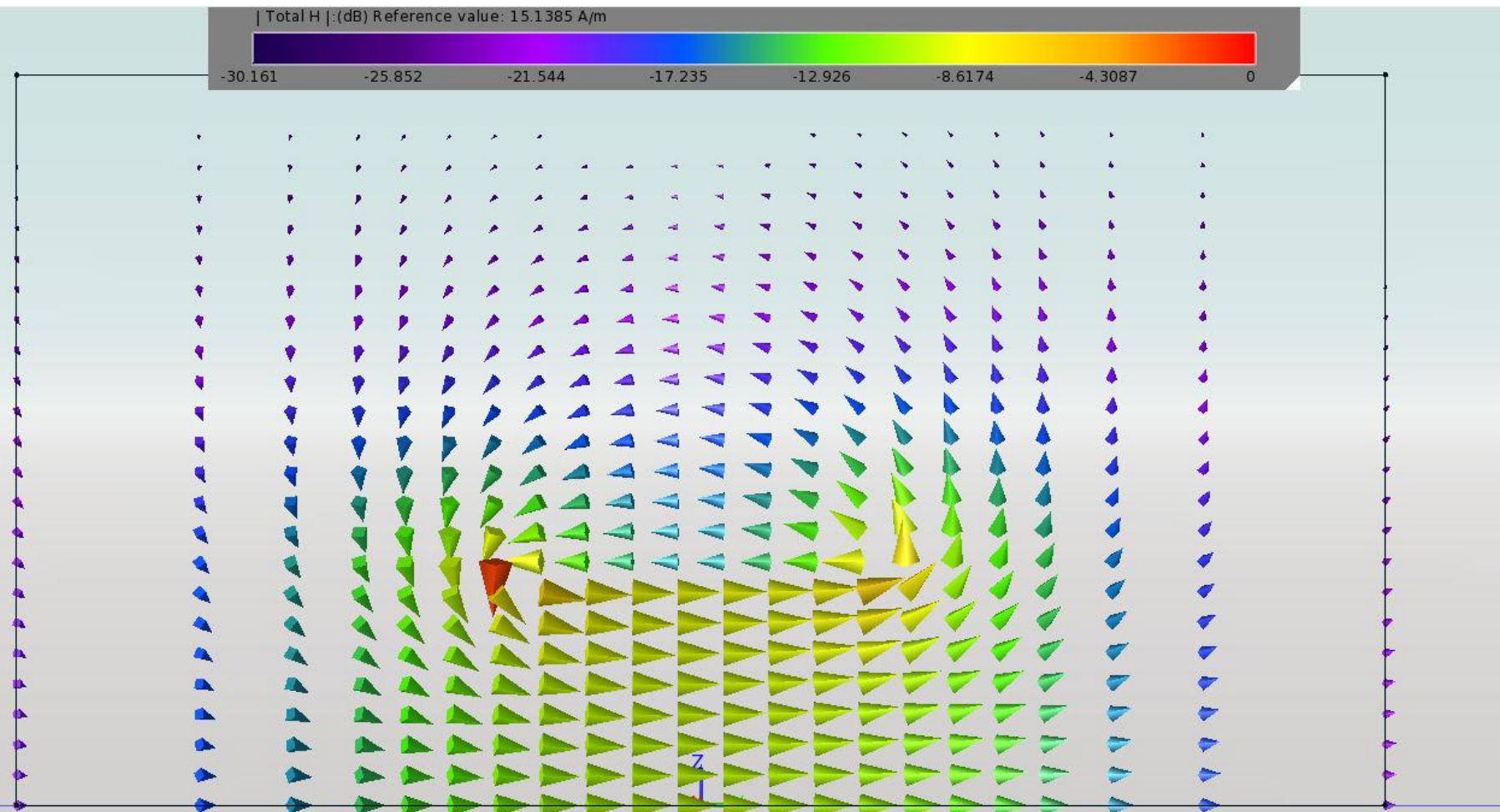


Figure 3.25b

© John Wiley & Sons, Inc. All rights reserved.

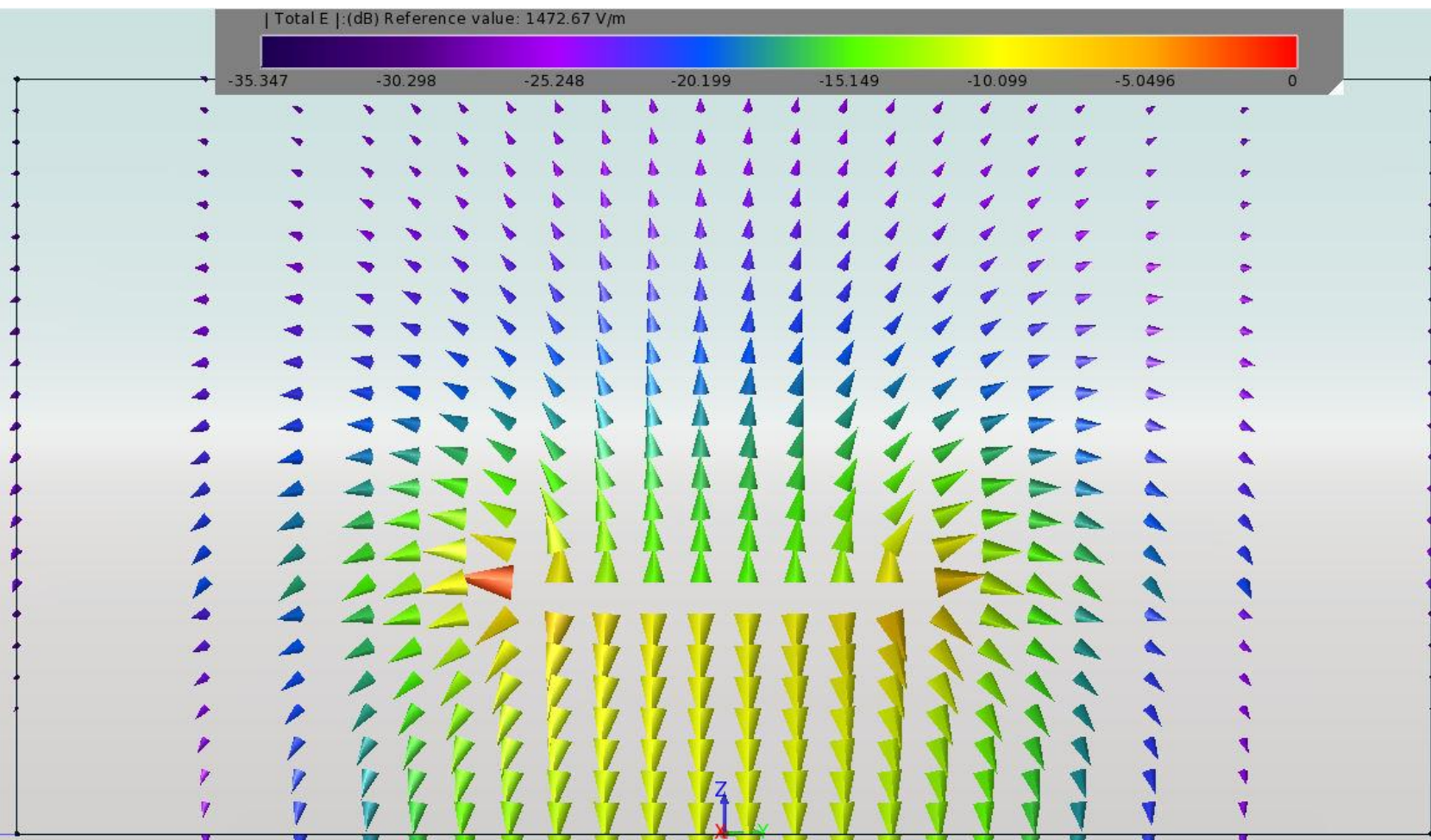
# Implementare cu linii microstrip

## ■ Linie quasi TEM, EmPro



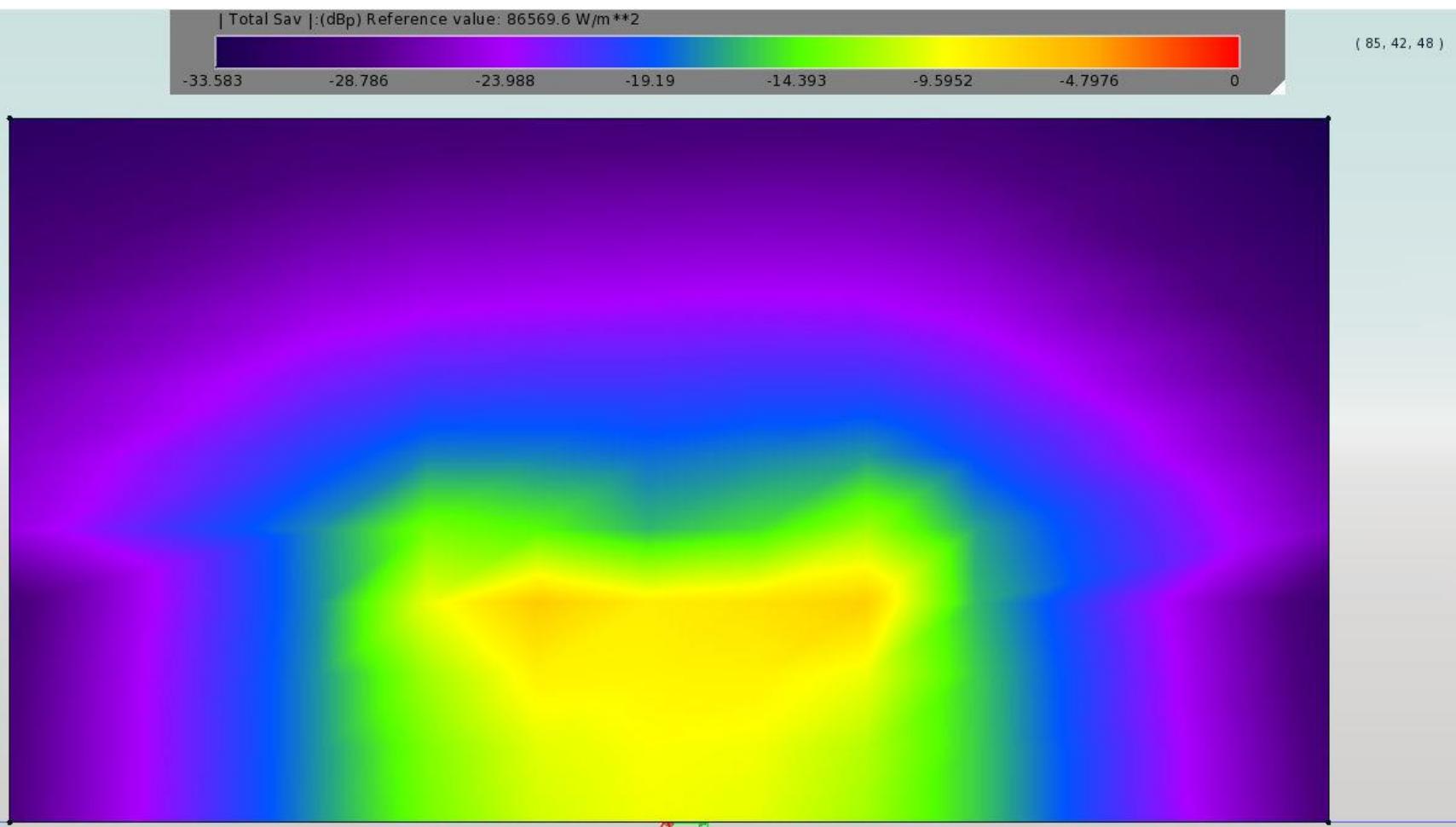
# Implementare cu linii microstrip

## ■ Linie quasi TEM, EmPro



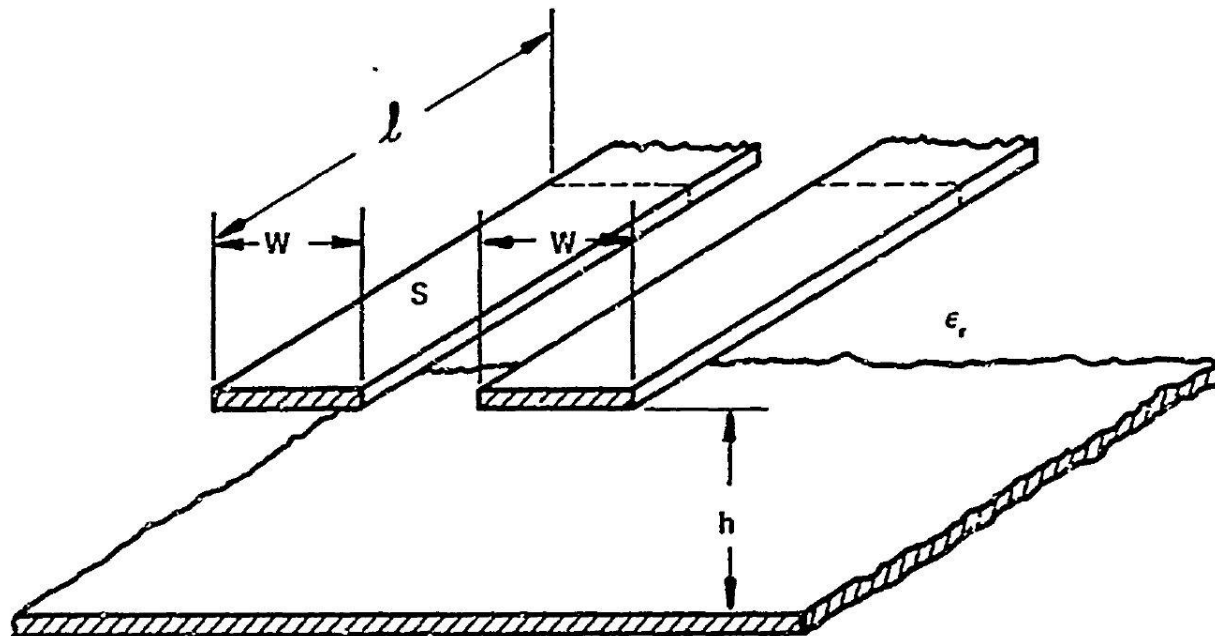
# Implementare cu linii microstrip

- Linie quasi TEM, EmPro



# Implementare cu linii microstrip

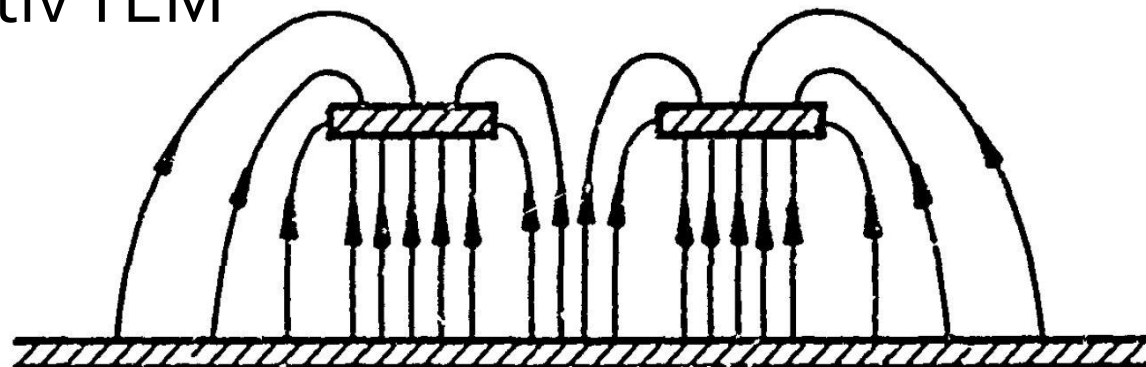
- ~ Aproximativ TEM



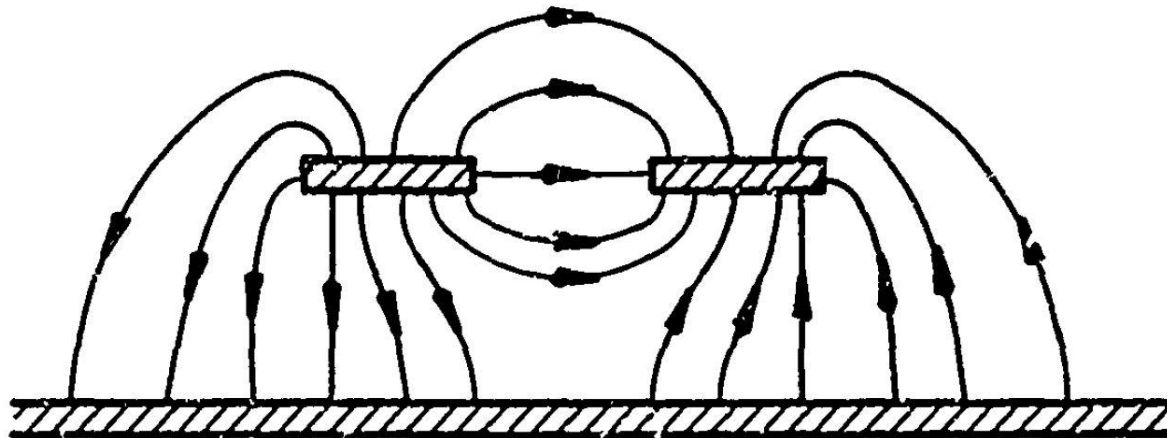
a) COUPLED STRIP GEOMETRY

# Implementare cu linii microstrip

- ~ Aproximativ TEM



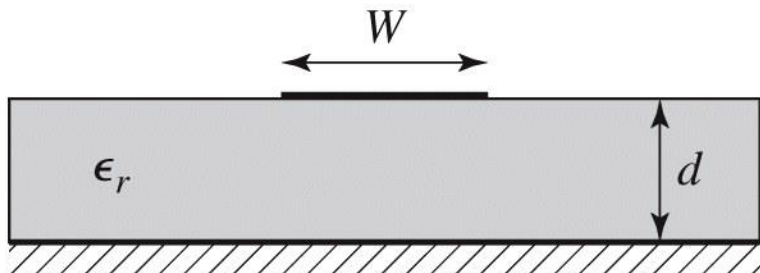
b) EVEN MODE ELECTRIC FIELD PATTERN (SCHEMATIC)



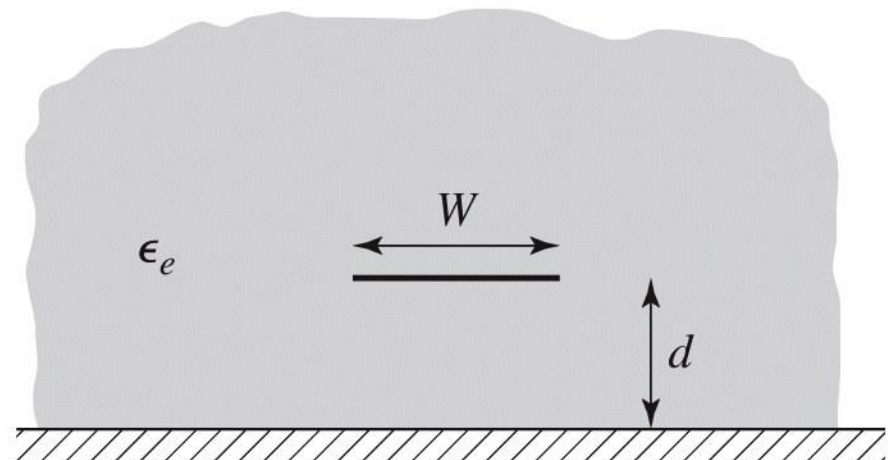
c) ODD MODE ELECTRIC FIELD PATTERN (SCHEMATIC)

# Implementare cu linii microstrip

- Se echivaleaza linia cu o linie cu dielectric omogen echivalent



(a)



(b)

# Calcul

## ■ Calcul empiric

$$v_p = \frac{c}{\sqrt{\epsilon_e}},$$

$$\beta = k_0 \sqrt{\epsilon_e},$$

$$\epsilon_e = \frac{\epsilon_r + 1}{2} + \frac{\epsilon_r - 1}{2} \frac{1}{\sqrt{1 + 12d/W}}.$$

$$Z_0 = \begin{cases} \frac{60}{\sqrt{\epsilon_e}} \ln \left( \frac{8d}{W} + \frac{W}{4d} \right) & \text{for } W/d \leq 1 \\ \frac{120\pi}{\sqrt{\epsilon_e} [W/d + 1.393 + 0.667 \ln(W/d + 1.444)]} & \text{for } W/d \geq 1. \end{cases}$$

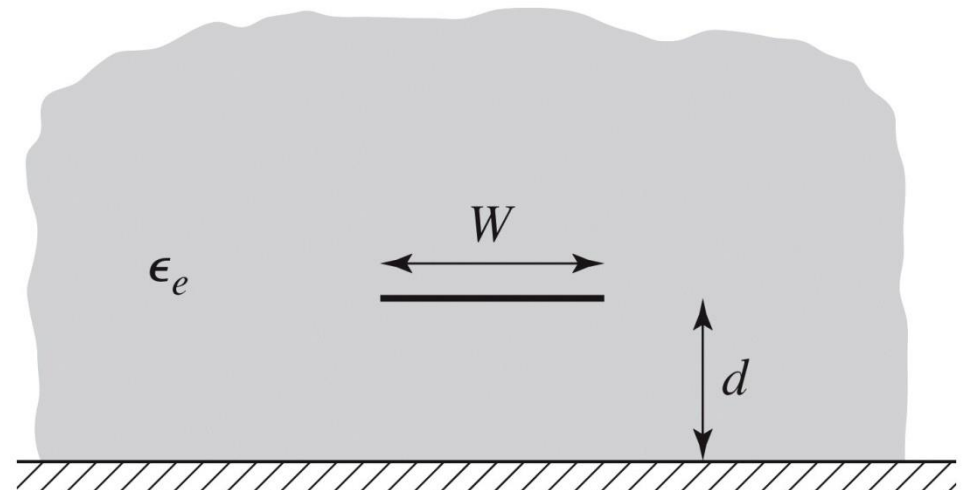


Figure 3.26b  
© John Wiley & Sons, Inc. All rights reserved.

# Calcul

## ■ Calcul empiric

$$A = \frac{Z_0}{60} \sqrt{\frac{\epsilon_r + 1}{2}} + \frac{\epsilon_r - 1}{\epsilon_r + 1} \left( 0.23 + \frac{0.11}{\epsilon_r} \right)$$

$$B = \frac{377\pi}{2Z_0\sqrt{\epsilon_r}}.$$

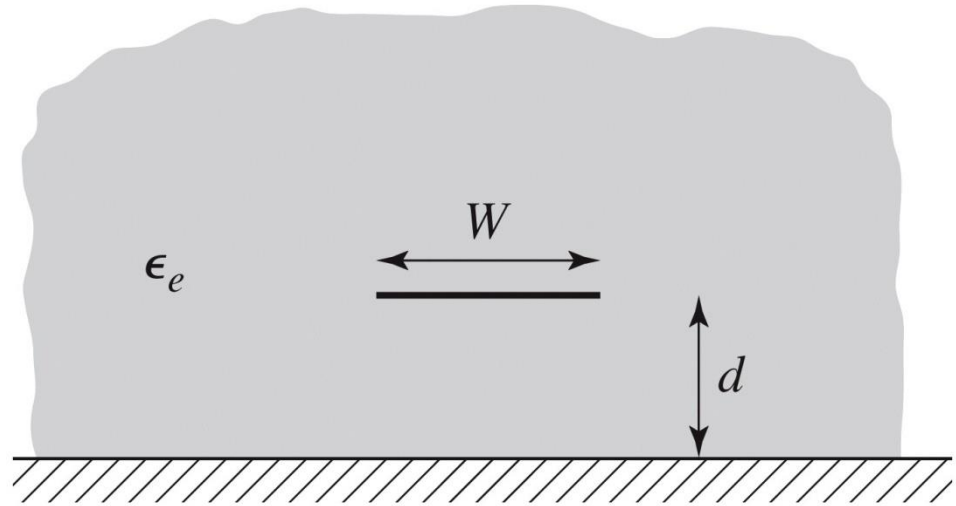
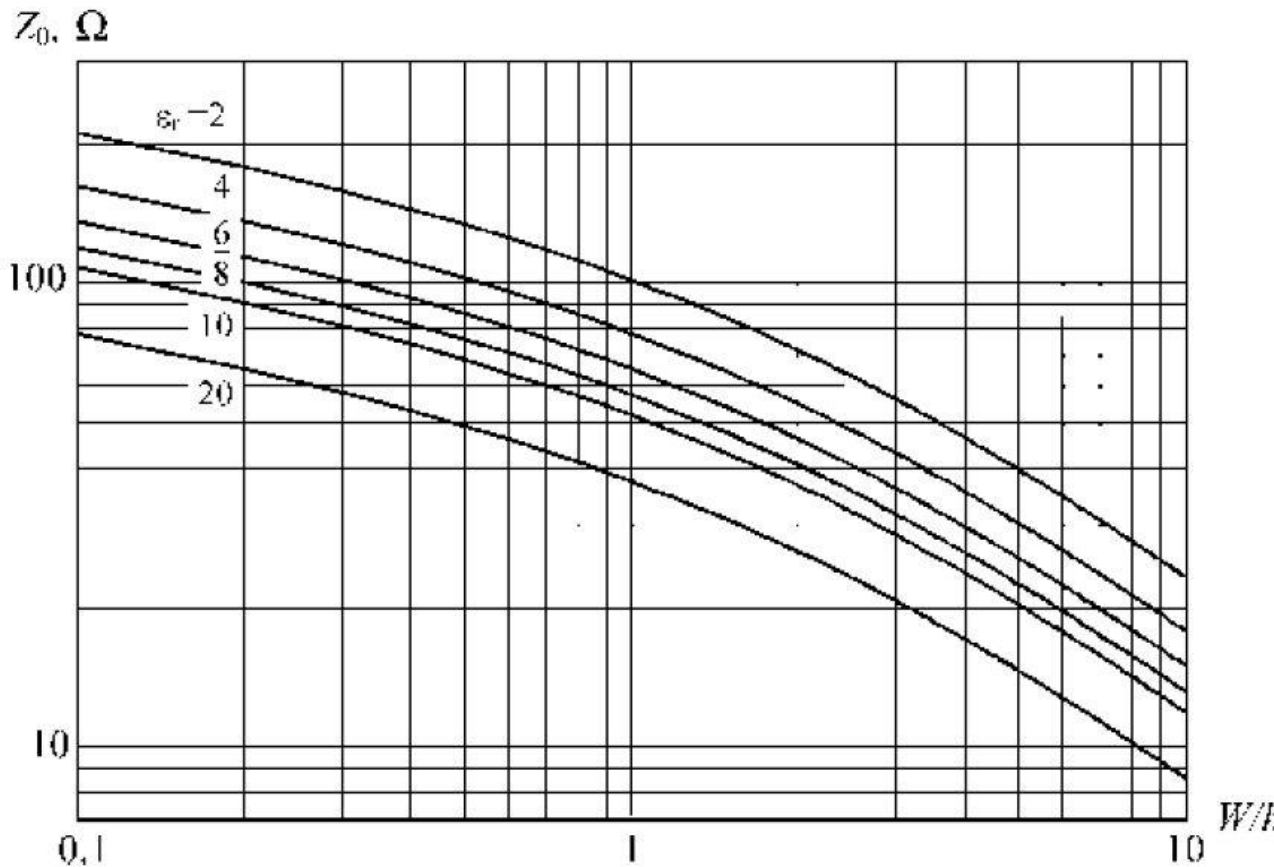


Figure 3.26b  
© John Wiley & Sons, Inc. All rights reserved.

$$\frac{W}{d} = \begin{cases} \frac{8e^A}{e^{2A} - 2} & \text{for } W/d < 2 \\ \frac{2}{\pi} \left[ B - 1 - \ln(2B - 1) + \frac{\epsilon_r - 1}{2\epsilon_r} \left\{ \ln(B - 1) + 0.39 - \frac{0.61}{\epsilon_r} \right\} \right] & \text{for } W/d > 2, \end{cases}$$

# Impedanta caracteristica

- Pentru **impedante mari** e nevoie de **latimi mici** ale traseelor
- Pentru **impedante mici** e nevoie de **latimi mari** ale traseelor



$$k_0 = \frac{2\pi f}{c}$$

$$\beta\ell = \sqrt{\epsilon_e} k_0 \ell,$$

# Microstrip standardizare

- Standardizare
  - dimensiuni in **mil**
  - $1 \text{ mil} = 10^{-3} \text{ inch}$
  - $1 \text{ inch} = 2.54 \text{ cm}$
- Înălțimea conductoarelor
  - în funcție de greutatea cuprului
  - uncii / picioare pătrate ( $\text{oz}/\text{ft}^2$ )
  - $1\text{oz}=28.35\text{g}$  și  $1\text{ft}=30.48\text{cm}$

Greutatea cuprului depus		Grosimea stratului	
oz/ $\text{ft}^2$	g/ $\text{ft}^2$	inch	mm
0.5	14.175	0.0007	0.0178
1.0	28.35	0.0014	0.0356
2.0	56.7	0.0028	0.0712

# Microstrip standardizare

- Tipic inaltimea straturilor de dielectric de asemenea standardizat in mil

## Standard Thickness

### **RO4003C:**

0.008" (0.203mm), 0.012 (0.305mm), 0.016" (0.406mm),  
0.020" (0.508mm)  
0.032" (0.813mm), 0.060" (1.524mm)

### **RO4350B:**

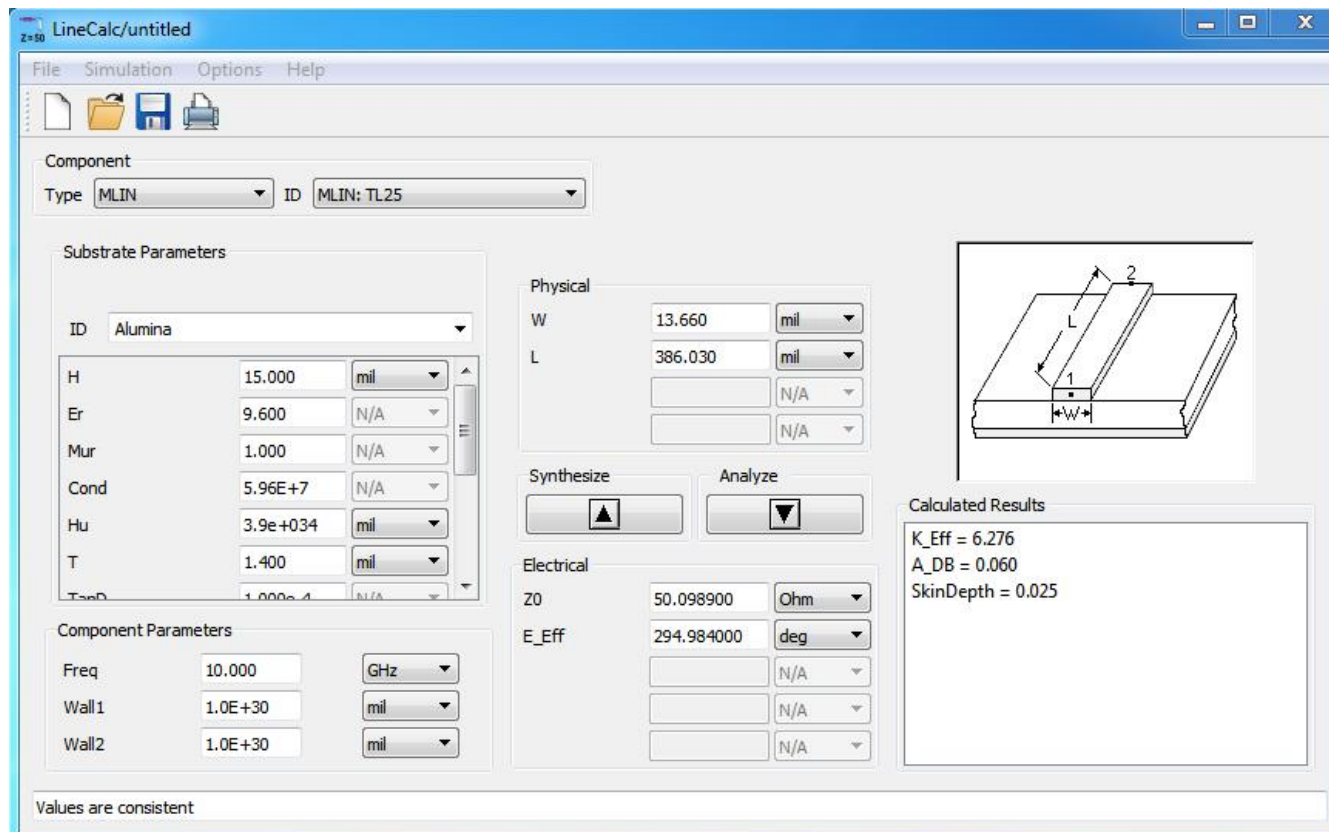
\*0.004" (0.101mm), 0.0066" (0.168mm) 0.010" (0.254mm),  
0.0133 (0.338mm), 0.0166 (0.422mm), 0.020" (0.508mm)  
0.030" (0.762mm), 0.060" (1.524mm)

# Microstrip, materiale substrat

	Constanta dielectrică relativă	Factorul de pierderi dielectrice	Conductivitate termică	Coeficient liniar de expansiune	Coeficient de temperatură a lui $\epsilon_r$
Material	-	-	W/cm/K	ppm/K	ppm/K
$\text{Al}_2\text{O}_3$ (99.5%)	9.8	0.0001	0.37	6.3	+136
$\text{Al}_2\text{O}_3$ (96%)	9.4	0.001	0.35	6.4	-
Safir	9.4;11.6	0.0001	0.42	6.0	+110-+140
Sticlă quarț	3.78	0.0001	0.017	0.55	+13
Sticlă Corning 7059	5.75	0.0036	0.012	4.6	-
BeO Ceramic (98%)	6.3	0.006	2.1	6.1	+107
$\text{TiO}_2$	85	0.004	0.05	7.5	-575
Tetratitanat de Ba ( $\text{BaTi}_4\text{O}_9$ )	37	0.0005	0.02	9.4	-26
Zirconat	20-40	0.002	-	5.0	-130-+100
GaAs	12.9	0.002	0.46	5.7	-
Si	11.9	0.015	1.45	4.2	-
Ferită	9-16	0.001	-	-	-

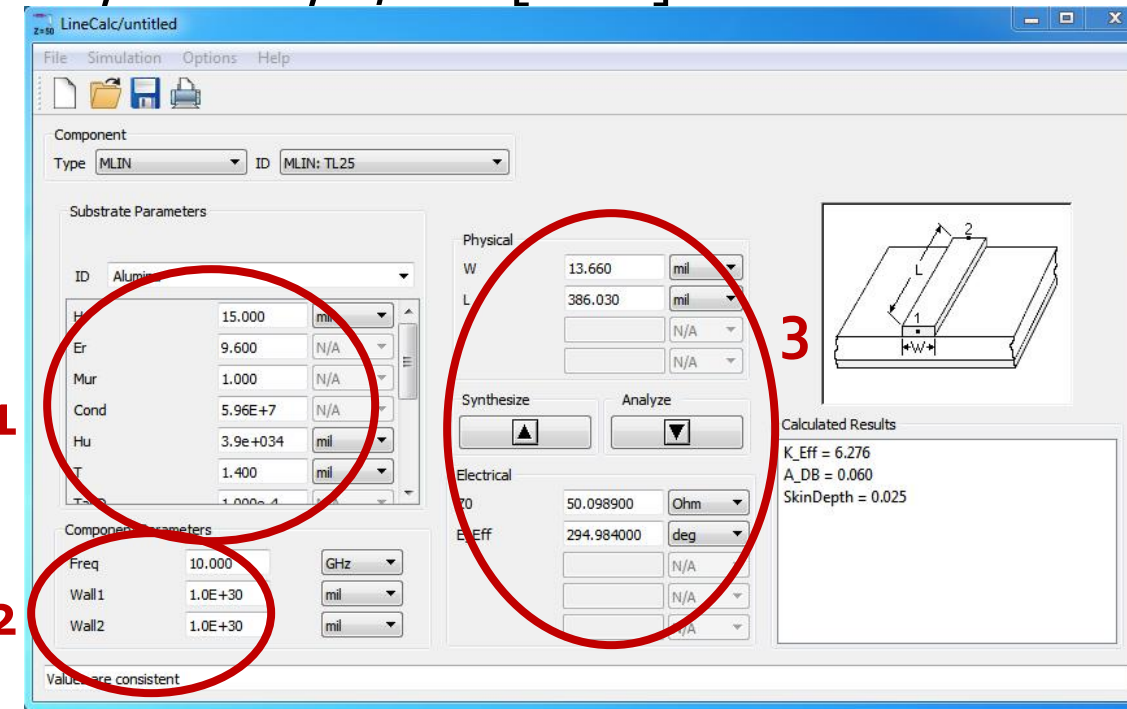
# ADS linecalc

- In scheme:
  - >Tools>LineCalc>Start
  - Pentru linii Microstrip >Tools>LineCalc>Send to Linecalc



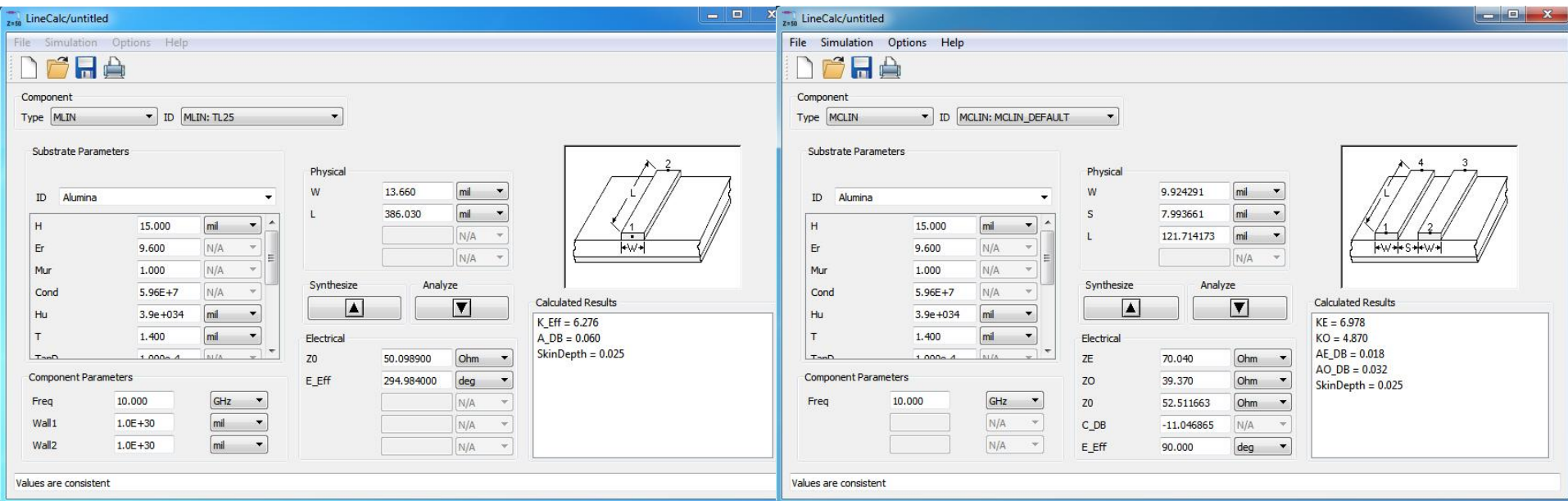
# ADS linecalc

- 1. Definire (recepție din schema) substrat
- 2. Introducere frecvență
- 3. Introducere date de intrare
  - Analiza:  $W, L \rightarrow Z_0, E$  sau  $Z_0, E \rightarrow W, L$  la  $f$  [GHz]
  - Sinteză:  $Z_0, E \rightarrow W, L$  / la  $f$  [GHz]



# ADS linecalc

- Se poate utiliza pentru:
  - linii microstrip MLIN:  $W, L \Leftrightarrow Z_0, E$
  - linii cuplate microstrip MCLIN:  $W, L \Leftrightarrow Z_e, Z_0, E$



# ADS linecalc

LineCalc/untitled

File Simulation Options Help

Component

Type: MCLIN ID: MCLIN: MCLIN\_DEFAULT

Substrate Parameters

ID	Alumina
H	15.000 mil
Er	9.600 N/A
Mur	1.000 N/A
Cond	5.96E+7 N/A
Hu	3.9e+034 mil
T	1.400 mil
TanD	1.000e-4 N/A

Physical

W	9.924291 mil
S	7.993661 mil
L	121.714173 mil
	N/A

Synthesize Analyze

Calculated Results

KE	= 6.978
KO	= 4.870
AE_DB	= 0.018
AO_DB	= 0.032
SkinDepth	= 0.025

Component Parameters

Freq	10.000 GHz
	N/A
	N/A

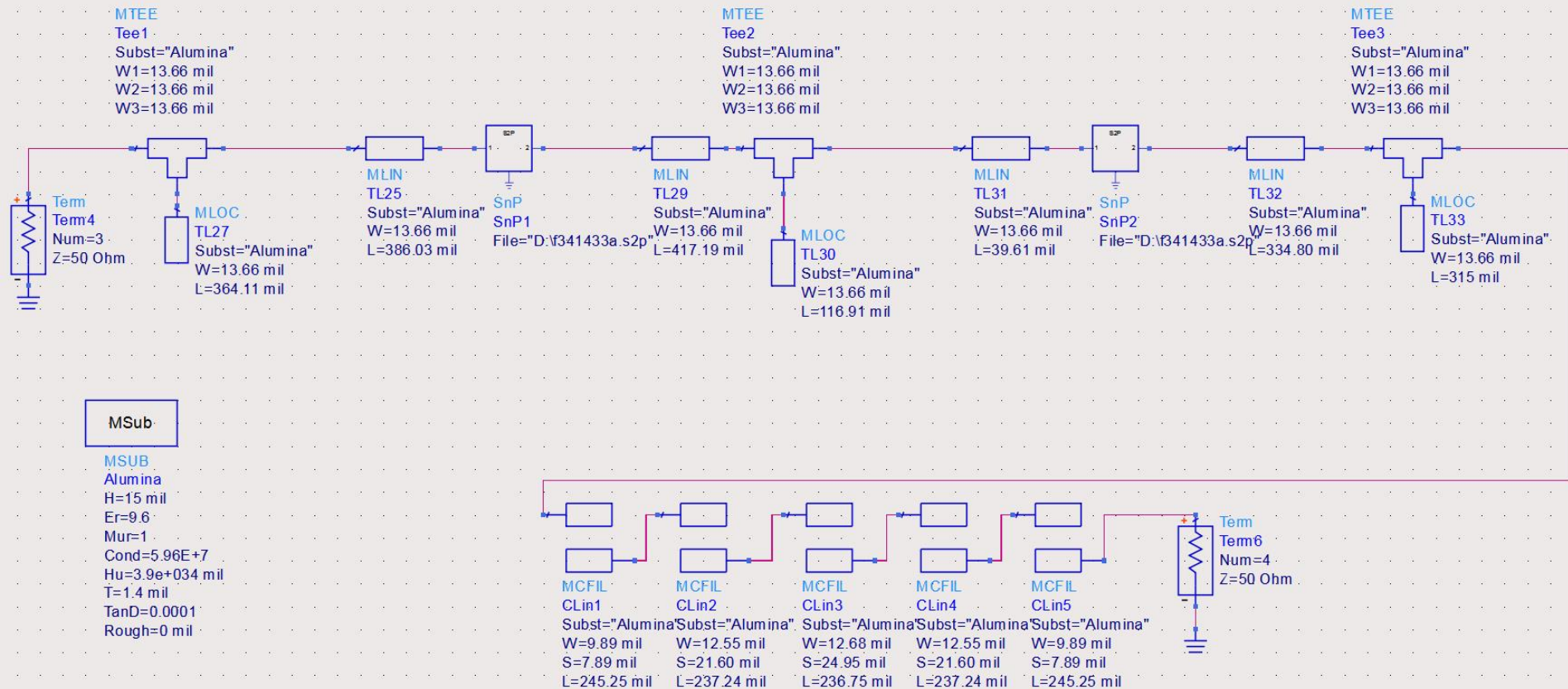
Diagram:

Values are consistent

# Linii de transmisie

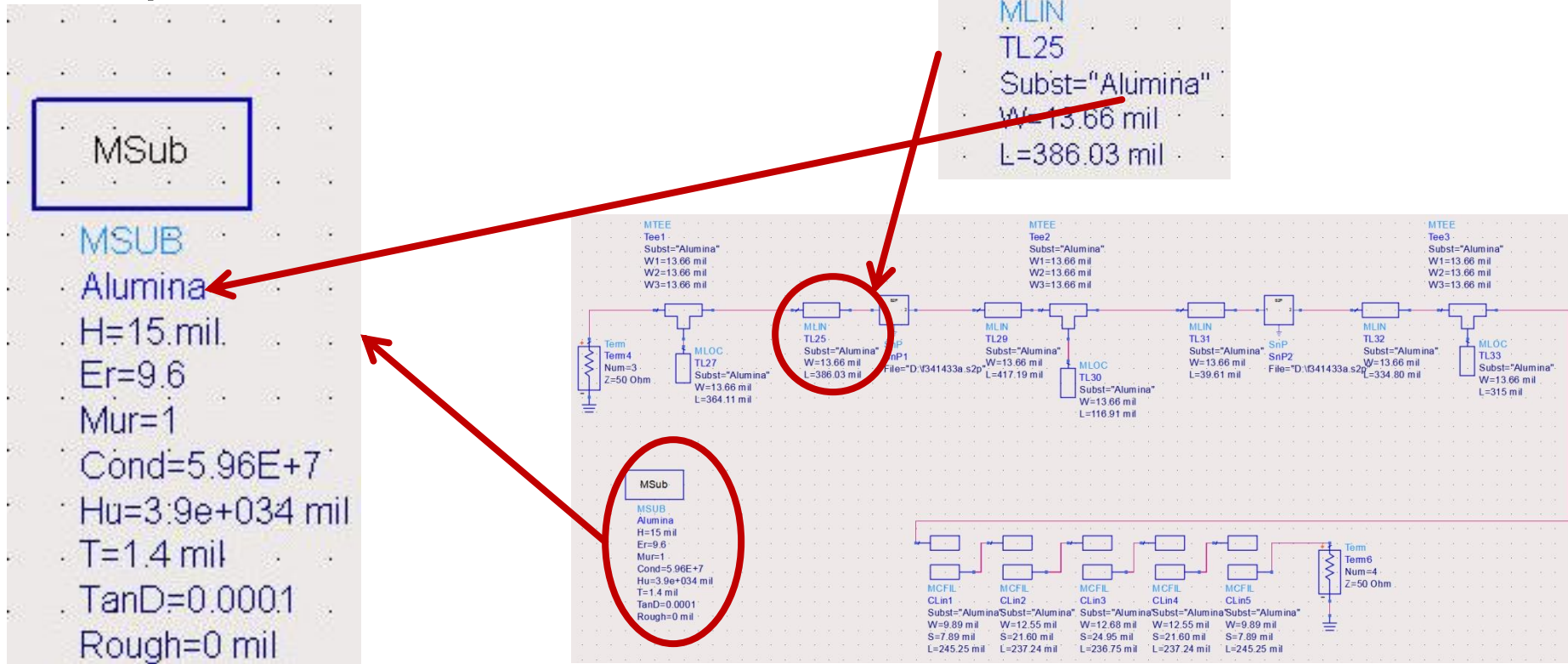
- <http://rf-opto.eti.tuiasi.ro>
- linii de transmisie Rogers
  - relatii dependente de
    - $t$ , inaltimea metalizarilor
    - $f$ , frecventa
  - relatii pentru
    - microstrip
    - strip
    - linii cuplate

# Implementare cu linii microstrip



# Implementare cu linii microstrip

- Se introduce modelul de substrat
  - Liniile/liniile cuplate se calculeaza cu Linecalc pentru acelasi substrat

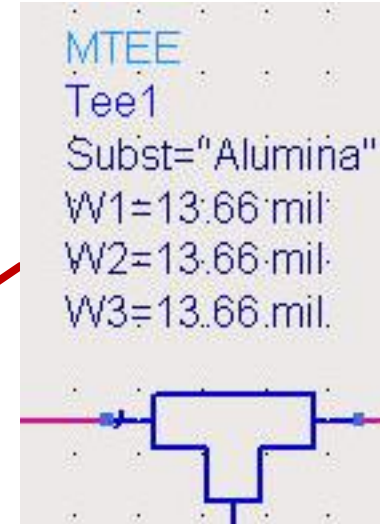
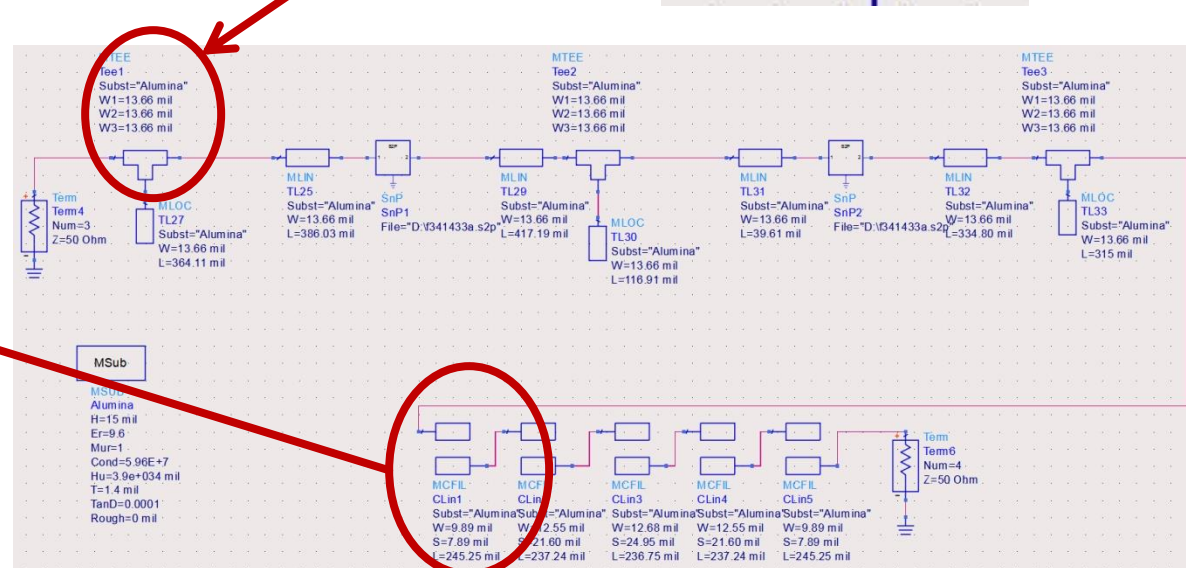


# Implementare cu linii microstrip

- Se folosesc componente din paleta Transmission Lines – Microstrip
  - MSUB - substrat
  - MLIN – linie serie
  - MLOC – stub paralel in gol
  - MTEE – modelare conexiune cu stub in paralel
  - MCFIL – sectiune de filtru cu linii cuplate  
(alternativa mai precisa decat MCLIN – se tine cont de faptul ca doua sectiuni succesive sunt in fizic alaturate)

# Implementare cu linii microstrip

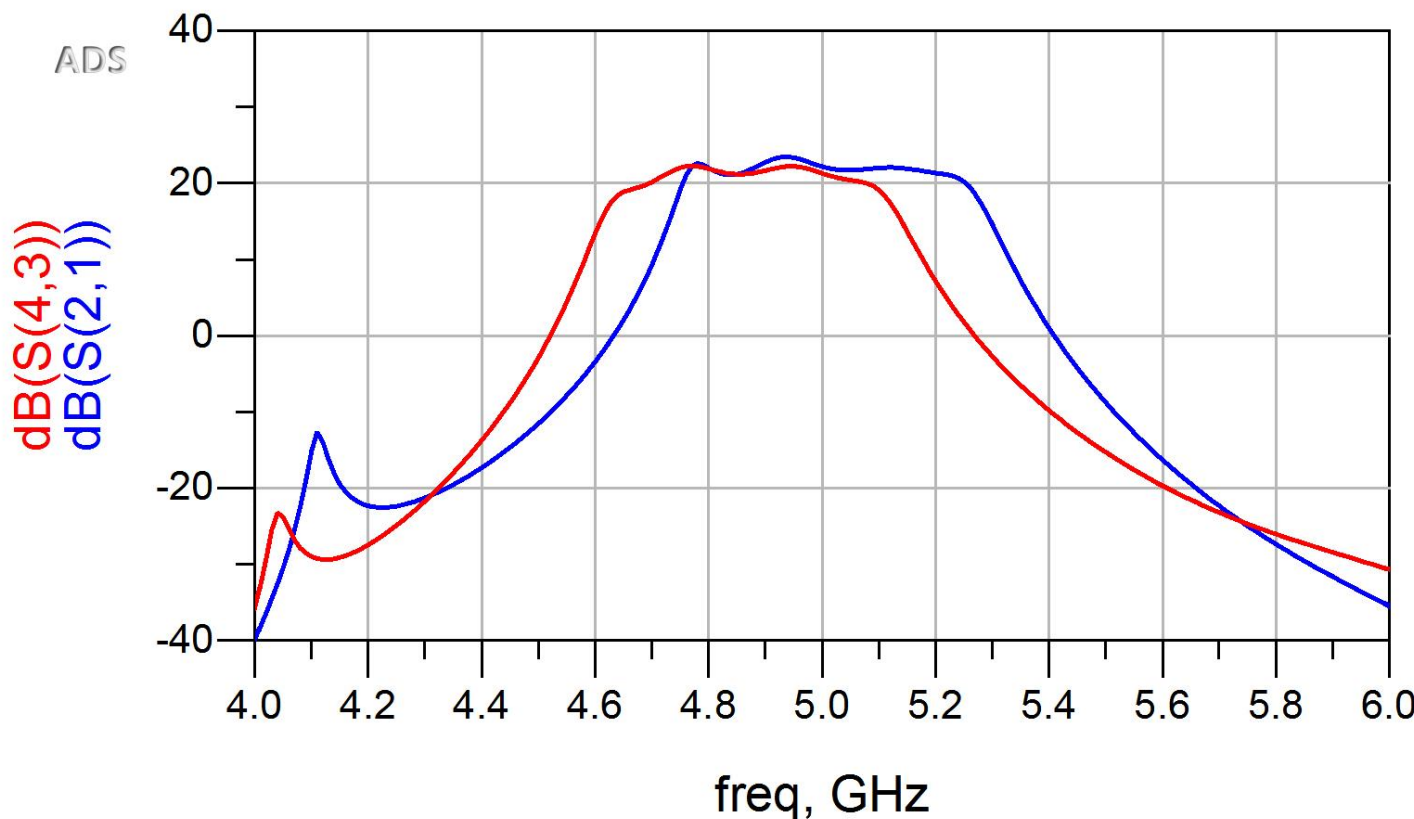
- E necesara atentie la completarea parametrilor pentru MTEE si MCFIL prin verificarea in schema a latimii liniilor conectate la fiecare terminal



# Implementare cu linii microstrip

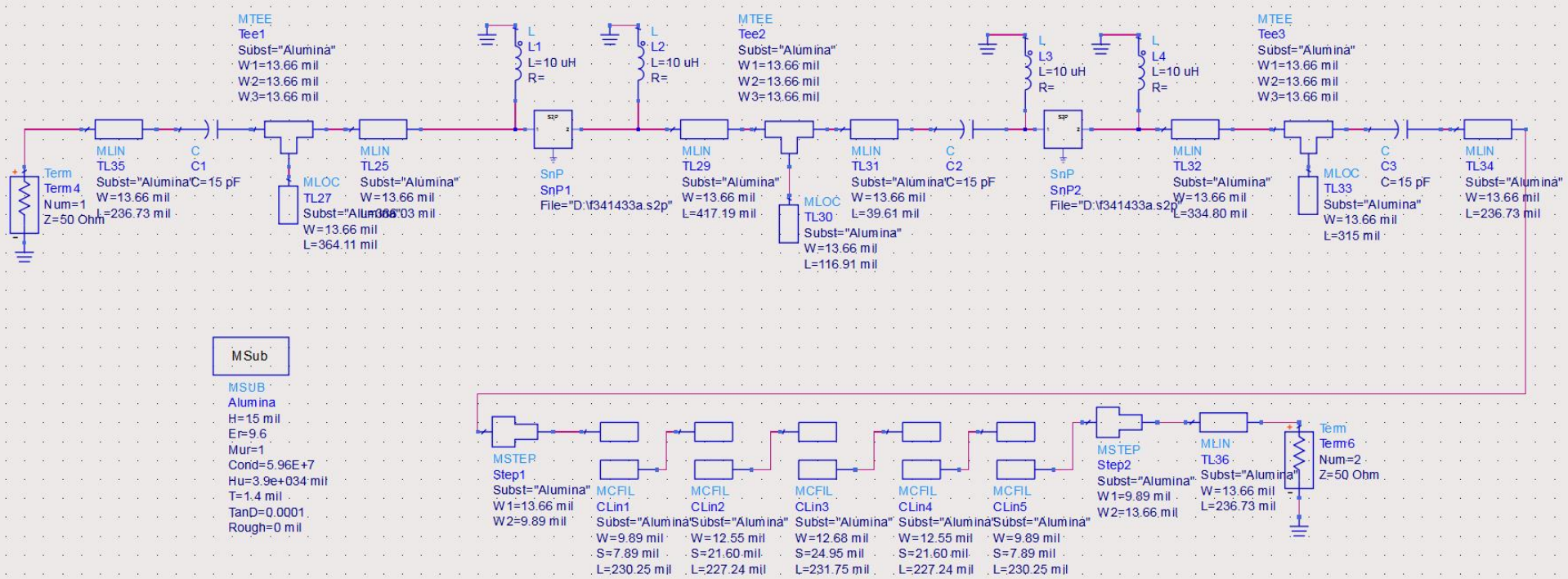
## Rezultat

- Se constata o deplasare a benzii obtinute (albastru) spre frecvente mai mici fata de modelele ideale (rosu)
  - datorat diferenței MCFIL / MCLIN

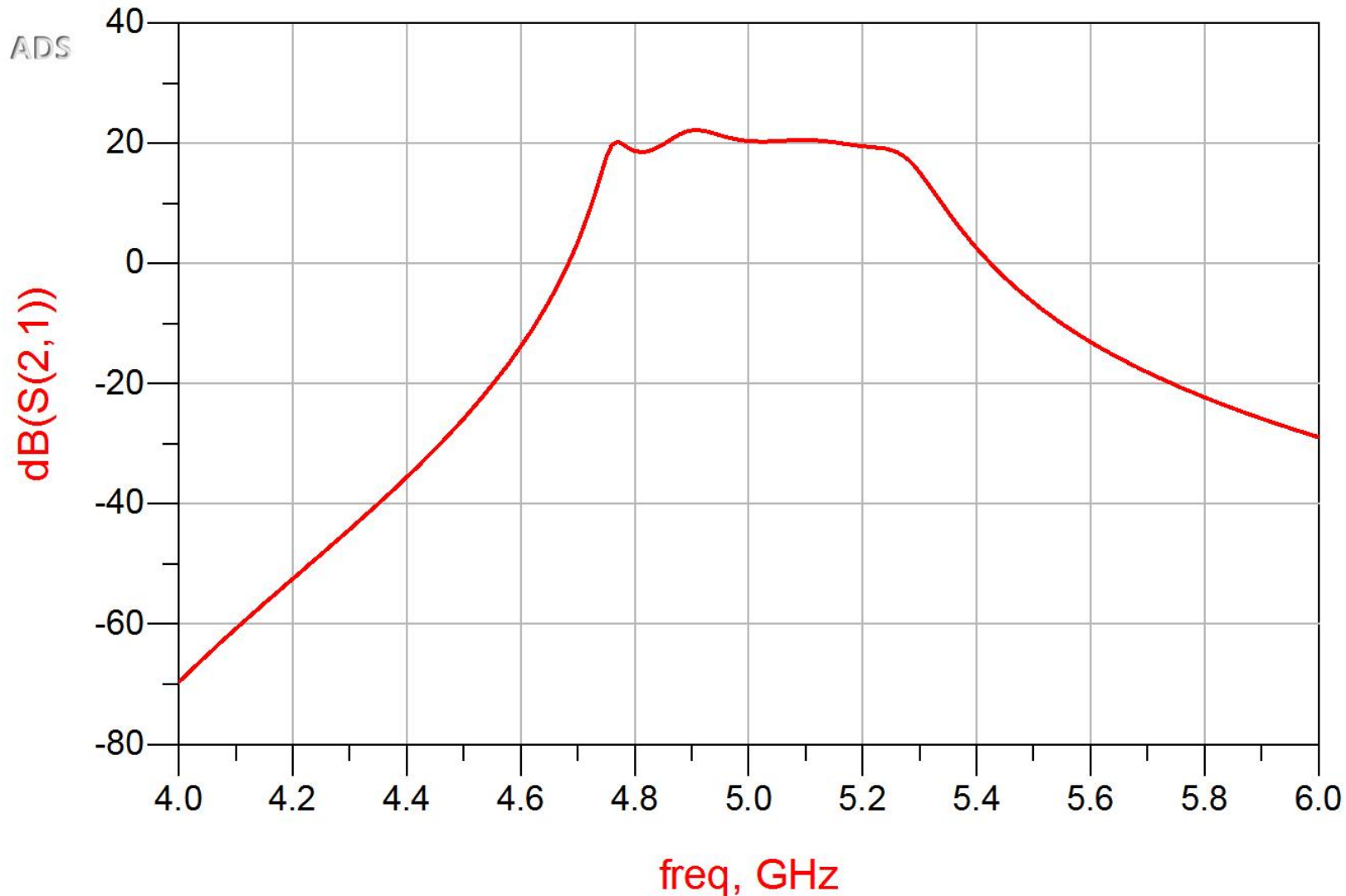


# Introducere elemente de polarizare

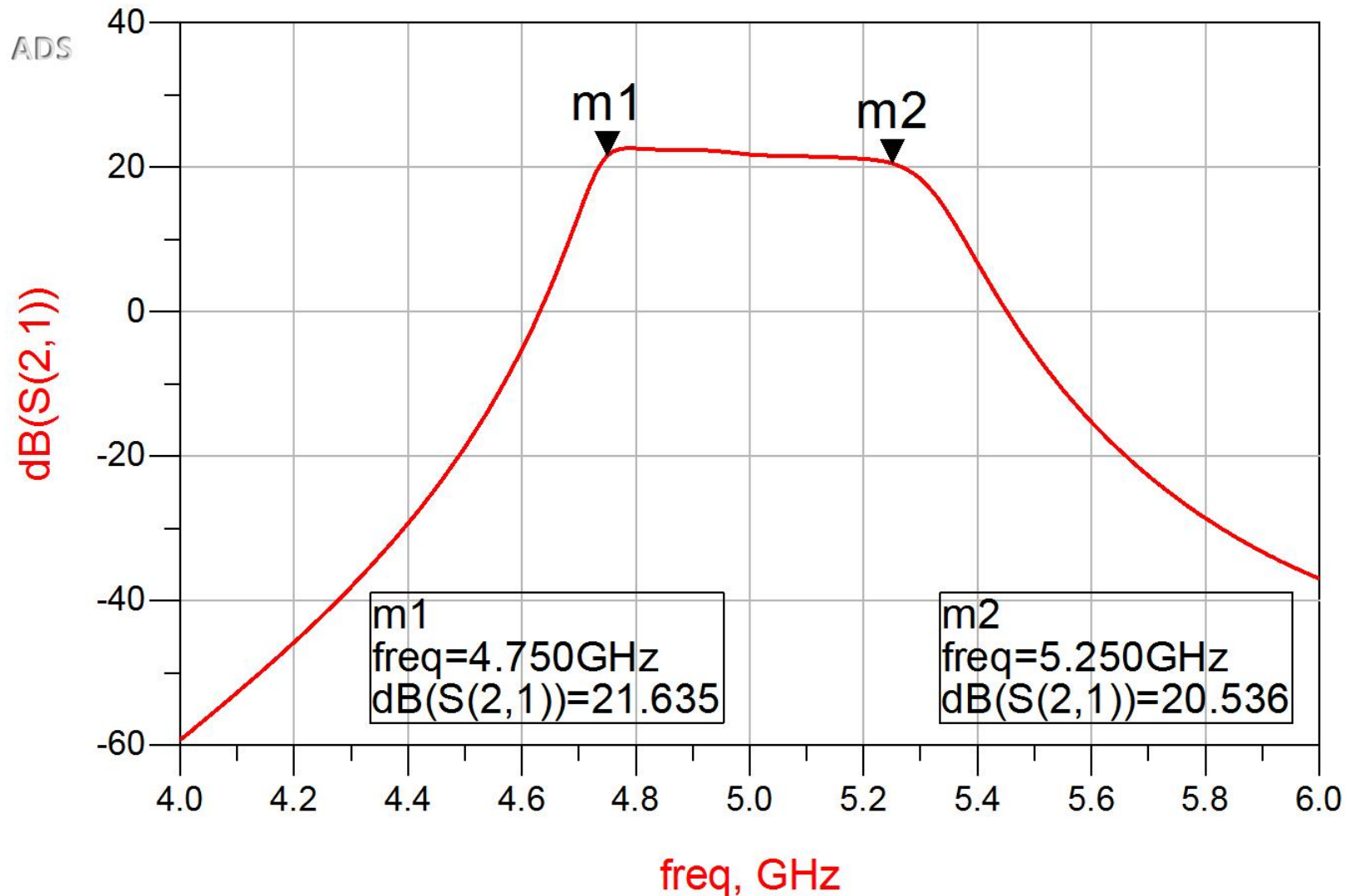
- Reglaj de lungimi la elementele filtrului pentru reglarea frecventelor in jurul  $f_0 = 5\text{GHz}$
  - Introducere L (soc RF) si C (decuplare)



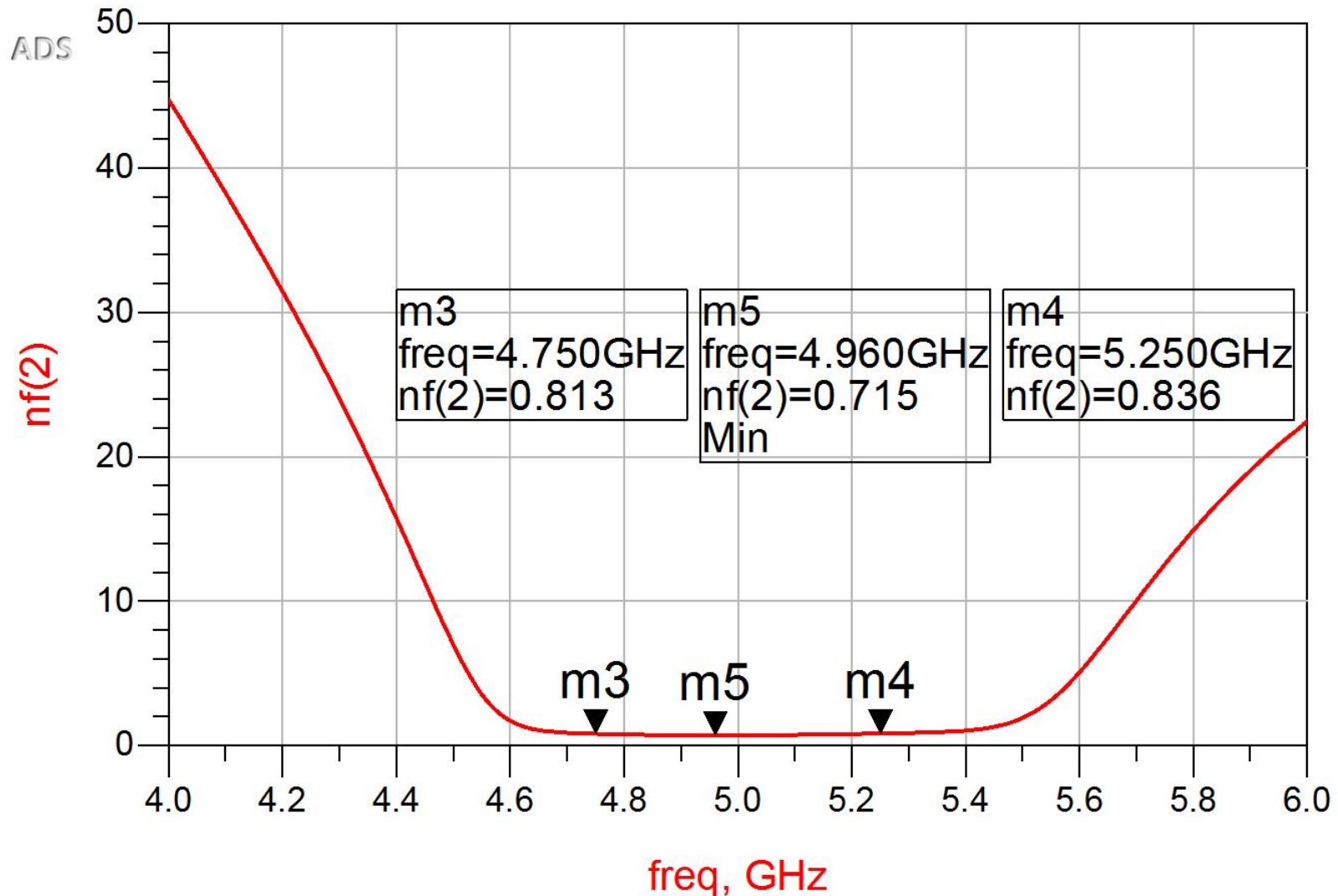
# Castig -> Reglaj/Optimizare



# Rezultat final (Castig)

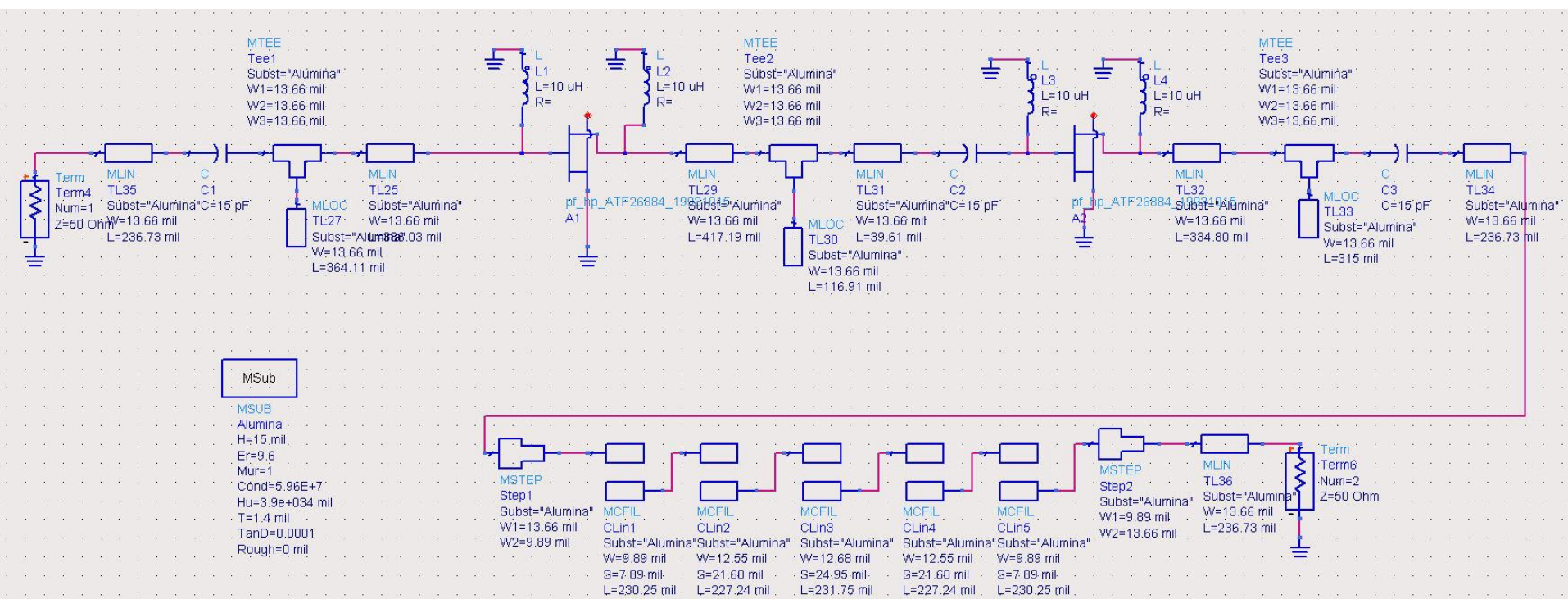


# Rezultat final (Zgomot)

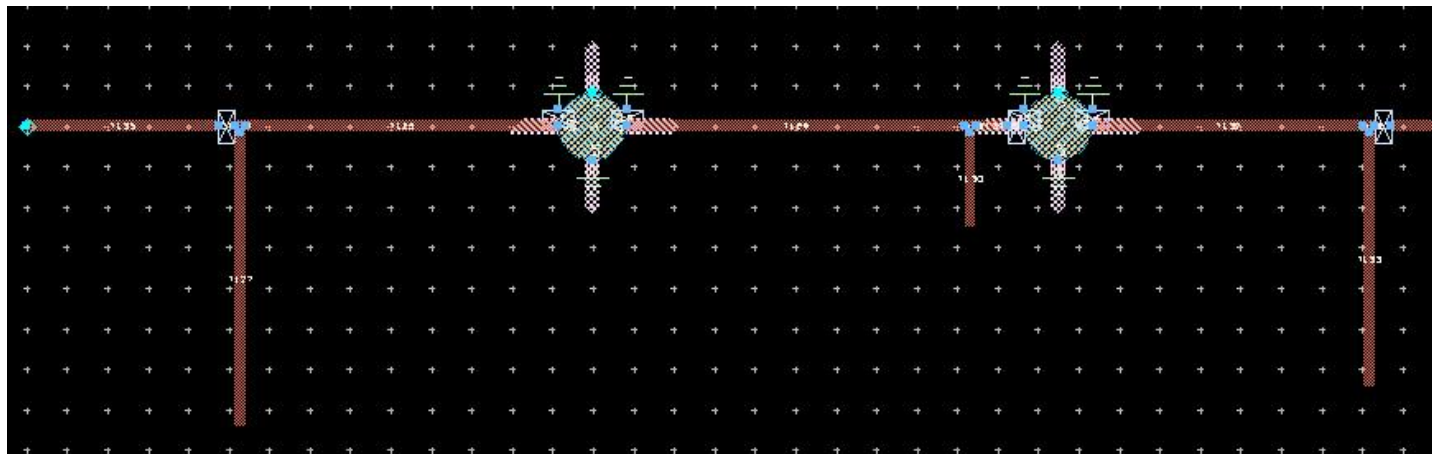
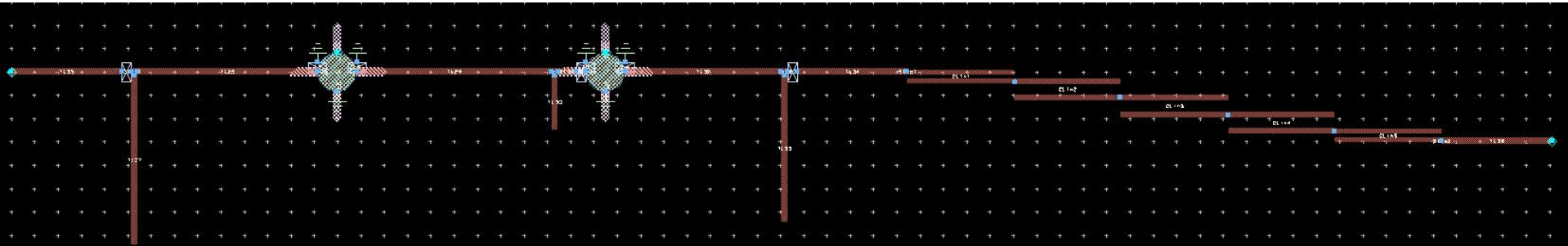


# Layout (Exemplu)

- Inlocuirea (fictiva) a tranzistoarelor si elementelor concentrate (LC) cu elemente pentru care ADS are informatii despre capsule



# Layout (Exemplu)



Examen

# Probleme

# Istoric

## Other data

[Manual examen on-line](#) (pdf, 2.65 MB, ro, 

[Online Exam manual](#) (pdf, 2.56 MB, en, 

[Simulare Examen](#) (video) (mp4, 65.12 MB, ro, 

[DCMR Curs 3 Linii de transmisie](#) (video) (mp4, 174.88 MB, ro, 

[DCMR Curs 4 Adaptare de impedanta](#) (video) (mp4, 206.99 MB, ro, 

[DCMR Curs 5 Analiza de retea](#) (video) (mp4, 196.2 MB, ro, 

[DCMR Curs 6 Analiza de retea \(Divizoare/Cuploare\)](#) (mp4, 214.04 MB, ro, 

[DCMR Curs 7 Diagrama Smith, Adaptare de impedanta](#) (video) (mp4, 331.63 MB, ro, 

[DCMR Curs 8 Amplificatoare](#) (video) (mp4, 460.75 MB, ro, 

[DCMR Curs 10 Supliment Proiect](#) (video) (mp4, 192.23 MB, ro, 

[Exemplu Proiect 2020](#) (pdf, 2.49 MB, ro, 

[Indicatii Proiect 1 Online \(2020\)](#) (pdf, 1.82 MB, ro, 

[Note de aplicatii importante - Agilent](#) (rar, 2.36 MB, ro, 

[Linii de transmisie - Rogers](#) (rar, 84.4 KB, ro, 

## Previous years

2022-2023

2021-2022

2020-2021

2019-2020

2018-2019

M

Server-ul "rf-opto" pastreaza istoricul materialelor pentru anii anteriori

Alegeti anul recent corespunzator pentru vizualizare sau "More years" pentru a afisa mai multi ani din istoric

# Istoric 2009 - 2023

[DCMR Curs 7 Diagrama Smith, Adaptare de impedanta \(video\)](#) (mp4, 331.63 MB, ro, 

[DCMR Curs 8 Amplificatoare \(video\)](#) (mp4, 460.75 MB, ro, 

[DCMR Curs 10 Supliment Proiect \(video\)](#) (mp4, 192.23 MB, ro, 

[Exemplu Proiect 2020](#) (pdf, 2.49 MB, ro, 

[Indicatii Proiect 1 Online \(2020\)](#) (pdf, 1.82 MB, ro, 

[Note de aplicatii importante - Agilent](#) (rar, 2.36 MB, ro, 

[Linii de transmisie - Rogers](#) (rar, 84.4 KB, ro, 

## Previous years

2022-2023

2021-2022

2020-2021

**2019-2020**

2018-2019

More years...

## Microwave Devices and Circuits for Radiocommunications (English)

### Course: MDCR (2019-2020)

Course Coordinator: Assoc.P. Dr. Radu-Florin Damian

Code: EDOS412T

Discipline Type: DOS; Alternative, Specialty

Credits: 4

Enrollment Year: 4, Sem. 7

16-2017

2015-2016

2014-2015

2013-2014

2012-2013

2011-2012

**2010-2011**

2009-2010

### Activities

### Circuits for Radiocommunications

Week, Specialization Section, Timetable:  
Hours/Week, Half Group, Timetable:

# Subiecte si rezolvari

- 2009 – 2023
  - in fiecare an 1-2 seturi (~50) de probleme
  - rezolvari numerice

[Selection guides 2019](#) (zip, 3.2 MB, en, 

[Tranzistoare Infineon](#) (zip, 37.17 MB, en, 

[Colectie parametri S - 2010](#) (7z, 9.09 MB, en, 

**Examen**

[Examen DCMR 2021](#) (pdf, 1.01 MB, ro, 

[Rezolvări DCMR 2021](#) (pdf, 1.1 MB, ro, 

[Verificare proiecte 2021](#) (zap, 34.3 MB, en, 

[Detalii notare DCMR 2021 \(L, P\)](#) (htm, 10.81 KB, ro, 

**Other data**

[Manual examen on-line](#) (pdf, 2.65 MB, ro, 

[Simulare Examen \(video\)](#) (mp4, 65.12 MB, ro, 

# Problema 1

- Dacă impedanța este  $50.2\Omega + j \cdot 46.2\Omega$ , calculați admitanța normalizată. (1p)
- Dacă impedanța este  $63.1\Omega + j \cdot 51.7\Omega$ , calculați admitanța normalizată. (1p)
- Dacă impedanța este  $66.6\Omega - j \cdot 67.2\Omega$ , calculați admitanța normalizată. (1p)
- Dacă impedanța este  $42.5\Omega + j \cdot 45.3\Omega$ , calculați admitanța normalizată. (1p)

# Important 1

# Examen

- Operatii cu numere complexe!
- $z = a + j \cdot b ; j^2 = -1$

# Reprezentare polara

## ■ Formula lui Euler

$$e^{j \cdot x} = \cos x + j \cdot \sin x; \forall x \in R$$

## ■ Reprezentare polara

$$z = a + j \cdot b = |z| \cdot e^{j \cdot \varphi}$$

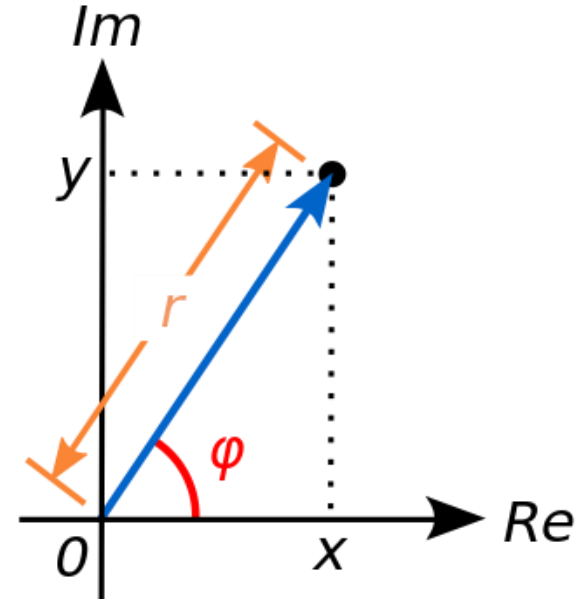
$$z = a + j \cdot b = |z| \cdot (\cos \varphi + j \cdot \sin \varphi)$$

$$z^n = (|z| \cdot e^{j \cdot \varphi})^n = |z|^n \cdot e^{j \cdot n \cdot \varphi} = |z|^n \cdot [\cos(n \cdot \varphi) + j \cdot \sin(n \cdot \varphi)]$$

→  $\sqrt{z} = (|z| \cdot e^{j \cdot \varphi})^{1/2} = \sqrt{|z|} \cdot e^{j \cdot \frac{\varphi}{2}} = \sqrt{|z|} \cdot \left( \cos \frac{\varphi}{2} + j \cdot \sin \frac{\varphi}{2} \right)$

$$z \cdot w = |z| \cdot e^{j \cdot \varphi} \cdot |w| \cdot e^{j \cdot \theta} = |z| \cdot |w| \cdot e^{j \cdot (\varphi + \theta)} = |z| \cdot |w| \cdot [\cos(\varphi + \theta) + j \cdot \sin(\varphi + \theta)]$$

$$\frac{z}{w} = \frac{|z| \cdot e^{j \cdot \varphi}}{|w| \cdot e^{j \cdot \theta}} = \frac{|z|}{|w|} \cdot e^{j \cdot \varphi} \cdot e^{-j \cdot \theta} = \frac{|z|}{|w|} \cdot e^{j \cdot (\varphi - \theta)} = \frac{|z|}{|w|} \cdot [\cos(\varphi - \theta) + j \cdot \sin(\varphi - \theta)]$$

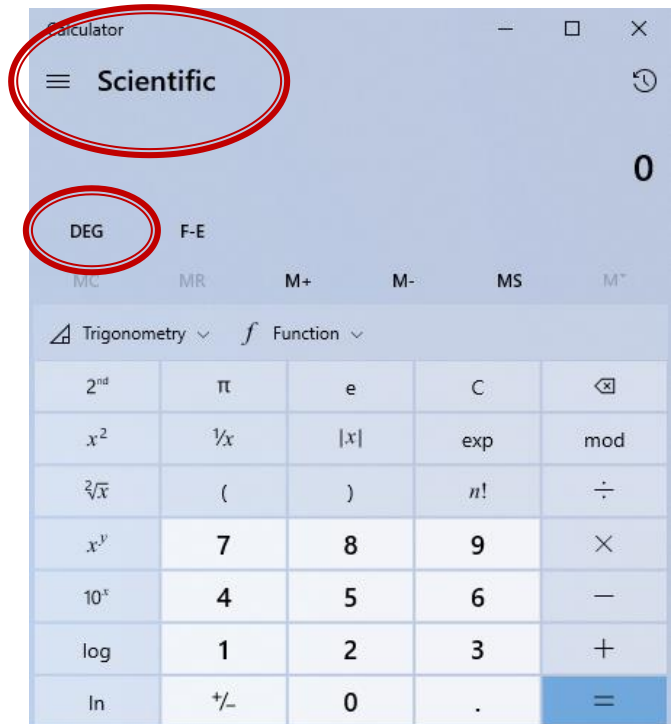


# Reprezentare polara

- unitate de masura standard – radiani
- unitate de masura traditionala in microunde –  
**grade format zecimal** ( $55.89^\circ$ )

$$\varphi = \arg(z) = \begin{cases} \arctan\left(\frac{b}{a}\right), & a > 0 \\ \arctan\left(\frac{b}{a}\right) + \pi, & a < 0, b \geq 0 \\ \arctan\left(\frac{b}{a}\right) - \pi, & a < 0, b < 0 \\ \frac{\pi}{2}, -\frac{\pi}{2}, \text{nedefinit} & a = 0 \end{cases}$$

$$\varphi[\circ] = 180^\circ \cdot \frac{\varphi[\text{rad}]}{\pi} \quad \varphi[\text{rad}] = \pi \cdot \frac{\varphi[\circ]}{180^\circ}$$



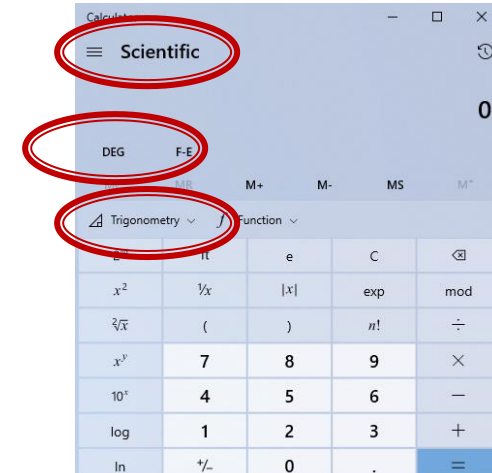
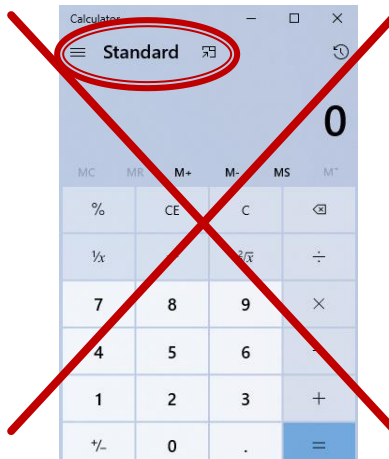
# Reprezentare polară

## ■ Atentie la reprezentarea unghiurilor!!

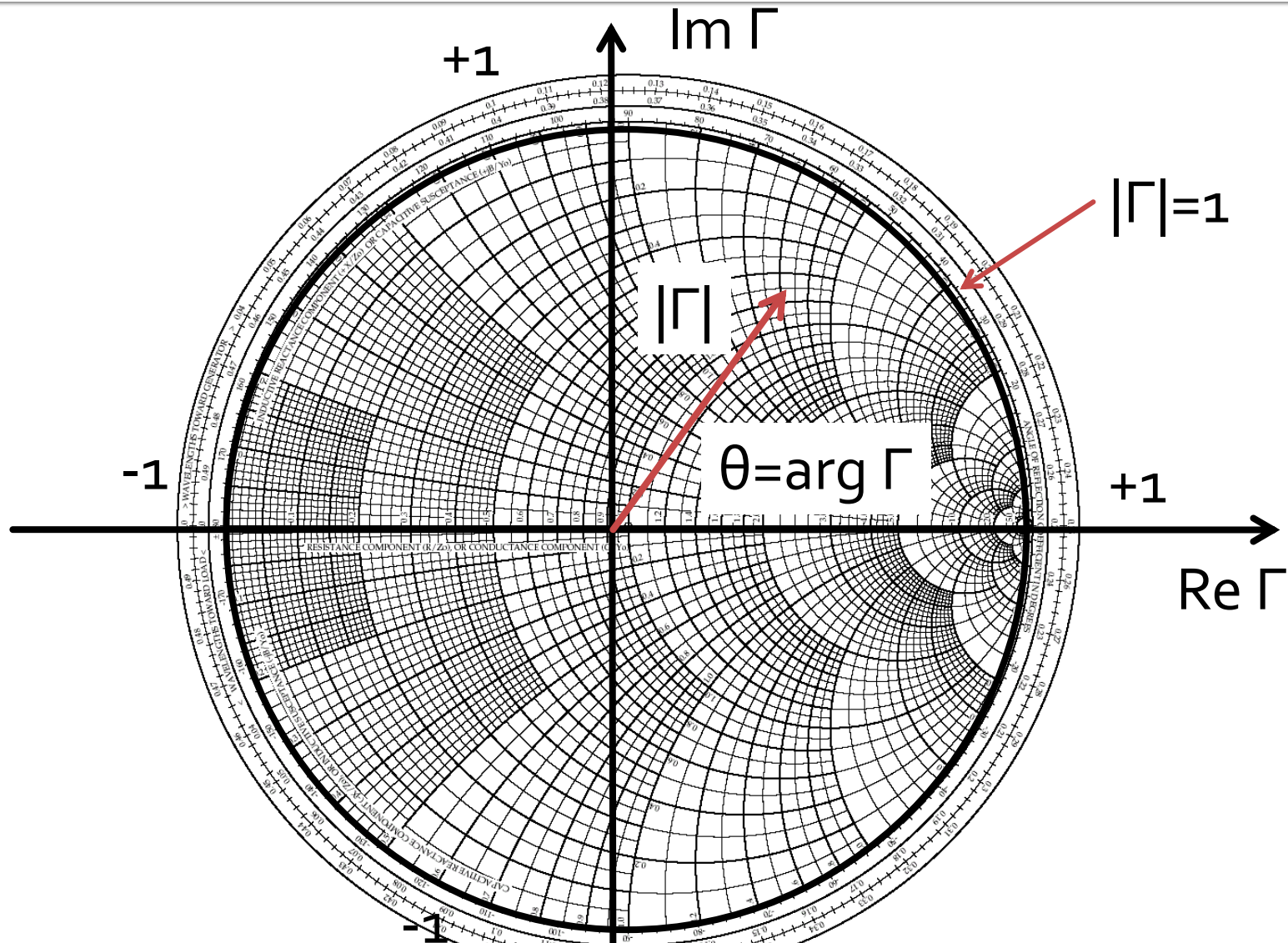
- programele matematice – lucreaza standard in radiani
  - e necesara o **conversie** inainte si una dupa aplicarea unei functii trigonometrice
- calculatoarele (stiintifice) au posibilitatea (de obicei) de a stabili unitatea de masura pentru unghiuri
  - e necesara **verificarea** unitatii de masura curente

$$\varphi[^\circ] = 180^\circ \cdot \frac{\varphi[\text{rad}]}{\pi}$$

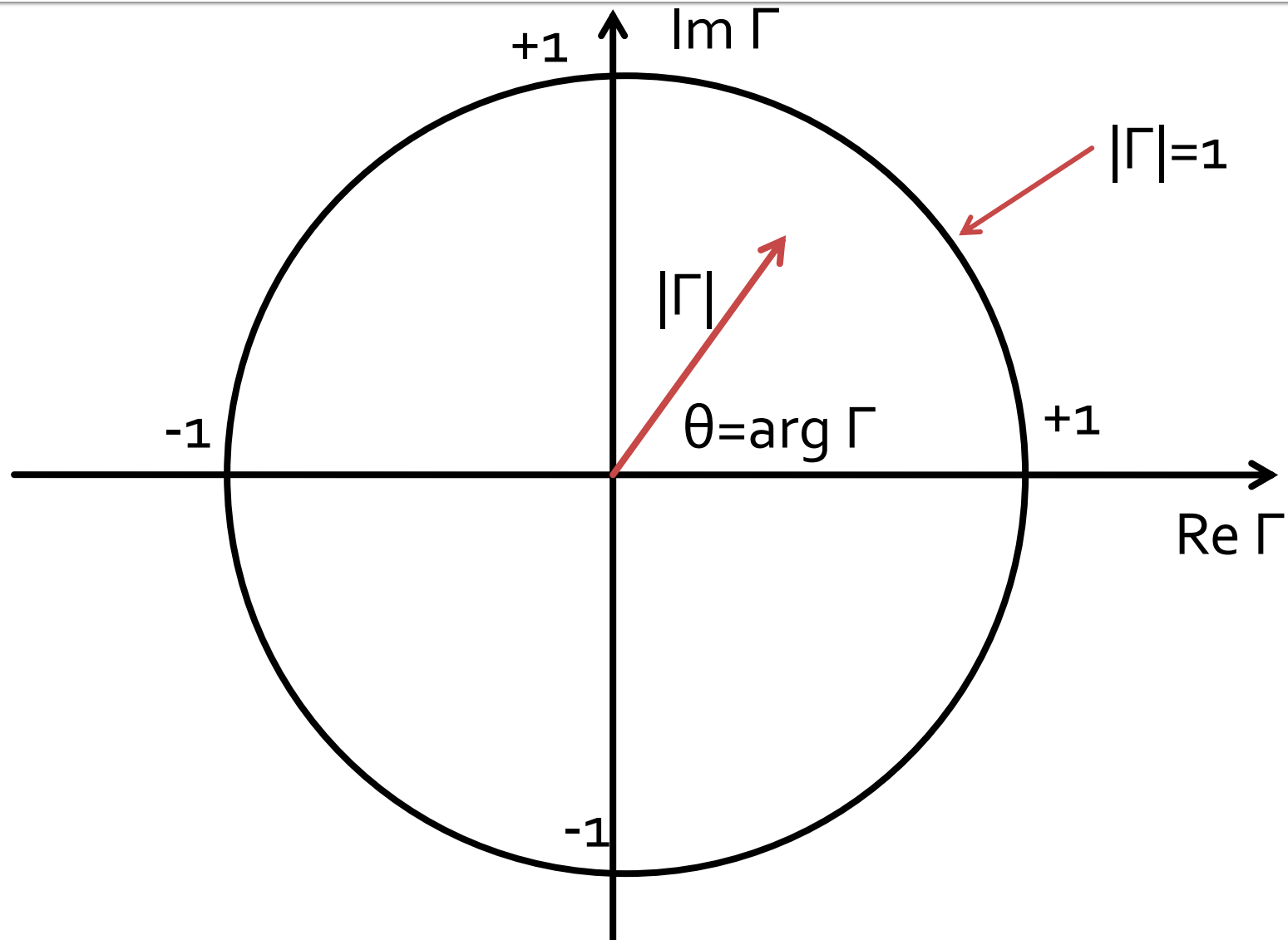
$$\varphi[\text{rad}] = \pi \cdot \frac{\varphi[^\circ]}{180^\circ}$$



# Diagrama Smith



# Diagrama Smith



**Important 2**

# Reprezentare logarithmică

$$\text{dB} = 10 \cdot \log_{10} (P_2 / P_1)$$

$$0 \text{ dB} = 1$$

$$+0.1 \text{ dB} = 1.023 (+2.3\%)$$

$$+3 \text{ dB} = 2$$

$$+5 \text{ dB} = 3$$

$$+10 \text{ dB} = 10$$

$$-3 \text{ dB} = 0.5$$

$$-10 \text{ dB} = 0.1$$

$$-20 \text{ dB} = 0.01$$

$$-30 \text{ dB} = 0.001$$

$$\text{dBm} = 10 \cdot \log_{10} (P / 1 \text{ mW})$$

$$0 \text{ dBm} = 1 \text{ mW}$$

$$3 \text{ dBm} = 2 \text{ mW}$$

$$5 \text{ dBm} = 3 \text{ mW}$$

$$10 \text{ dBm} = 10 \text{ mW}$$

$$20 \text{ dBm} = 100 \text{ mW}$$

$$-3 \text{ dBm} = 0.5 \text{ mW}$$

$$-10 \text{ dBm} = 100 \mu\text{W}$$

$$-20 \text{ dBm} = 1 \mu\text{W}$$

$$-30 \text{ dBm} = 1 \text{ nW}$$

$$[\text{dBm}] + [\text{dB}] = [\text{dBm}]$$

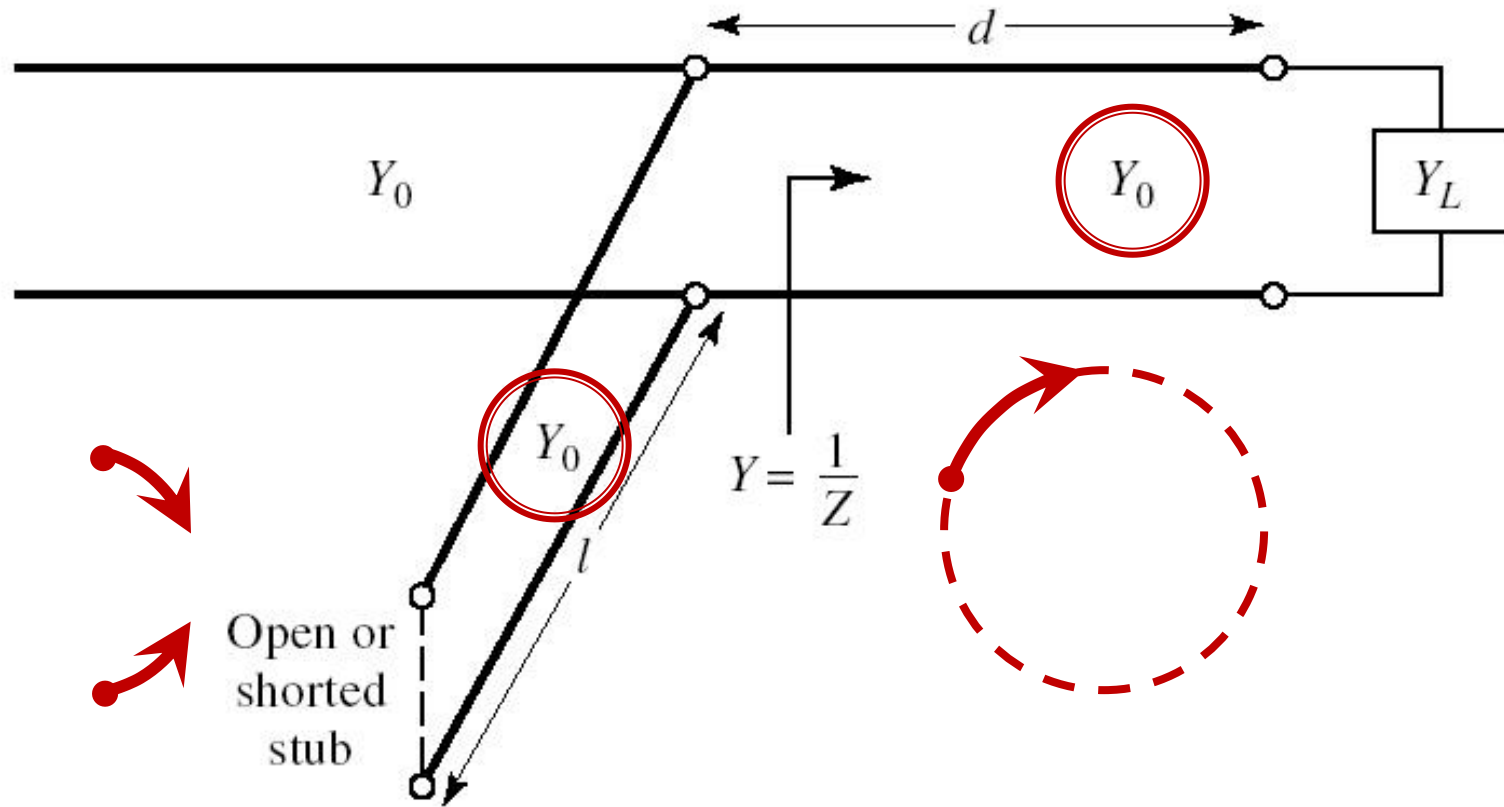
$$[\text{dBm}/\text{Hz}] + [\text{dB}] = [\text{dBm}/\text{Hz}]$$

$$[x] + [\text{dB}] = [x]$$

# Important 3

# Caz 1, Shunt Stub

- Shunt Stub (secțiune de linie în paralel)



# Calcul analitic (calcul efectiv)

$$\cos(\varphi + 2\theta) = -|\Gamma_s|$$

$$|\Gamma_s| = 0.593 \angle 46.85^\circ$$

$$\theta_{sp} = \beta \cdot l = \tan^{-1} \frac{\mp 2 \cdot |\Gamma_s|}{\sqrt{1 - |\Gamma_s|^2}}$$

$$|\Gamma_s| = 0.593; \quad \varphi = 46.85^\circ \quad \cos(\varphi + 2\theta) = -0.593 \Rightarrow (\varphi + 2\theta) = \pm 126.35^\circ$$

- **Semnul (+/-) solutiei alese la ecuatia liniei serie impune semnul solutiei utilizate la ecuatia stub-ului paralel**

- **solutia "cu +"**

$$(46.85^\circ + 2\theta) = +126.35^\circ \quad \theta = +39.7^\circ \quad \text{Im } y_s = \frac{-2 \cdot |\Gamma_s|}{\sqrt{1 - |\Gamma_s|^2}} = -1.472$$

$$\theta_{sp} = \tan^{-1}(\text{Im } y_s) = -55.8^\circ (+180^\circ) \rightarrow \theta_{sp} = 124.2^\circ$$

- **solutia "cu -"**

$$(46.85^\circ + 2\theta) = -126.35^\circ \quad \theta = -86.6^\circ (+180^\circ) \rightarrow \theta = 93.4^\circ$$

$$\text{Im } y_s = \frac{+2 \cdot |\Gamma_s|}{\sqrt{1 - |\Gamma_s|^2}} = +1.472 \quad \theta_{sp} = \tan^{-1}(\text{Im } y_s) = 55.8^\circ$$

# Calcul analitic (calcul efectiv)

$$(\varphi + 2\theta) = \begin{cases} +126.35^\circ \\ -126.35^\circ \end{cases} \quad \theta = \begin{cases} 39.7^\circ \\ 93.4^\circ \end{cases} \quad \text{Im}[y_s(\theta)] = \begin{cases} -1.472 \\ +1.472 \end{cases} \quad \theta_{sp} = \begin{cases} -55.8^\circ + 180^\circ = 124.2^\circ \\ +55.8^\circ \end{cases}$$

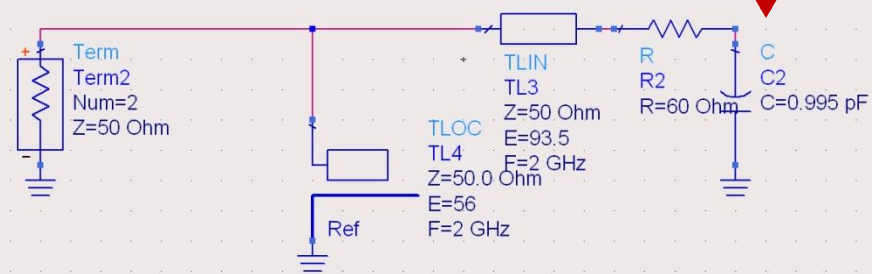
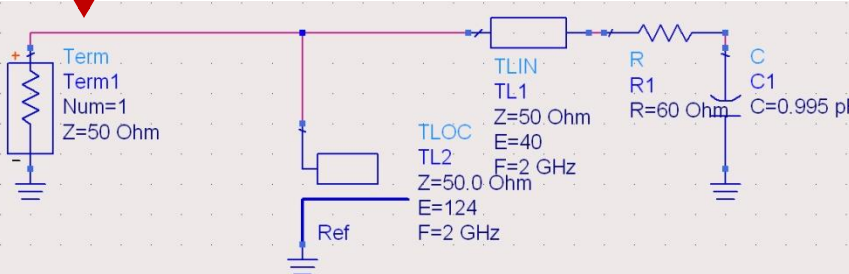
- Se alege **una** din cele doua solutii posibile
- **Semnul (+/-)** solutiei alese la **prima** ecuatie impune **semnul** solutiei utilizate la a **doua** ecuatie

$$l_1 = \frac{39.7^\circ}{360^\circ} \cdot \lambda = 0.110 \cdot \lambda$$

$$l_2 = \frac{124.2^\circ}{360^\circ} \cdot \lambda = 0.345 \cdot \lambda$$

$$l_1 = \frac{93.4^\circ}{360^\circ} \cdot \lambda = 0.259 \cdot \lambda$$

$$l_2 = \frac{55.8^\circ}{360^\circ} \cdot \lambda = 0.155 \cdot \lambda$$



**Important 4**

# Calculul atenuarii/amplificării

$$\text{Pierderi/Castig} = \frac{P_{out}}{P_{in}}$$

$$\text{Pierderi[dB]} = [-] 10 \cdot \log_{10} \left( \frac{P_{out}}{P_{in}} \right)$$

$$\text{Pierderi[dB]} = [-] 10 \cdot \log_{10} \left( \frac{P_{out}}{P_0} \cdot \frac{P_0}{P_{in}} \right) = [-] 10 \cdot \left[ \log_{10} \left( \frac{P_{out}}{P_0} \right) - \log_{10} \left( \frac{P_{in}}{P_0} \right) \right]$$

$$\text{Pierderi[dB]} = [-] (P_{out} [\text{dBm}] - P_{in} [\text{dBm}])$$



=



-



# Exemple

# Problema 1

- Dacă admitanța normalizată este  $0.705 - j \cdot 0.965$ , calculați impedanța. (1p)
  - **Notă.** Exceptând situațiile în care în problemă este **specificat altfel**, impedanța de referință se consideră  **$50\Omega$** .

$$Y = \frac{1}{Z} \quad Y_0 = \frac{1}{Z_0} = \frac{1}{50\Omega} = 0.02S$$

$$z = \frac{Z}{Z_0} \qquad \qquad y = \frac{Y}{Y_0} = \frac{Z_0}{Z}$$

$$Z = \frac{Z_0}{y} = \frac{50\Omega}{0.705 - j \cdot 0.965} = 24.68\Omega + j \cdot 33.78\Omega$$

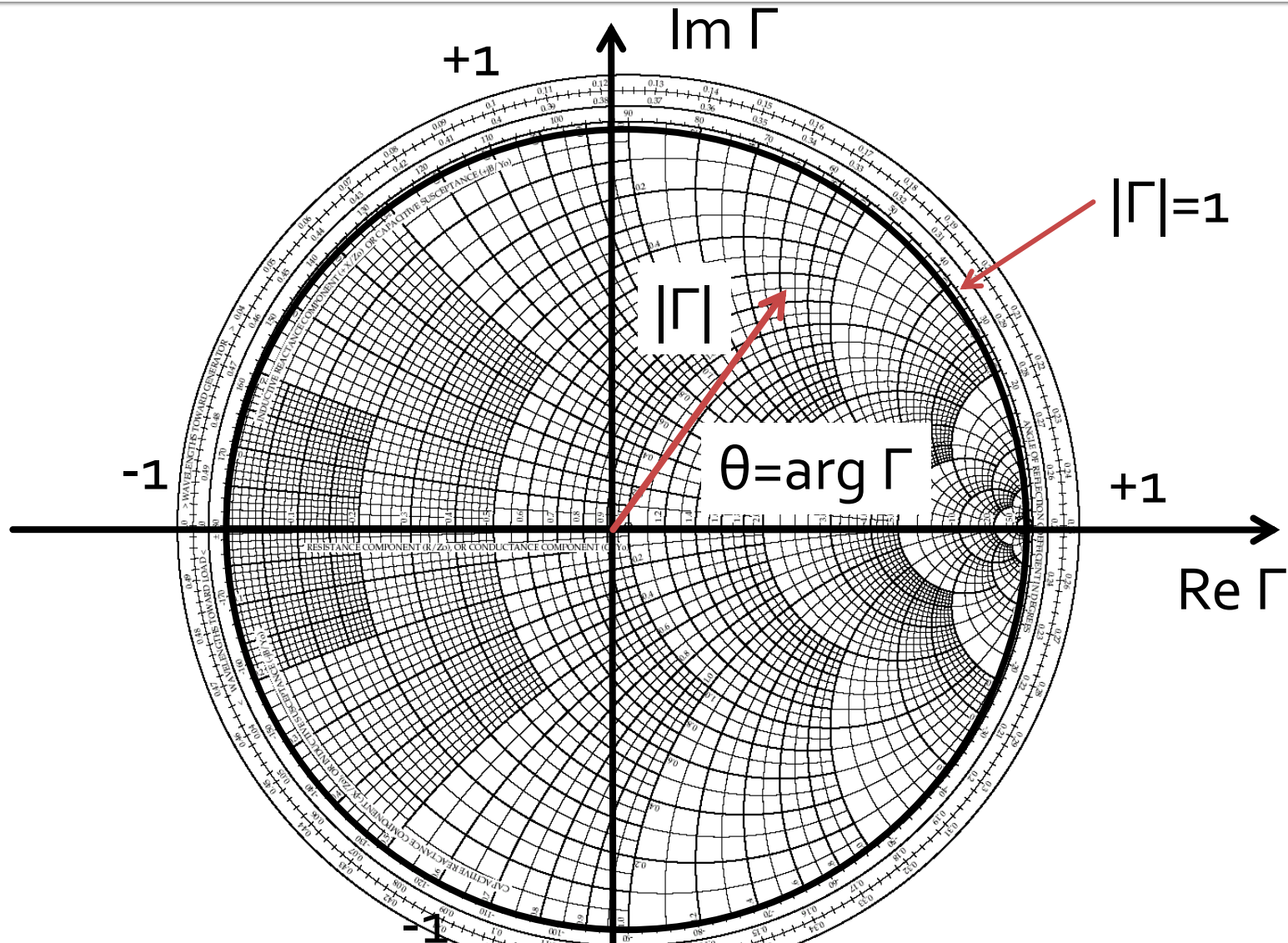
# Problema 1 (seminar)

- Dacă admitanța normalizată este  $0.930 + j \cdot 0.745$ , calculați impedanța. (1p)

## Problema 2

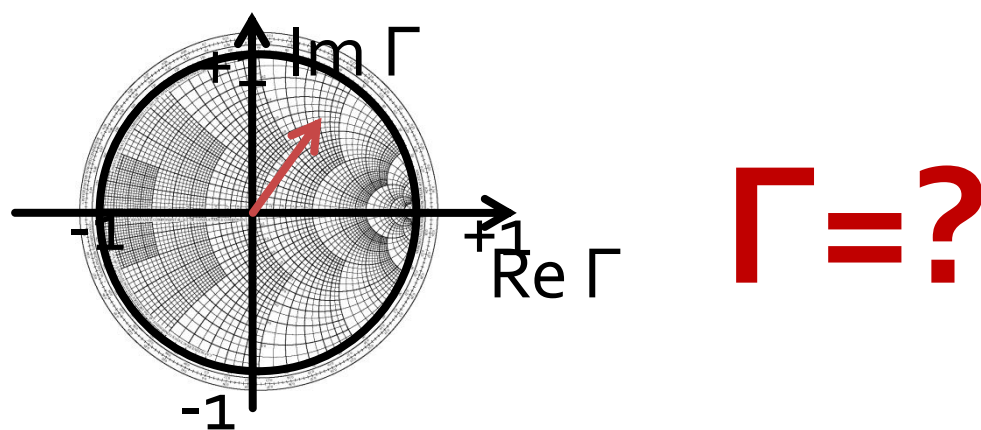
- Schițați o diagrama Smith (numai cercul exterior și axele) și reprezentați punctul corespunzător pentru o **impedanță de referință de  $75\Omega$**  și:
  - o impedanță normalizată de  $0.870 - j \cdot 0.975$  (**1p**)
  - o rezistență de  $63\Omega$  în serie cu o bobină de  $0.84nH$ , la frecvența de  $7.4\text{ GHz}$  (**1p**)

# Diagrama Smith



## Problema 2

- Schitați o diagramă Smith (numai cercul exterior și axele) și reprezentați punctul corespunzător pentru o **impedanță de referință de  $75\Omega$**  și:
  - o impedanță normalizată de  $0.870 - j \cdot 0.975$  (1p)



## Problema 2

- Schitați o diagramă Smith (numai cercul exterior și axele) și reprezentați punctul corespunzător pentru o **impedanță de referință de  $75\Omega$**  și:
  - o impedanță normalizată de  $0.870 - j \cdot 0.975$  (**1p**)

$$\Gamma = \frac{Z - Z_0}{Z + Z_0} = \frac{z - 1}{z + 1} = \operatorname{Re} \Gamma + j \cdot \operatorname{Im} \Gamma = |\Gamma| \cdot e^{j \cdot \arg(\Gamma)}$$

$$\Gamma = \frac{z - 1}{z + 1} = \frac{0.870 - j \cdot 0.975 - 1}{0.870 - j \cdot 0.975 + 1} = 0.159 - j \cdot 0.438$$

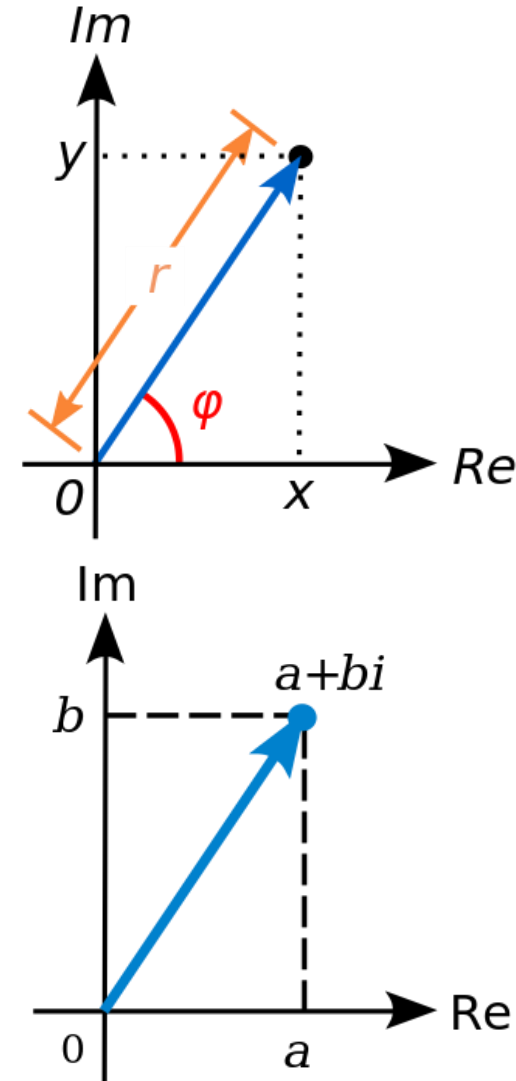
# Reprezentare polara

## ■ Reprezentare polară/carteziāna

$$|z| = \sqrt{a^2 + b^2}$$

$$|z| = z \cdot z^*$$

$$\varphi = \arg(z) = \begin{cases} \arctan\left(\frac{b}{a}\right), & a > 0 \\ \arctan\left(\frac{b}{a}\right) + \pi, & a < 0, b \geq 0 \\ \arctan\left(\frac{b}{a}\right) - \pi, & a < 0, b < 0 \\ \frac{\pi}{2}, -\frac{\pi}{2}, \text{nedefinit} & a = 0 \end{cases}$$



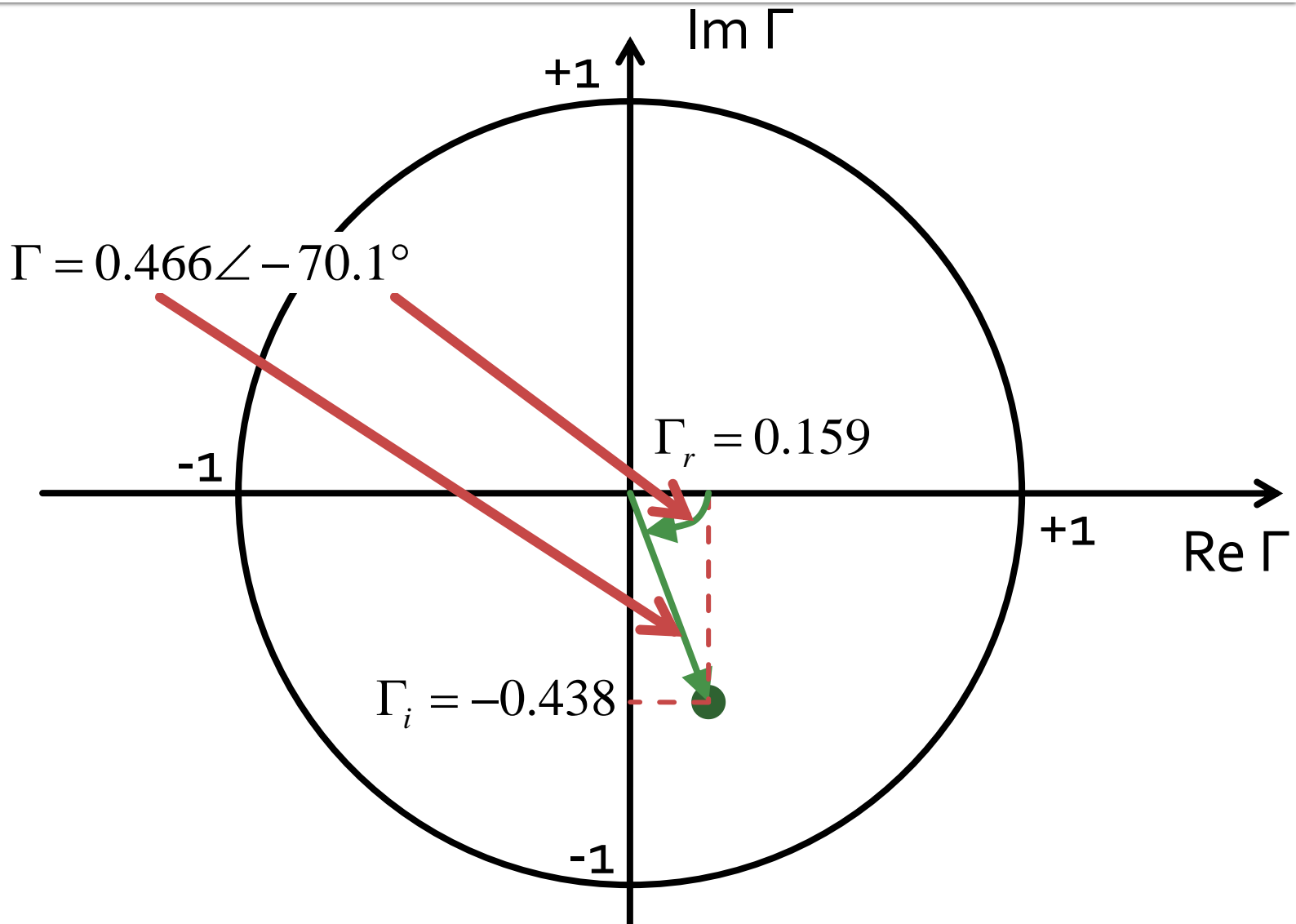
# Problema 2

$$\Gamma = 0.159 - j \cdot 0.438$$

$$|\Gamma| = \sqrt{0.159^2 + 0.438^2} = 0.466$$

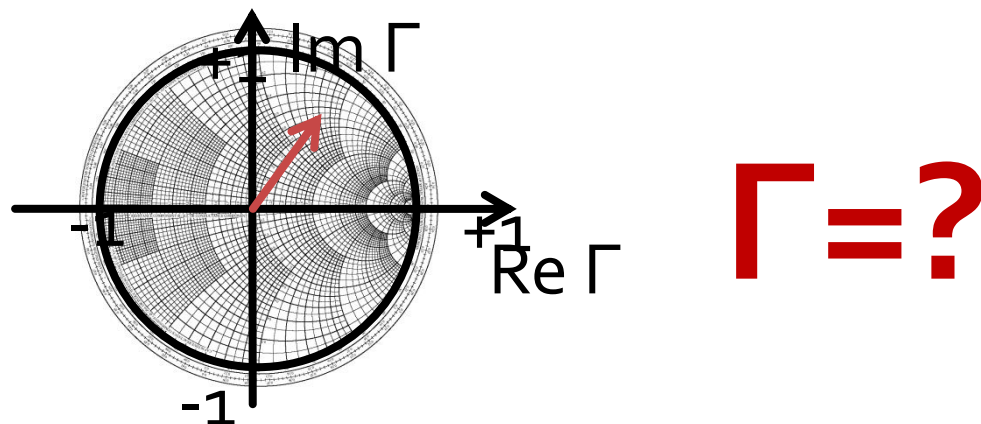
$$\arg(\Gamma) = \arctan\left(\frac{-0.438}{0.159}\right) = -1.223 \text{ rad} = -70.05^\circ$$

## Problema 2



## Problema 2

- Schitați o diagramă Smith (numai cercul exterior și axele) și reprezentați punctul corespunzător pentru o **impedanță de referință de  $75\Omega$**  și:
  - o rezistență de  $63\Omega$  în serie cu o bobină de  $0.84\text{nH}$ , la frecvența de  $7.4\text{ GHz}$  (**1p**)



# Problema 2

- Schitați o diagramă Smith (numai cercul exterior și axele) și reprezentați punctul corespunzător pentru o **impedanță de referință de  $75\Omega$**  și:
  - o rezistență de  $63\Omega$  în **serie** cu o bobină de  $0.84nH$ , la frecvența de  $7.4\text{ GHz}$  (**1p**)

$$\Gamma = \frac{Z - Z_0}{Z + Z_0}$$

$$Z = R + j \cdot \omega \cdot L = R + j \cdot 2\pi \cdot f \cdot L = 63\Omega + j \cdot 2\pi \cdot 7.4 \cdot 10^9 \cdot 0.84 \cdot 10^{-9}$$

$$Z = 63\Omega + j \cdot 39.20\Omega$$

# Problema 2

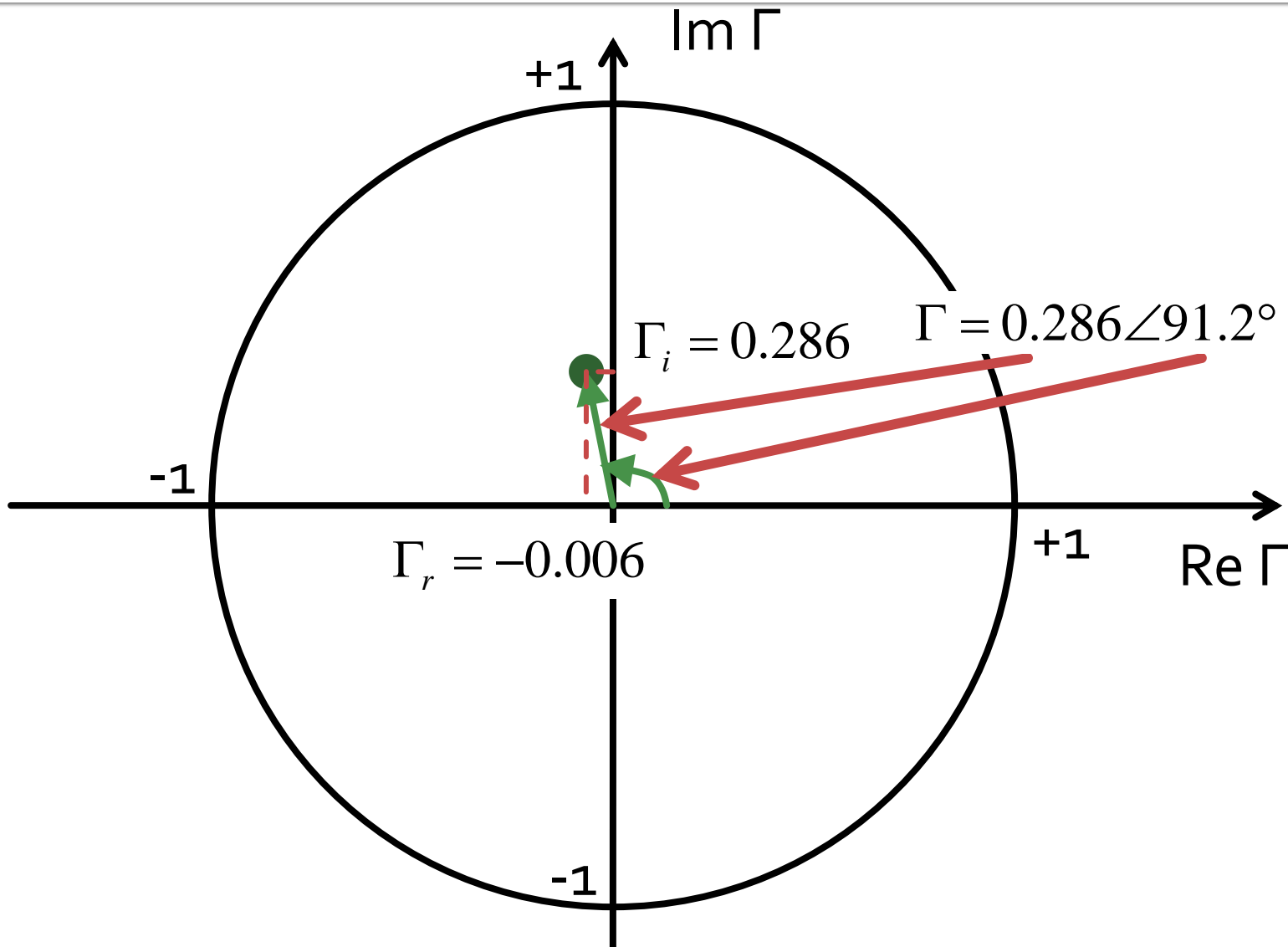
$$\Gamma = \frac{Z - Z_0}{Z + Z_0} = \frac{63\Omega + j \cdot 39.20\Omega - 75\Omega}{63\Omega + j \cdot 39.20\Omega + 75\Omega} = -0.006 + j \cdot 0.286$$

■ similar:

$$|\Gamma| = \sqrt{0.006^2 + 0.286^2} = 0.286$$

$$\arg(\Gamma) = \arctan\left(\frac{0.286}{-0.006}\right) + \pi = 1.5911 \text{ rad} = 91.17^\circ$$

## Problema 2



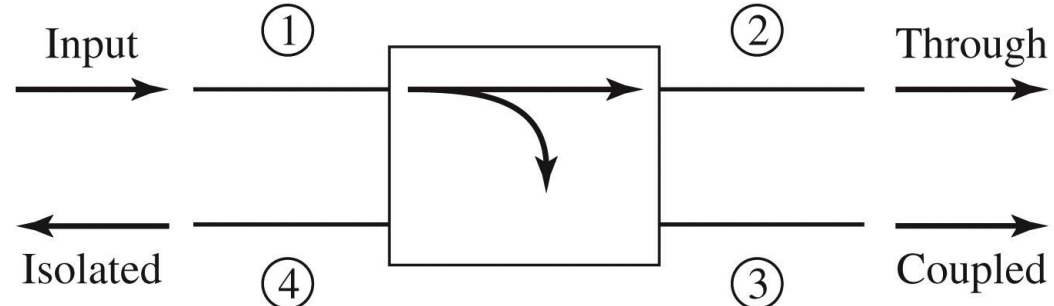
# Problema 2 (seminar)

- Schițați o diagrama Smith (numai cercul exterior și axele) și reprezentați punctul corespunzător pentru o impedanță de referință de  $80\Omega$  și:
  - o impedanță normalizată de  $0.710 - j \cdot 1.155$  (**1p**)
  - o rezistență de  $39\Omega$  în paralel cu o capacitate de  $0.32\text{ pF}$ , la frecvența de  $10.0\text{ GHz}$  (**1p**)

# Problema 3

- Se aplică un semnal cu puterea de  $1.75\text{mW}$  la intrarea unui cuplaj fără pierderi caracterizat de un coeficient de cuplaj de  $4.1\text{dB}$  și o izolare de  $23.3\text{dB}$ , care are la intrare  $\text{VSWR} = 2.465$ .
  - Calculați puterea de ieșire (în dBm) la portul de ieșire. (1p)
  - Proiectați un cuplaj în inel ideal care să ofere același coeficient de cuplaj. (1p)

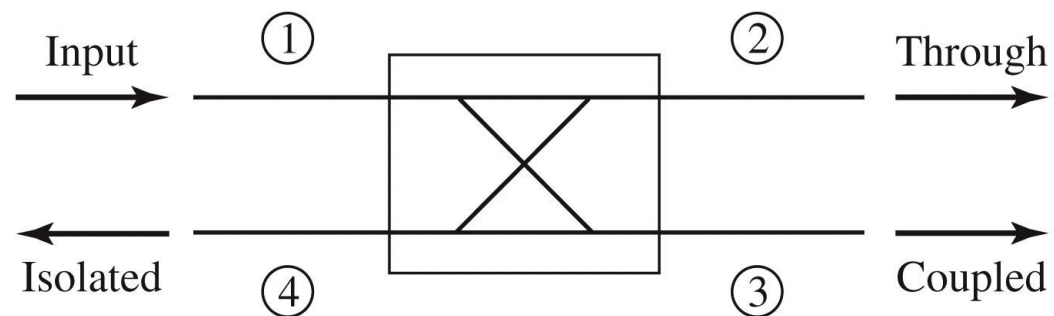
# Cuplaj directional



$$|S_{12}|^2 = \alpha^2 = 1 - \beta^2$$

$$|S_{13}|^2 = \beta^2$$

**Cuplaj**



$$C = 10 \log \frac{P_1}{P_3} = -20 \cdot \log(\beta) [\text{dB}]$$

**Directivitate**

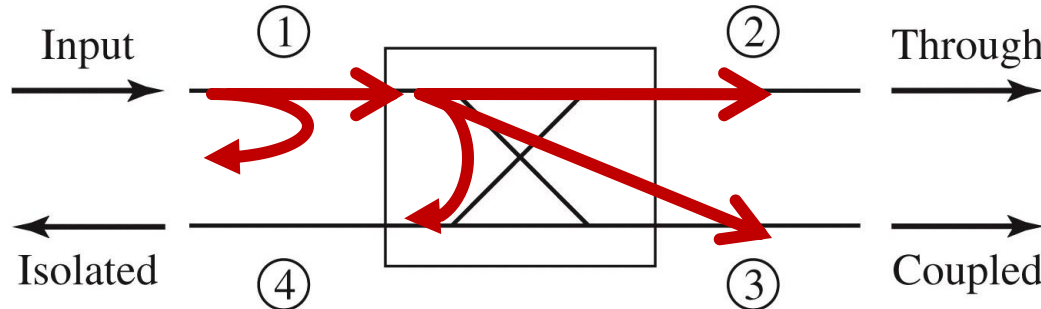
$$D = 10 \log \frac{P_3}{P_4} = 20 \cdot \log \left( \frac{\beta}{|S_{14}|} \right) [\text{dB}]$$

**Izolare**

$$I = 10 \log \frac{P_1}{P_4} = -20 \cdot \log |S_{14}| [\text{dB}]$$

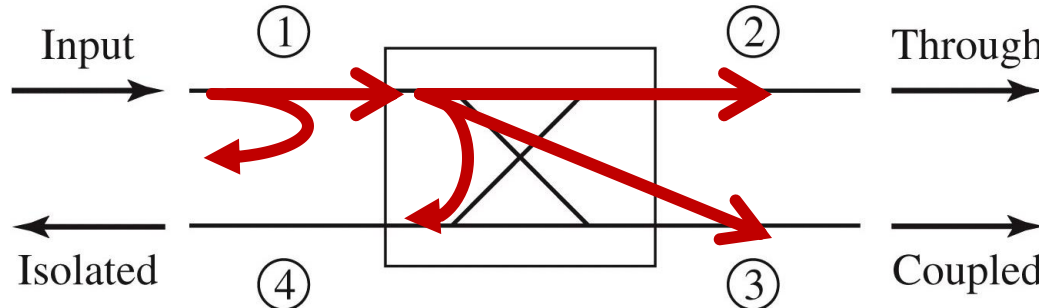
$$I = D + C, \text{ dB}$$

# Problema 3



- Cuplaj fără pierderi, puterea de intrare se regăsește în totalitate la:
  - portul de ieșire,
  - portul de cuplaj,
  - portul izolat
  - sau se reflectă la intrare, **inainte** de a intra în cuplaj

# Problema 3



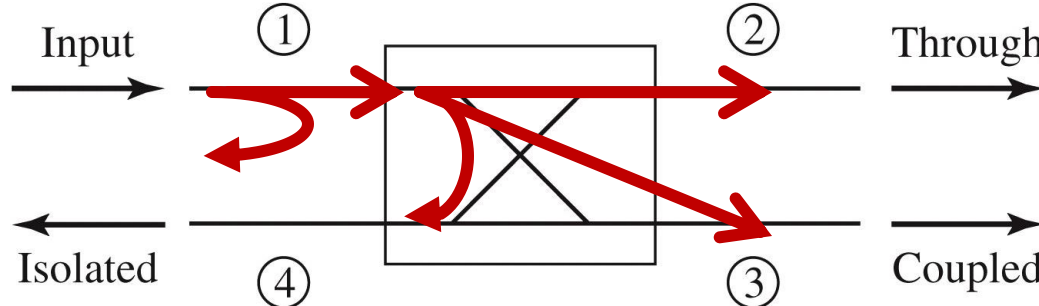
- Puterea reflectata la intrare, **inainte** de a intra in cupluri

$$VSWR = \frac{V_{\max}}{V_{\min}} = \frac{1 + |\Gamma|}{1 - |\Gamma|} \quad |\Gamma_{in}| = \frac{VSWR - 1}{VSWR + 1} = 0.423$$

$$P_{refl} = P_{in} \cdot |\Gamma_{in}|^2 = 1.75mW \cdot 0.423^2 = 0.313mW$$

$$P_1 = P_{in} - P_{refl} = 1.75mW - 0.313mW = 1.437mW$$

# Problema 3



- Puterile transferate spre:
  - portul de cuplaj
  - portul izolat

$$I = 10 \log \frac{P_1}{P_4} = -20 \cdot \log |S_{14}| [\text{dB}]$$

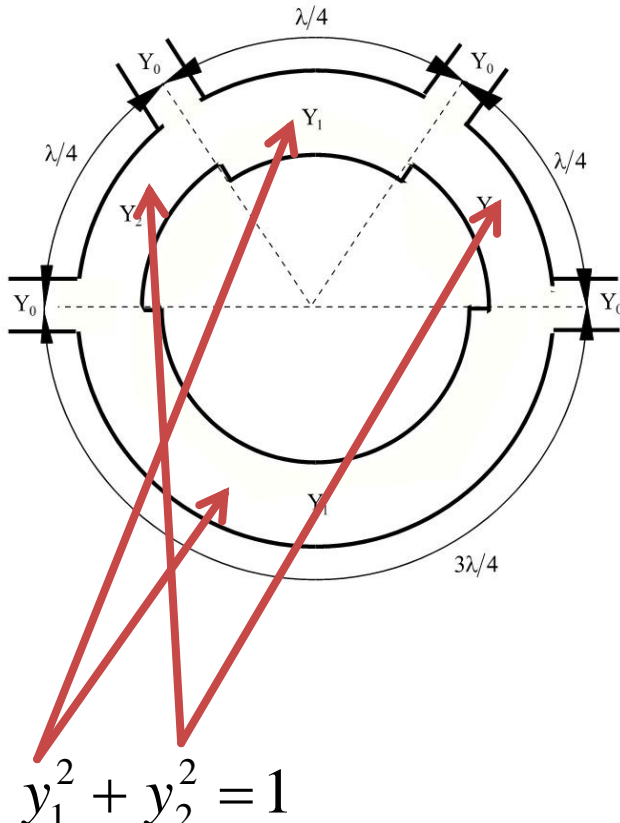
$$C = 10 \log \frac{P_1}{P_3} = -20 \cdot \log (\beta) [\text{dB}]$$

$$P_4 = \frac{P_1}{10^{I[\text{dB}]/10}} = \frac{1.437 \text{mW}}{213.8} = 0.0067 \text{mW} \quad P_3 = \frac{P_1}{10^{C[\text{dB}]/10}} = \frac{1.437 \text{mW}}{2.57} = 0.559 \text{mW}$$

$$P_2 = P_1 - P_3 - P_4 = 1.437 \text{mW} - 0.0067 \text{mW} - 0.559 \text{mW} = 0.871 \text{mW}$$

$$P_2 [\text{dBm}] = 10 \cdot \log \frac{P_2 [\text{W}]}{1 \text{mW}} = 10 \cdot \log 0.871 \text{dBm} = -0.06 \text{dBm}$$

# Cuploul în inel



$$C \text{ [dB]} = -20 \cdot \log(y_1)$$

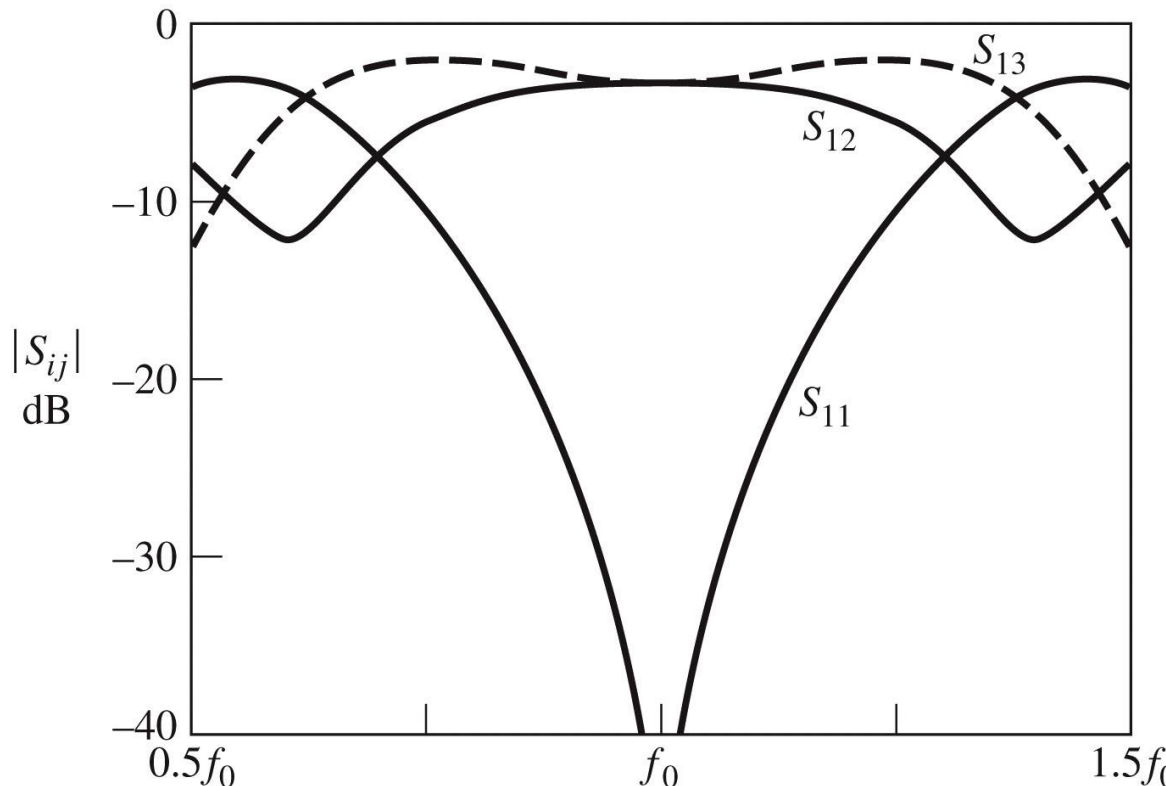
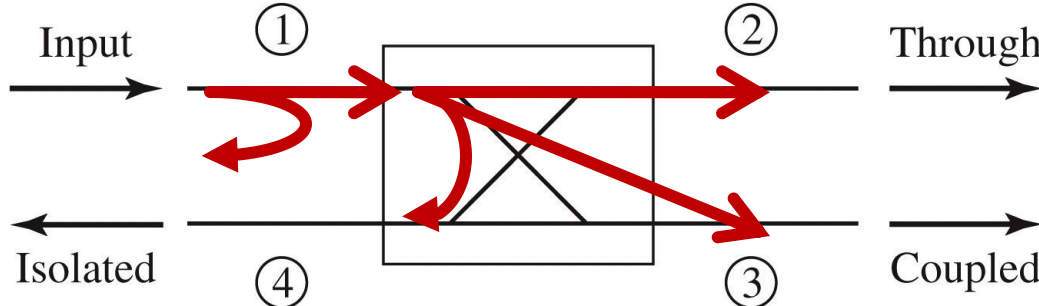


Figure 7.46  
© John Wiley & Sons, Inc. All rights reserved.

# Problema 3



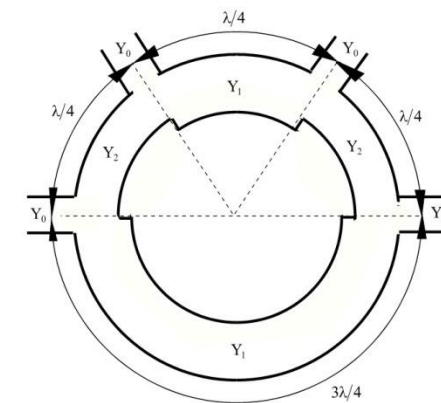
## ■ Proiectarea cuplorului

$$y_1 = 10^{\frac{-C[\text{dB}]}{20}} = 0.624$$

$$y_2 = \sqrt{1 - y_1^2} = 0.781$$

$$Z_1 = \frac{Z_0}{y_1} = 80.128\Omega$$

$$Z_2 = \frac{Z_0}{y_2} = 63.986\Omega$$



$$y_1^2 + y_2^2 = 1$$

$$C [\text{dB}] = -20 \cdot \log(y_1)$$

# Problema 3 (seminar)

- Se aplică un semnal cu puterea de 3.00mW la intrarea unui cuplaj fără pierderi caracterizat de un coeficient de cuplaj de 5.2dB și o izolare de 18.5dB, care are la intrare VSWR = 2.380.
  - Calculați puterea de ieșire (în dBm) la portul de ieșire. (1p)
  - Proiectați un cuplaj în inel ideal care să ofere același coeficient de cuplaj. (1p)

# Problema 4

- Calculați factorul de zgomot al circuitului care conține inseriate, în ordinea indicată, următoarele amplificatoare: (2p)
  - Amplificator 1: Factor de zgomot 2.1dB, Câștig 8.0dB ,
  - Amplificator 2: Factor de zgomot 2.1dB, Câștig 11.1dB ,
  - Amplificator 3: Factor de zgomot 3.7dB, Câștig 13.8dB .
- Formula lui Friis (**in coordonate liniare!**)

$$F_{cas} = F_1 + \frac{F_2 - 1}{G_1} + \frac{F_3 - 1}{G_1 \cdot G_2} + \frac{F_4 - 1}{G_1 \cdot G_2 \cdot G_3} + \dots$$

# Problema 4

- Formula lui Friis (**in coordonate liniare!**)

$$F_{cas} = F_1 + \frac{F_2 - 1}{G_1} + \frac{F_3 - 1}{G_1 \cdot G_2}$$

$$F_1 = 10^{\frac{F_1 [dB]}{10}} = 10^{0.21} = 1.622 \quad G_1 = 10^{\frac{G_1 [dB]}{10}} = 10^{0.8} = 6.310$$

$$F_2 = 10^{\frac{F_2 [dB]}{10}} = 10^{0.21} = 1.622 \quad G_2 = 10^{\frac{G_2 [dB]}{10}} = 10^{1.11} = 12.882$$

$$F_3 = 10^{\frac{F_3 [dB]}{10}} = 10^{0.37} = 2.344$$

- Atentie la unitati de masura  
**(toate sunt adimensionale!)**

$$F_{cas} = F_1 + \frac{F_2 - 1}{G_1} + \frac{F_3 - 1}{G_1 \cdot G_2} = 1.737$$

$$F_{cas} [dB] = 10 \cdot \log F_{cas} = 10 \cdot \log(1.737) = 2.398 dB$$

# Problema 4 (seminar)

- Calculați factorul de zgomot al circuitului care conține inseriate, în ordinea indicată, următoarele amplificatoare: **(2p)**
  - Amplificator 1: Factor de zgomot 2.7dB, Câștig 7.3dB ,
  - Amplificator 2: Factor de zgomot 3.1dB, Câștig 11.7dB,
  - Amplificator 3: Factor de zgomot 4.5dB, Câștig 12.1dB.

# Problema 5a

- 5a. Parametrii S ai unui tranzistor la frecvența de 0.9 GHz sunt dați în tabelul următor:

S <sub>11</sub>		S <sub>12</sub>		S <sub>21</sub>		S <sub>22</sub>	
Mag.	Ang.	Mag.	Ang.	Mag.	Ang.	Mag.	Ang.
0.717	-123.4°	0.049	43.9°	12.733	105.2°	0.303	-138.8°

- Determinați cercurile de stabilitate la intrare și ieșire. **(1.5p)**
- Tranzistorul este necondiționat stabil la frecvența de 0.9 GHz? **(0.5p)**
- Se obține un sistem stabil dacă la ieșire se conectează tranzistorul la  $50\Omega$ , iar la intrare sursa cu impedanță de  $55\Omega$  este conectată printr-o linie de  $50\Omega$  de lungime  $0.20\lambda$ ? **(1p)**
- Cum se modifică stabilitatea sistemului dacă în urma unei defectiuni sursa devine:
  - gol? **(0.5p)**
  - scurtcircuit? **(0.5p)**

# Problema 5a

- 5a. Parametrii S ai unui tranzistor la frecvența de 0.9 GHz sunt dați în tabelul următor:

S <sub>11</sub>		S <sub>12</sub>		S <sub>21</sub>		S <sub>22</sub>	
Mag.	Ang.	Mag.	Ang.	Mag.	Ang.	Mag.	Ang.
0.717	-123.4°	0.049	43.9°	12.733	105.2°	0.303	-138.8°

- Determinați cercurile de stabilitate la intrare și ieșire. (1.5p)

$$C_s = \frac{(S_{11} - \Delta \cdot S_{22}^*)^*}{|S_{11}|^2 - |\Delta|^2} = -1.215 + 2.928 \cdot j$$

$$|C_s| = 3.170$$

$$R_s = \frac{|S_{12} \cdot S_{21}|}{||S_{11}|^2 - |\Delta|^2} = 2.525$$

# Problema 5a

- 5a. Parametrii S ai unui tranzistor la frecvență de 0.9 GHz sunt dați în tabelul următor:

S <sub>11</sub>		S <sub>12</sub>		S <sub>21</sub>		S <sub>22</sub>	
Mag.	Ang.	Mag.	Ang.	Mag.	Ang.	Mag.	Ang.
0.717	-123.4°	0.049	43.9°	12.733	105.2°	0.303	-138.8°

- Determinați cercurile de stabilitate la intrare și ieșire. (1.5p)

$$C_L = \frac{(S_{22} - \Delta \cdot S_{11}^*)^*}{|S_{22}|^2 - |\Delta|^2} = 0.521 - 3.105 \cdot j$$

$$|C_L| = 3.149$$

$$R_L = \frac{|S_{12} \cdot S_{21}|}{|S_{22}|^2 - |\Delta|^2} = 3.562$$

# Problema 5a

- 5a. Parametrii S ai unui tranzistor la frecvența de 0.9 GHz sunt dați în tabelul următor:

S <sub>11</sub>		S <sub>12</sub>		S <sub>21</sub>		S <sub>22</sub>	
Mag.	Ang.	Mag.	Ang.	Mag.	Ang.	Mag.	Ang.
0.717	-123.4°	0.049	43.9°	12.733	105.2°	0.303	-138.8°

- Tranzistorul este necondiționat stabil la frecvența de 0.9 GHz? (0.5p)
- Doua metode
  - utilizare cercuri de stabilitate
  - utilizarea condițiilor analitice de stabilitate

# Problema 5a

- 5a. Parametrii S ai unui tranzistor la frecvență de 0.9 GHz sunt dați în tabelul următor:

S <sub>11</sub>		S <sub>12</sub>		S <sub>21</sub>		S <sub>22</sub>	
Mag.	Ang.	Mag.	Ang.	Mag.	Ang.	Mag.	Ang.
0.717	-123.4°	0.049	43.9°	12.733	105.2°	0.303	-138.8°

- Tranzistorul este necondiționat stabil la frecvența de 0.9 GHz? (0.5p)
- Doua metode
  - **utilizare cercuri de stabilitate**
  - utilizarea condițiilor analitice de stabilitate

$$\begin{cases} |C_S - R_S| = 0.645 > 1 \quad FALS \\ |S_{22}| = 0.303 < 1 \end{cases}$$

$$\begin{cases} |C_L - R_L| = 0.413 > 1 \quad FALS \\ |S_{11}| = 0.717 < 1 \end{cases}$$

# Problema 5a

- 5a. Parametrii S ai unui tranzistor la frecvență de 0.9 GHz sunt dați în tabelul următor:

S <sub>11</sub>		S <sub>12</sub>		S <sub>21</sub>		S <sub>22</sub>	
Mag.	Ang.	Mag.	Ang.	Mag.	Ang.	Mag.	Ang.
0.717	-123.4°	0.049	43.9°	12.733	105.2°	0.303	-138.8°

- Tranzistorul este necondiționat stabil la frecvența de 0.9 GHz? (0.5p)
- Doua metode
  - utilizare cercuri de stabilitate
  - **utilizarea condițiilor analitice de stabilitate**

$$|S_{11}| = 0.717 < 1$$

$$|S_{22}| = 0.303 < 1$$

$$\Delta = S_{11} \cdot S_{22} - S_{12} \cdot S_{21}$$

$$|\Delta| = 0.517 < 1$$

$$K = \frac{1 - |S_{11}|^2 - |S_{22}|^2 + |\Delta|^2}{2 \cdot |S_{12} \cdot S_{21}|} = 0.530 > 1 \quad FALS$$

# Problema 5a

- 5a. Parametrii S ai unui tranzistor la frecvență de 0.9 GHz sunt dați în tabelul următor:

S <sub>11</sub>		S <sub>12</sub>		S <sub>21</sub>		S <sub>22</sub>	
Mag.	Ang.	Mag.	Ang.	Mag.	Ang.	Mag.	Ang.
0.717	-123.4°	0.049	43.9°	12.733	105.2°	0.303	-138.8°

- Se obține un sistem stabil dacă la ieșire se conectează tranzistorul la  $50\Omega$ , iar la intrare sursa cu impedanță de  $55\Omega$  este conectată printr-o linie de  $50\Omega$  de lungime  $0.20\lambda$ ? (1p)
- Conectare la ieșire la  $50\Omega$ , coeficient de reflexie la ieșire egal cu  $S_{22}$ ,

$$|S_{22}| = 0.303 < 1$$

- La ieșire avem indeplinita relata de stabilitate

# Problema 5a

- 5a. Parametrii S ai unui tranzistor la frecvență de 0.9 GHz sunt dați în tabelul următor:

S <sub>11</sub>		S <sub>12</sub>		S <sub>21</sub>		S <sub>22</sub>	
Mag.	Ang.	Mag.	Ang.	Mag.	Ang.	Mag.	Ang.
0.717	-123.4°	0.049	43.9°	12.733	105.2°	0.303	-138.8°

- Se obține un sistem stabil dacă la ieșire se conectează tranzistorul la  $50\Omega$ , iar la intrare sursa cu impedanță de  $55\Omega$  este conectată printr-o linie de  $50\Omega$  de lungime  $0.20\lambda$ ? (1p)
- Conectare la intrare, la nivelul tranzitiei sursa/linie apare dezadaptare, apare un coeficient de reflexie,

$$\Gamma_0 = \frac{Z - Z_0}{Z + Z_0} = \frac{55\Omega - 50\Omega}{55\Omega + 50\Omega} = 0.048$$

- Prin linia de lungime  $0.20\lambda$ , la nivelul intrării în tranzistor acest coeficient de reflexie devine:

$$\Gamma_s = \Gamma_0 \cdot e^{-2j\beta l} = \Gamma_0 \cdot e^{-2j \frac{2\pi}{\lambda} \cdot l}$$

# Problema 5a

- 5a. Parametrii S ai unui tranzistor la frecvență de 0.9 GHz sunt dați în tabelul următor:

S <sub>11</sub>		S <sub>12</sub>		S <sub>21</sub>		S <sub>22</sub>	
Mag.	Ang.	Mag.	Ang.	Mag.	Ang.	Mag.	Ang.
0.717	-123.4°	0.049	43.9°	12.733	105.2°	0.303	-138.8°

- Se obține un sistem stabil dacă la ieșire se conectează tranzistorul la  $50\Omega$ , iar la intrare sursa cu impedanță de  $55\Omega$  este conectată printr-o linie de  $50\Omega$  de lungime  $0.20\lambda$ ? (1p)
- Prin linia de lungime  $0.20\lambda$ , la nivelul intrării în tranzistor acest coeficient de reflexie devine:

$$\Gamma_s = \Gamma_0 \cdot e^{-2j\beta l} = \Gamma_0 \cdot e^{-2j\frac{2\pi}{\lambda}l}$$

$$\Gamma_s = \Gamma_0 \cdot e^{-2j\frac{2\pi}{\lambda}l} = 0.048 \cdot [\cos(-4\pi \cdot 0.20) + j \cdot \sin(-4\pi \cdot 0.20)]$$

$$\Gamma_s = -0.039 - j \cdot 0.028$$

# Problema 5a

- 5a. Parametrii S ai unui tranzistor la frecvență de 0.9 GHz sunt dați în tabelul următor:

S <sub>11</sub>		S <sub>12</sub>		S <sub>21</sub>		S <sub>22</sub>	
Mag.	Ang.	Mag.	Ang.	Mag.	Ang.	Mag.	Ang.
0.717	-123.4°	0.049	43.9°	12.733	105.2°	0.303	-138.8°

- Se obține un sistem stabil dacă la ieșire se conectează tranzistorul la  $50\Omega$ , iar la intrare sursa cu impedanță de  $55\Omega$  este conectată printr-o linie de  $50\Omega$  de lungime  $0.20\lambda$ ? (1p)
- Distanța dintre acest punct ( $\Gamma_s$ ) și centrul cercului de stabilitate

$$|\Gamma_s - C_s| = 3.182 > R_s = 2.525$$

- deci punctul  $\Gamma_s$  este în **exteriorul** cercului de stabilitate
- Centrul diagramei Smith este un punct de stabilitate și se gaseste în **exteriorul** cercului de stabilitate

$$|C_s| = 3.170 > R_s = 2.525$$

- Rezulta că punctul  $\Gamma_s$  este **punct de stabilitate**

# Problema 5a

- 5a. Parametrii S ai unui tranzistor la frecvență de 0.9 GHz sunt dați în tabelul următor:

S <sub>11</sub>		S <sub>12</sub>		S <sub>21</sub>		S <sub>22</sub>	
Mag.	Ang.	Mag.	Ang.	Mag.	Ang.	Mag.	Ang.
0.717	-123.4°	0.049	43.9°	12.733	105.2°	0.303	-138.8°

- Cum se modifică stabilitatea sistemului dacă în urma unei defecțiuni sursa devine:
  - gol? (0.5p)
  - scurtcircuit? (0.5p)
- Cu sursa în gol sau scurtcircuit, tranzistorul este conectat cu o secțiune de linie de  $50\Omega$  la gol sau scurtcircuit, ca urmare impedanța vazută de tranzistor la intrare este
  - gol  $Z_s = -j \cdot Z_0 \cdot \cot \beta \cdot l = -j \cdot 50\Omega \cdot \cot(2\pi \cdot 0.20)$
  - scurtcircuit  $Z_s = j \cdot Z_0 \cdot \tan \beta \cdot l = j \cdot 50\Omega \cdot \tan(2\pi \cdot 0.20)$

# Problema 5a

- 5a. Parametrii S ai unui tranzistor la frecvență de 0.9 GHz sunt dați în tabelul următor:

S <sub>11</sub>		S <sub>12</sub>		S <sub>21</sub>		S <sub>22</sub>	
Mag.	Ang.	Mag.	Ang.	Mag.	Ang.	Mag.	Ang.
0.717	-123.4°	0.049	43.9°	12.733	105.2°	0.303	-138.8°

- Cum se modifică stabilitatea sistemului dacă în urma unei defecțiuni sursa devine:
  - gol? (0.5p)
  - scurtcircuit? (0.5p)
- Similar cu situația anterioară calculam coeficientul de reflexie și poziționarea acestuia față de cercul de stabilitate

$$\Gamma_s = \frac{Z_s - Z_0}{Z_s + Z_0}$$

- gol  $\Gamma_s = 0.809 + j \cdot 0.588$   $|\Gamma_s - C_s| = 3.094 > R_s = 2.525$
- scurtcircuit  $\Gamma_s = -0.809 - j \cdot 0.588$   $|\Gamma_s - C_s| = 3.539 > R_s = 2.525$

# Problema 5a (seminar)

- Parametrii S ai unui tranzistor la frecvență de 0.8 GHz sunt date în tabelul următor:

S <sub>11</sub>		S <sub>12</sub>		S <sub>21</sub>		S <sub>22</sub>	
Mag.	Ang.	Mag.	Ang.	Mag.	Ang.	Mag.	Ang.
0.732	-115.8°	0.046	45.4°	13.834	109.6°	0.302	-132.4°

- Determinați cercurile de stabilitate la intrare și ieșire. (1.5p)
- Tranzistorul este necondiționat stabil la frecvență de 0.8 GHz? (0.5p)
- Se obține un sistem stabil dacă la ieșire se conectează tranzistorul la  $50\Omega$ , iar la intrare sursa cu impedanță de  $64\Omega$  este conectată printr-o linie de  $50\Omega$  de lungime  $0.10\lambda$ ? (1p)
- Cum se modifică stabilitatea sistemului dacă în urma unei defecțiuni sursa devine:
  - gol? (0.5p)
  - scurtcircuit? (0.5p)

# Contact

- Laboratorul de microunde si optoelectronica
- <http://rf-opto.etti.tuiasi.ro>
- [rdamian@etti.tuiasi.ro](mailto:rdamian@etti.tuiasi.ro)